

การออกแบบและสร้างต้นแบบด้วยกลไก Canfield  
เพื่อประยุกต์ใช้กับแสงอาทิตย์



นางสาวมุกกรวิวัฒน์ ชัยสิทธิ์ปัฐ

วิทยานิพนธ์นี้เป็นส่วนหนึ่งของการศึกษาตามหลักสูตรปริญญาวิศวกรรมศาสตรมหาบัณฑิต

สาขาวิชาวิศวกรรมเมคคาทรอนิกส์

มหาวิทยาลัยเทคโนโลยีสุรนารี

ปีการศึกษา 2560

**DESIGN AND PROTOTYPING OF CANFIELD  
MECHANISM FOR SOLAR**

**Mookrawinan Chaiyasitpru**



**A Thesis Submitted in Partial Fulfillment of the Requirements for the  
Degree of Master of Engineering in Mechatronics Engineering  
Suranaree University of Technology**

**Academic Year 2017**

การออกแบบและสร้างต้นแบบด้วยกลไก Canfield

เพื่อประยุกต์ใช้กับแสงอาทิตย์

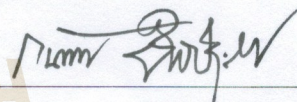
มหาวิทยาลัยเทคโนโลยีสุรนารี อนุมัติให้นักศึกษานิพนธ์ฉบับนี้เป็นส่วนหนึ่งของการศึกษา  
ตามหลักสูตรปริญญาวิทยาศาสตรบัณฑิต

คณะกรรมการสอบวิทยานิพนธ์



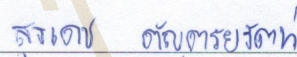
(อ. ดร. โสรฐา แจ็งการ)

ประธานกรรมการ



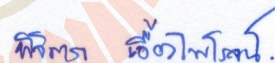
(รศ. ร.อ. ดร. กนต์ธร ชำนิประศาสน์)

กรรมการ (อาจารย์ที่ปรึกษาวิทยานิพนธ์)



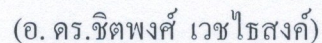
(อ. ดร. สุรเดช ตัญตรีรัตน์)

กรรมการ

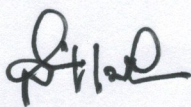


(อ. ดร. พิจิตรา เอื่องไพโรจน์)

กรรมการ

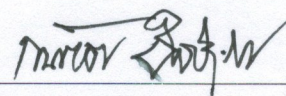


กรรมการ



(ศ. ดร. สันติ แม้นศิริ)

รองอธิการบดีฝ่ายวิชาการและพัฒนาความเป็นสากล



(รศ. ร.อ. ดร. กนต์ธร ชำนิประศาสน์)

คณบดีสำนักวิชาวิศวกรรมศาสตร์

มุกกรวิวัฒน์ ชัยสิทธิ์ปัฐ : การออกแบบและสร้างต้นแบบด้วยกลไก Canfield เพื่อ  
ประยุกต์ใช้กับแสงอาทิตย์ (DESIGN AND PROTOTYPING OF CANFIELD  
MECHANISM FOR SOLAR) อาจารย์ที่ปรึกษา : รองศาสตราจารย์ เรืออากาศเอก  
ดร.กนต์ธร ชำนิประศาสน์ 142 หน้า.

งานวิจัยนี้นำเสนอเกี่ยวกับการออกแบบและสร้างต้นแบบด้วยกลไก Canfield ที่มี  
โครงสร้างเป็นหุ่นยนต์แบบขนาน เพื่อให้หุ่นยนต์สามารถเคลื่อนที่ไปปฏิบัติงานยังตำแหน่ง  
เป้าหมายที่ต้องการได้ สามารถนำไปประยุกต์ใช้งานได้หลากหลาย เช่น ใช้เป็นตัวควบคุมแผงโซลาร์  
เซลล์ เพื่อให้แผงโซลาร์เซลล์หันรับแสงอาทิตย์ได้มากที่สุดตลอดทั้งวัน หรือสามารถใช้เป็นอุปกรณ์  
ที่ติดอยู่ตรงปลายแขนของหุ่นยนต์ (End Effector) เพื่อใช้ให้เกิดประโยชน์หลากหลายมากยิ่งขึ้นใน  
งานด้านอุตสาหกรรมต่างๆ ซึ่งกลไกนี้มี 6 องศาอิสระ กลไกนี้จะถูกออกแบบและสร้างโดยมี  
ลักษณะเป็นแขนหุ่นยนต์แบบสามก้าน มีโครงสร้างเป็นหุ่นยนต์แบบขนาน โดยแต่ละแขนจะ  
ประกอบไปด้วยสามข้อต่อแบบหมุน ขับเคลื่อนด้วยเซอร์โวมอเตอร์สามตัว โดยจะใช้หลักการทาง  
จลนศาสตร์แบบไปข้างหน้า (Forward Kinematic) ในการหาพื้นที่การทำงานของหุ่นยนต์ หา  
ตำแหน่งพิกัดที่หุ่นยนต์จะเคลื่อนที่ไปถึง และมุม Orientation บนระนาบของแผ่นปลาย พบว่าพื้นที่  
การทำงานของกลไก Canfield นี้ มีลักษณะเป็นครึ่งทรงกลม และค่าของพิกัด X,Y,Z และมุม  
Orientation ( $\theta_x, \theta_y, \theta_z$ ) ที่ได้จากการคำนวณจะถูกเก็บไว้ในรูปแบบของตาราง เพื่อป้อนค่ากลับไป  
หามุมที่จุดหมุนบนแผ่นฐานของทั้งสามแขนหุ่นยนต์ ( $\theta_1, \theta_2, \theta_3$ ) ได้ตามความต้องการ แทนการใช้  
สมการจลนศาสตร์แบบผกผัน (Inverse Kinematic) เมื่อทดสอบความแม่นยำของหุ่นยนต์ โดยการ  
วัดค่าพิกัดที่เกิดขึ้นจริงเทียบกับค่าที่ได้จากการคำนวณ พบว่า พิกัดในแกน X มีความคลาดเคลื่อน  
10% พิกัดในแกน Y มีความคลาดเคลื่อน 10% พิกัดในแกน Z มีความคลาดเคลื่อน 11% เนื่องจาก  
กลไก Canfield นี้ ถูกสร้างขึ้นด้วยความละเอียดที่ไม่สูงนัก จึงเกิดค่าความคลาดเคลื่อนค่อนข้างมาก

สาขาวิชา วิศวกรรมเครื่องกล  
ปีการศึกษา 2560

ลายมือชื่อนักศึกษา มุกกรวิวัฒน์  
ลายมือชื่ออาจารย์ที่ปรึกษา กนต์ธร ชำนิประศาสน์

MOOKRAWINAN CHAIYASITPRU : DESIGN AND PROTOTYPING OF  
CANFIELD MECHANISM FOR SOLAR. THESIS ADVISOR : ASSOC.

PROF. FLT. LT. KONTORN CHAMNIPRASART, Ph.D., 142 PP.

### CANFIELD MECHANISM/KINEMATIC ANALYZES/PARALLEL ROBOT

This research presents the design and construction of a canfield robot. The mechanism is based on a parallel robot which is called Canfield robot. The robot can move to the target location. It can be applied to a variety of applications such as control panel solar cells to get the most sun throughout the day. It can be used as a device attached to the end effector of the articulated arm to use more diverse in various industries. This mechanism has 6 degrees of freedom, is designed and built by a three-arm robot. It is structured as a parallel robot. Each linkage has three revolute joints driven by three servo motors. The forward kinematic analyzes are used to find an optimum workspace, positions, orientation of the robot, the three angles of each arm of the robot. It found that Canfield's functional area was half spherical. You can find the coordinates  $x, y, z$  where the robot moves and can find the orientation  $(\theta_x, \theta_y, \theta_z)$ , which is stored in the form of a table. It can be return to the angle of the three arms  $(\theta_1, \theta_2, \theta_3)$  as needed. It is used instead of inverse kinematic equations when testing the accuracy of a robot by measuring the actual coordinates relative to the calculated values, the coordinates in the X axis are 10%. The coordinates in the Y axis are 10%. The coordinates in the Z axis are 11%. Canfield was created with a low resolution. The result is quite high.

School of Mechanical Engineering

Academic Year 2017

Student's Signature Mookrawinan

Advisor's Signature Kont Chrt

## กิตติกรรมประกาศ

วิทยานิพนธ์ฉบับนี้เป็นส่วนหนึ่งของการศึกษาในหลักสูตรวิศวกรรมศาสตรมหาบัณฑิต สาขาวิชาวิศวกรรมเมคคาทรอนิกส์ ผู้จัดทำวิทยานิพนธ์ได้รับการอนุเคราะห์จากบุคคลหลายฝ่าย ที่ให้คำปรึกษา แนะนำ รวมทั้งเอกสารประกอบการศึกษาค้นคว้า และอ้างอิง จนทำให้เกิดแนวคิด และขอบเขตในการทำวิทยานิพนธ์ ดังนี้

รองศาสตราจารย์ เรืออากาศเอก ดร.กนต์ธร ชำนิประศาสน์ ท่านได้ให้โอกาสและ ประสิทธิ์ประสาทความรู้ในการทำวิทยานิพนธ์นี้ขึ้นมา อีกทั้งท่านยังเป็นที่ปรึกษา ทำให้ได้รับความรู้และประสบการณ์ในการทำงานหลาย ๆ อย่าง ในการทำวิทยานิพนธ์ครั้งนี้ให้สำเร็จลุล่วงไป ได้ด้วยดี เป็นเพราะความกรุณา ที่ได้รับการให้คำปรึกษา ให้คำแนะนำในการปฏิบัติงาน และ การ แก้ไขปัญหาต่าง ๆ ที่เกิดขึ้นในระหว่างการทำงานอย่างสม่ำเสมอ

อาจารย์อภิสิทธิ์ หล่อกลาง ที่คอยให้ความช่วยเหลือตลอดเวลา แนะนำแนวทาง แก้ปัญหา ให้ความรู้และคำปรึกษาต่างๆ อันเป็นประโยชน์อย่างยิ่งในการทำวิทยานิพนธ์ จนทำให้ วิทยานิพนธ์นี้สำเร็จไปได้ด้วยดี

นายศิวศิลป์ พรจำศิลป์ ที่คอยให้คำปรึกษาทางด้าน โปรแกรม ช่วยให้ต้นแบบสามารถ ทำงานได้อย่างมีประสิทธิภาพมากยิ่งขึ้น

ขอขอบพระคุณบุคคลอื่น ๆ ที่ไม่ได้กล่าวนามทุกท่านที่ได้ให้ความร่วมมือ ให้คำแนะนำ และช่วยเหลือในเรื่องต่างๆ ที่เป็นประโยชน์ และสามารถทำให้การปฏิบัติงานในครั้งนี้สำเร็จลุล่วง ไปด้วยดี ทำให้ได้รับความรู้ ประสบการณ์ และทักษะต่างๆเพื่อประโยชน์ในการทำงานต่อไป

ขอกราบขอบพระคุณบิดา นายปร โขต และมารดา นางบุลากร ชัยสิทธิ์ปัฐ ที่ให้การเลี้ยงดู อบรม สนับสนุนทางการศึกษาเป็นอย่างดี จนทำให้ผู้ทำวิทยานิพนธ์ประสบความสำเร็จในชีวิต ตลอดมา

ขออาราธนา สิ่งศักดิ์สิทธิ์ ทั้งหลายจงช่วยคลบ้นดาล ให้บุคคลทั้งหลายที่ได้กล่าวถึง จงมี แต่ความสุข และความเจริญตลอดไป

มุกรวิวัฒน์ ชัยสิทธิ์ปัฐ

# สารบัญ

	หน้า
บทคัดย่อ (ภาษาไทย).....	ก
บทคัดย่อ (ภาษาอังกฤษ).....	ข
กิตติกรรมประกาศ .....	ค
สารบัญ .....	ง
สารบัญตาราง .....	ฉ
สารบัญรูป .....	ช
<b>บทที่</b>	
<b>1 บทนำ</b> .....	<b>1</b>
1.1 ความเป็นมาและความสำคัญของปัญหา .....	1
1.2 วัตถุประสงค์ของงานวิจัย .....	2
1.3 ขอบเขตของงานวิจัย .....	2
1.4 วิธีดำเนินงานวิจัย .....	3
1.5 สถานที่ทำงานวิจัย .....	3
1.6 ประโยชน์ที่คาดว่าจะได้รับ .....	3
<b>2 ปรัชศน์วรรณกรรมและทฤษฎีที่เกี่ยวข้อง</b> .....	<b>4</b>
2.1 ปรัชศน์วรรณกรรม .....	4
2.2 ไมโครคอนโทรลเลอร์ (Microcontroller) .....	12
2.3 เซอร์โวมอเตอร์ (Servo Motor) .....	15
2.4 ทฤษฎีที่เกี่ยวข้องกับหุ่นยนต์ .....	18
2.5 โครงสร้างของหุ่นยนต์แบบ Canfield .....	31
<b>3 วิธีดำเนินงานวิจัย</b> .....	<b>38</b>
3.1 แผนการดำเนินงานวิจัย .....	38
3.2 เครื่องมือและอุปกรณ์ที่ใช้ในการทำงานวิจัย .....	40
3.3 การวิเคราะห์ข้อมูลที่ได้จากทางทฤษฎี .....	42
3.4 การออกแบบและสร้างกลไกแบบ Canfield .....	46
3.5 การออกแบบโปรแกรมเพื่อใช้ควบคุมหุ่นยนต์ Canfield .....	50

## สารบัญ (ต่อ)

หน้า

3.6	อัลกอริทึมสำหรับประมวลผลเพื่อเชื่อมต่อข้อมูลระหว่างโปรแกรมกับหุ่นยนต์.....	51
<b>4</b>	<b>ผลการทดลอง .....</b>	<b>56</b>
4.1	การออกแบบขนาดของหุ่นยนต์กลไกแบบ Canfield.....	56
4.2	การวิเคราะห์แบบจำลองทางคณิตศาสตร์.....	58
4.3	การทดลองการเคลื่อนที่ของเซอร์โวมอเตอร์ทั้งสามชุด.....	62
4.4	การทดสอบหาพิกัด X,Y,Z บนแผ่นปลายของหุ่นยนต์.....	71
4.5	การทดลองค้นหาค่าจากตารางเพื่อควบคุมหุ่นยนต์.....	78
<b>5</b>	<b>สรุปผลและข้อเสนอแนะ .....</b>	<b>79</b>
5.1	สรุปงานวิจัย .....	79
5.2	ข้อเสนอแนะ .....	79
	รายการอ้างอิง .....	81
	ภาคผนวก	
	ภาคผนวก ก ตัวอย่างตารางบันทึกผลการทดลองที่ 4.5.....	84
	ภาคผนวก ข รายละเอียดโปรแกรม.....	124
	ภาคผนวก ค ภาพชิ้นงานในอดีตถึงปัจจุบัน.....	128
	ภาคผนวก ง บทความทางด้านวิชาการที่ได้รับการตีพิมพ์เผยแพร่.....	135
	ประวัติผู้เขียน .....	142



## สารบัญตาราง

ตารางที่		หน้า
4.1	ค่าพารามิเตอร์ที่ใช้ในการออกแบบ .....	57
4.2	ผลการทดลองของเซอร์โวมอเตอร์ตัวที่ 1 .....	62
4.3	ผลการทดลองของเซอร์โวมอเตอร์ตัวที่ 2 .....	65
4.4	ผลการทดลองของเซอร์โวมอเตอร์ตัวที่ 3 .....	68
4.5	ผลการเปรียบเทียบค่าความคลาดเคลื่อนในพิกัด X .....	71
4.6	ผลการเปรียบเทียบค่าความคลาดเคลื่อนในพิกัด Y .....	73
4.7	ผลการเปรียบเทียบค่าความคลาดเคลื่อนในพิกัด Z .....	76

## สารบัญรูป

รูปที่		หน้า
2.1	ลักษณะโครงสร้างของ Canfield Joint[1] .....	4
2.2	ภาพหุ่นยนต์ต้นแบบ Canfield joint ที่สร้างขึ้น โดยองค์การนาซ่า[1].....	5
2.3	ลักษณะของ Steward Platform[4].....	6
2.4	หุ่นยนต์เคลื่อนที่ที่สร้างขึ้น โดย Mauro Maya และคณะ[10] .....	8
2.5	ลักษณะของหุ่นยนต์เคลื่อนที่[21].....	11
2.6	ชนิดของเซอร์โวมอเตอร์[18] .....	17
2.7	แสดงลักษณะแขนกลแบบต่างๆ [11].....	20
2.8	แสดงข้อต่อพื้นฐานทางจลนศาสตร์[11] .....	21
2.9	โครงสร้างหลักของแขนกลที่ประกอบด้วยตัวแปรต่างๆ[11] .....	22
2.10	แสดงตำแหน่งของจุด p ในรูปของเวกเตอร์[23] .....	23
2.11	ตำแหน่งและทิศทางของปลายแขนกล[23] .....	24
2.12	แสดงพารามิเตอร์ของ Denavit-Hartenberg กรณีข้อต่อแบบหมุน .....	27
2.13	แสดงพารามิเตอร์ของ Denavit-Hartenberg กรณีข้อต่อแบบเลื่อน[11] .....	28
2.14	แบบจำลองหุ่นยนต์แบบ Canfield [7].....	32
2.15	แผนภาพจลศาสตร์ของหุ่นยนต์ Canfield.....	32
2.16	ภาพของเฟรมอ้างอิงแบบข้อมือ (Canfield).....	33
2.17	แบบจำลองของข้อต่อแบบ Spherical.....	36
3.1	แผนผังขั้นตอนการดำเนินงานวิจัย .....	39
3.2	Servo motor เฟืองเหล็กแรงบิดสูง 12 Kg MG995 Tower Pro Hi-Speed Servo .....	40
3.3	Arduino Uno R3 .....	42
3.4	แบบจำลองทางคณิตศาสตร์ของผ่านปลาย .....	42
3.5	พิกัด X,Y,Z บนระนาบของแผ่นปลาย .....	44
3.6	แผนผังแนวคิดในการสร้างกลไกแบบ Canfield.....	46
3.7	การออกแบบแผ่นฐาน โดยใช้โปรแกรมในการออกแบบ .....	47
3.8	การออกแบบแขนล่าง โดยใช้โปรแกรมช่วยในการออกแบบ .....	48

## สารบัญรูป (ต่อ)

รูปที่	หน้า
3.9 การออกแบบแขนบน โดยโปรแกรมช่วยในการออกแบบ .....	48
3.10 การออกแบบแผ่นฐาน โดยใช้โปรแกรมในการออกแบบ .....	49
3.11 การสร้างต้นแบบหุ่นยนต์กลไกแบบ Canfield ด้วยวัสดุอะคริลิก .....	49
3.12 ภาพรวมการทำงานของระบบ . .....	50
3.13 หน้าต่างสำหรับผู้ใช้งานสำหรับป้อนค่าจุดหมุนบนแผ่นฐาน $(\theta_1, \theta_2, \theta_3)$ .....	52
3.14 โปรแกรมที่ใช้เชื่อมระหว่างโปรแกรม MATLAB กับบอร์ด Controller .....	53
3.15 ตารางแสดงค่าพารามิเตอร์ต่าง .....	54
3.16 หน้าต่างสำหรับผู้ใช้งานสำหรับป้อนค่ามุม Orientation $(\theta_x, \theta_y, \theta_z)$ เพื่อหาค่ามุมที่จุด หมุนบนแผ่นฐาน $\theta_1, \theta_2, \theta_3$ ย้อนกลับ .....	55
4.1 พื้นที่การทำงานของหุ่นยนต์กลไกแบบ Canfield ในรูปทรง 3 มิติ .....	59
4.2 มุมมองพื้นที่การทำงานของหุ่นยนต์กลไกแบบ Canfield ในระนาบ xy .....	60
4.3 มุมมองพื้นที่การทำงานของหุ่นยนต์กลไกแบบ Canfield ในระนาบ zx .....	61
4.4 มุมมองพื้นที่การทำงานของหุ่นยนต์กลไกแบบ Canfield ในระนาบ zy .....	61
4.5 กราฟแสดงความสัมพันธ์ระหว่างมุมที่กวาดไปกับมุมจากแกนหุ่นยนต์แกนที่ 1 .....	64
4.6 กราฟแสดงความสัมพันธ์ระหว่างมุมที่กวาดไปกับมุมจากแกนหุ่นยนต์แกนที่ 2 .....	67
4.7 กราฟแสดงความสัมพันธ์ระหว่างมุมที่กวาดไปกับมุมจากแกนหุ่นยนต์แกนที่ 3 .....	70
4.8 กราฟแสดงค่าความคลาดเคลื่อนในพิกัด X .....	72
4.9 กราฟแสดงค่าความคลาดเคลื่อนในพิกัด Y .....	74
4.10 กราฟแสดงค่าความคลาดเคลื่อนในพิกัด Z .....	77

# บทที่ 1

## บทนำ

### 1.1 ความเป็นมาและความสำคัญของปัญหา

ในปัจจุบันหุ่นยนต์ได้เข้ามามีบทบาทและมีความสำคัญต่อชีวิตประจำวันของมนุษย์เป็นอย่างมาก อีกทั้งยังได้มีการนำหุ่นยนต์ดังกล่าวมาประยุกต์ใช้งานกันอย่างแพร่หลาย ทั้งในด้านอุตสาหกรรม การสำรวจ หรือด้านการแพทย์ และอื่นๆอีกมากมาย ไม่ว่าจะเป็นการนำไปใช้งานเพื่ออำนวยความสะดวกในการขนย้ายสิ่งของวัสดุหรือแม้กระทั่งใช้ในการปฏิบัติงานแทนมนุษย์ในพื้นที่ที่มีความเสี่ยงอันตราย ที่มนุษย์ไม่สามารถเข้าไปปฏิบัติงานได้ ซึ่งในหลายประเทศได้มีการออกแบบและพัฒนาหุ่นยนต์อย่างต่อเนื่อง โดยแบ่งออกเป็น 2 แบบ คือ หุ่นยนต์ที่สามารถเคลื่อนที่ได้โดยอิสระ โดยข้อดีของหุ่นยนต์เคลื่อนที่ที่สามารถเคลื่อนที่ไปยังที่ต่างๆด้วยการใช้ล้อหรือขาได้ด้วยตัวเองตามที่กำหนด โดยมีผู้ควบคุม และหุ่นยนต์ชนิดที่ 2 คือ หุ่นยนต์แบบติดตั้งอยู่กับที่ โดยทั่วไปจะมีลักษณะเป็นแขนกล สามารถเคลื่อนไหวในพื้นที่การทำงานที่จำกัดเท่านั้น มีข้อจำกัดในเรื่องการทำงานซ้ำๆตามที่กำหนด ซึ่งหุ่นยนต์ประเภทนี้ปัจจุบันยังคงมีการทำงานวิจัยและศึกษาอยู่เพื่อพัฒนาออกมาในรูปแบบต่างๆ โดยปัญหาที่สำคัญสำหรับหุ่นยนต์อยู่กับที่ ก็คือการเคลื่อนที่ของแขนหุ่นยนต์ไปยังตำแหน่งต่างๆ และการควบคุมให้เคลื่อนที่ไปจุดต่างๆแบบอัตโนมัติ เพื่อให้หุ่นยนต์สามารถเคลื่อนที่ไปปฏิบัติงานยังตำแหน่งเป้าหมายที่ต้องการได้

ด้วยเหตุนี้ผู้วิจัยจึงจัดทำงานวิจัยนี้ขึ้นมา โดยจะนำเสนอการออกแบบและสร้างต้นแบบด้วยกลไกหุ่นยนต์แบบ Canfield เพื่อให้กลไกนี้สามารถเคลื่อนที่ไปยังตำแหน่งเป้าหมายต่างๆได้ตามต้องการ กลไกแบบ Canfield หรือ Canfield joint เป็นกลไกที่สร้างขึ้นเพื่อช่วยในการเคลื่อนไหวได้ในรูปแบบครึ่งทรงกลม ถูกประดิษฐ์ขึ้นโดย ดร. สตีเฟน แคนฟิลด์ (Stephen Canfield) จากมหาวิทยาลัยเทคโนโลยีเทนเนสซี ในปี 1997 ซึ่งสิ่งประดิษฐ์นี้ได้ถูกนำไปพัฒนาและนำไปใช้เพื่อเป็นประโยชน์ต่อองค์การบริหารการบินและอวกาศแห่งชาติหรือนาซ่า โดยกลไกนี้จะถูกนำไปติดไว้บนยานอวกาศเพื่อใช้เป็นตัวขับเคลื่อน ให้ยานอวกาศสามารถเคลื่อนที่ได้ในทิศทาง Roll, Pitch และ Yaw อีกทั้งยังนำไปใช้ประโยชน์โดยเป็นตัวควบคุมแผงโซลาร์เซลล์ที่ติดอยู่บนยานอวกาศให้หันไปรับพลังงานแสงอาทิตย์ให้ได้มากที่สุด เพื่อนำพลังงานนั้นมาใช้ต่อยานอวกาศ ลักษณะที่สำคัญของกลไก Canfield สามารถอธิบายได้ว่าเป็นกลไกที่มีลักษณะเป็นหุ่นยนต์แบบ

ขนาน มีหกงศาอิสระ และโครงสร้างประกอบไปด้วยแผ่นฐานและแผ่นปลายเป็นรูปสามเหลี่ยม ด้านเท่าวางขนานกันอยู่เชื่อมด้วยข้อต่อแบบหมุนและก้านจากแผ่นฐานไปยังแผ่นปลาย ลักษณะพิเศษที่แตกต่างจากหุ่นยนต์แบบขนานทั่วไปคือ มีข้อต่อแบบหมุนอยู่สามจุดในแต่ละแขนของหุ่นยนต์ ส่งผลให้หุ่นยนต์ดังกล่าวสามารถเคลื่อนที่ได้ในหลายทิศทางมากยิ่งขึ้น นอกจากนี้แผ่นปลายของหุ่นสามารถยุบหรือยืดออกได้ และแนวแกนตั้งฉากกับแผ่นปลายจะเปลี่ยนทิศทางไปเรื่อยๆเมื่อมีการเคลื่อนที่ และแขนทั้งสามของหุ่นยนต์มีความแข็งแรงทนทาน หุ่นยนต์ชนิดนี้สามารถเคลื่อนที่ได้หลากหลายทิศทางมากกว่าหุ่นยนต์แบบขนานที่เคยมีมา เช่น หุ่นยนต์เดลต้า ซึ่งหุ่นยนต์แบบเดลตานั้นมีข้อดีคือ มีพื้นที่การทำงานที่กว้าง เพราะข้อต่อ จะต่อกันออกไปเรื่อยๆ แต่ข้อเสียคือความแข็งแรงต่ำเพราะมีลักษณะเป็น โครงสร้างยื่นยาวออกไปจากฐาน และในการออกแบบกลไก Canfield นี้ จะใช้หลักการทางคณิตศาสตร์ของจลนศาสตร์แบบไปข้างหน้าเพื่อหาพื้นที่การทำงานของหุ่นยนต์ หากพิคที่หุ่นยนต์จะสามารถเคลื่อนที่ไปได้ และมุม Orientation บนระนาบของแผ่นปลาย

การออกแบบและสร้างต้นแบบด้วยกลไก Canfield นี้ สามารถนำไปประยุกต์ใช้งานได้หลากหลาย อาทิเช่น ใช้เป็นตัวควบคุมแผงโซลาร์เซลล์ เพื่อให้แผงโซลาร์เซลล์หันรับแสงอาทิตย์ได้มากที่สุดตลอดทั้งวัน หรือสามารถใช้เป็นอุปกรณ์ที่ติดอยู่ตรงปลายแขนของหุ่นยนต์ (End Effector) เพื่อใช้ให้เกิดประโยชน์หลากหลายมากยิ่งขึ้นในงานด้านอุตสาหกรรมต่างๆ และสาระสำคัญของงานวิจัยนี้คือได้ศึกษาวิธีการในการออกแบบและสร้างกลไกแบบ Canfield โดยวิธีการทางคณิตศาสตร์แบบจลนศาสตร์แบบไปข้างหน้า เพื่อคำนวณหาพื้นที่การทำงานของหุ่นยนต์ และเมื่อทราบพิคของหุ่นยนต์ที่จะเคลื่อนที่ไปถึงแล้ว ก็สามารถหามุมที่กระทำต่อก้านของหุ่นยนต์ทั้งสามก้านได้ อีกทั้งยังสามารถควบคุมหุ่นยนต์ชนิดนี้ ให้สามารถใช้งานได้ตามวัตถุประสงค์ที่ต้องการอีกด้วย

## 1.2 วัตถุประสงค์ของงานวิจัย

- 1.2.1 เพื่อศึกษาสมการทางคณิตศาสตร์ของหุ่นยนต์ Canfield
- 1.2.2 เพื่อศึกษาการออกแบบและสามารถสร้างต้นแบบหุ่นยนต์ Canfield ออกมาได้จริง
- 1.2.3 เพื่อศึกษาและออกแบบโปรแกรมสำหรับควบคุมหุ่นยนต์ Canfield

## 1.3 ขอบเขตของงานวิจัย

- 1.3.1 คำนวณหาแบบจำลองทางคณิตศาสตร์ ด้วยสมการจลนศาสตร์แบบไปข้างหน้า(Forward Kinematic) ตามทฤษฎีของ Canfield โดยคำนวณด้วยโปรแกรม MATLAB

- 1.3.2 ใช้เซอร์โวมอเตอร์ จำนวน 3 ตัว เป็นต้นกำลังขับเคลื่อนทั้ง 3 แขน ของหุ่นยนต์
- 1.3.3 สามารถหาพิกัดที่ปลายแขนของหุ่นยนต์และมุม Orientation ( $\theta_x, \theta_y, \theta_z$ ) ได้
- 1.3.4 สามารถส่งค่าจากสมการ Forward kinematic ไปเก็บไว้ในตารางและเรียกใช้ค่ามุม Orientation ( $\theta_x, \theta_y, \theta_z$ ) จากตาราง เพื่อป้อนกลับ ไปหาค่ามุมที่แขนหุ่นยนต์  $\theta_1, \theta_2, \theta_3$  ได้

#### 1.4 วิธีดำเนินงานวิจัย

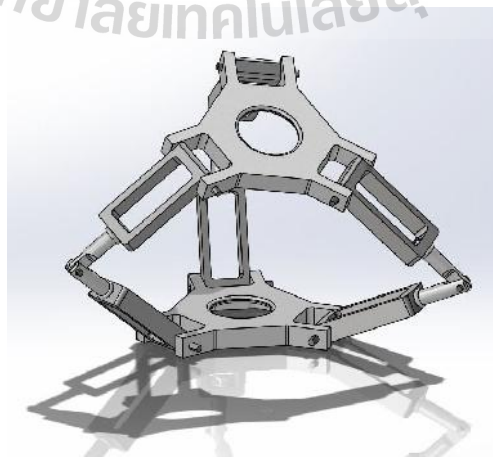
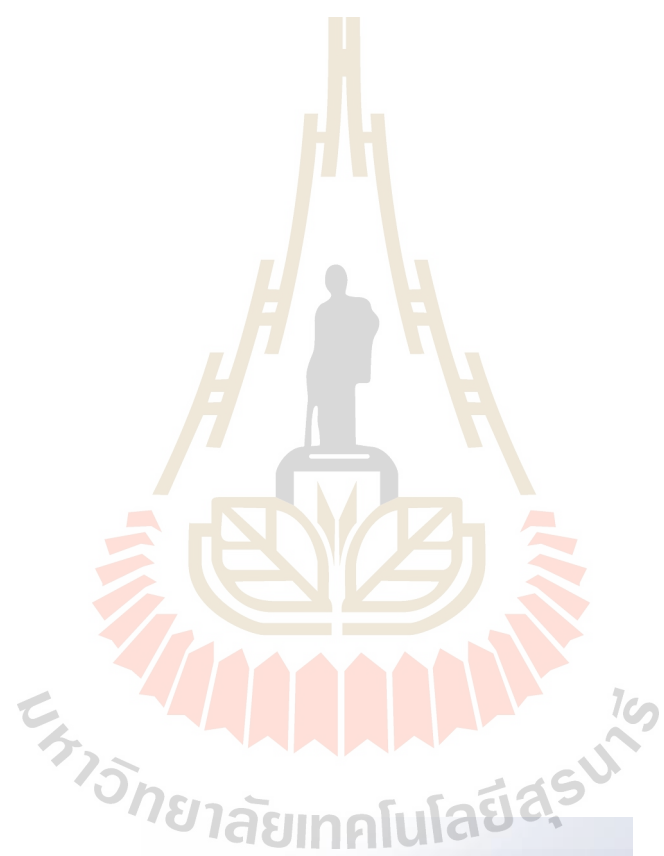
- 1.4.1 ศึกษาค้นคว้าองค์ความรู้ ทฤษฎี เอกสารที่เกี่ยวข้อง และทำการออกแบบระบบ
- 1.4.2 จัดหาวัสดุและอุปกรณ์ในการจัดสร้าง
- 1.4.3 ออกแบบและสร้างเครื่องต้นแบบ
- 1.4.4 เขียนโปรแกรมควบคุมการทำงานของหุ่นยนต์ Canfield
- 1.4.5 ทดสอบเครื่องต้นแบบและทำการปรับปรุงแก้ไข
- 1.4.6 ออกแบบการทดลอง
- 1.4.7 รวบรวมข้อมูล วิเคราะห์และสรุปผลการวิจัย
- 1.4.8 จัดทำรูปเล่มวิทยานิพนธ์ฉบับสมบูรณ์

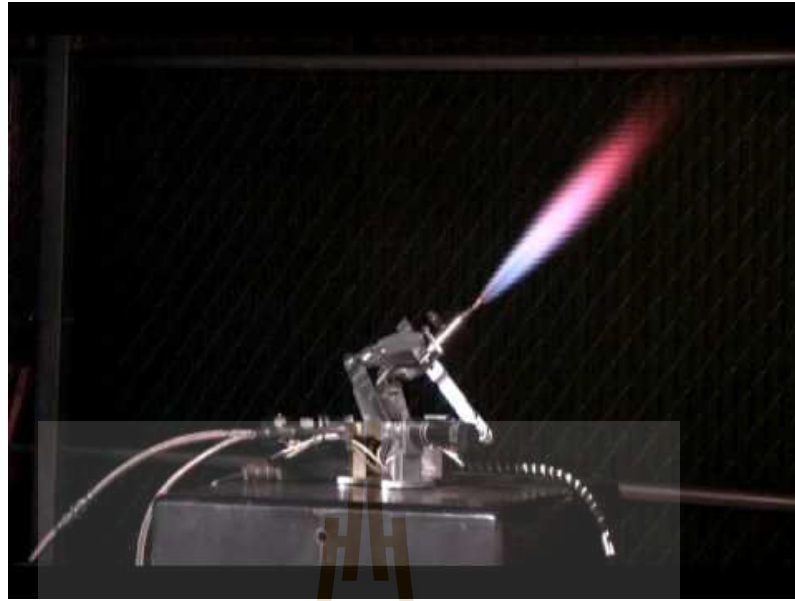
#### 1.5 สถานที่ทำงานวิจัย

- 1.5.1 อาคารเครื่องมือวิทยาศาสตร์และเทคโนโลยี มหาวิทยาลัยเทคโนโลยีสุรนารี

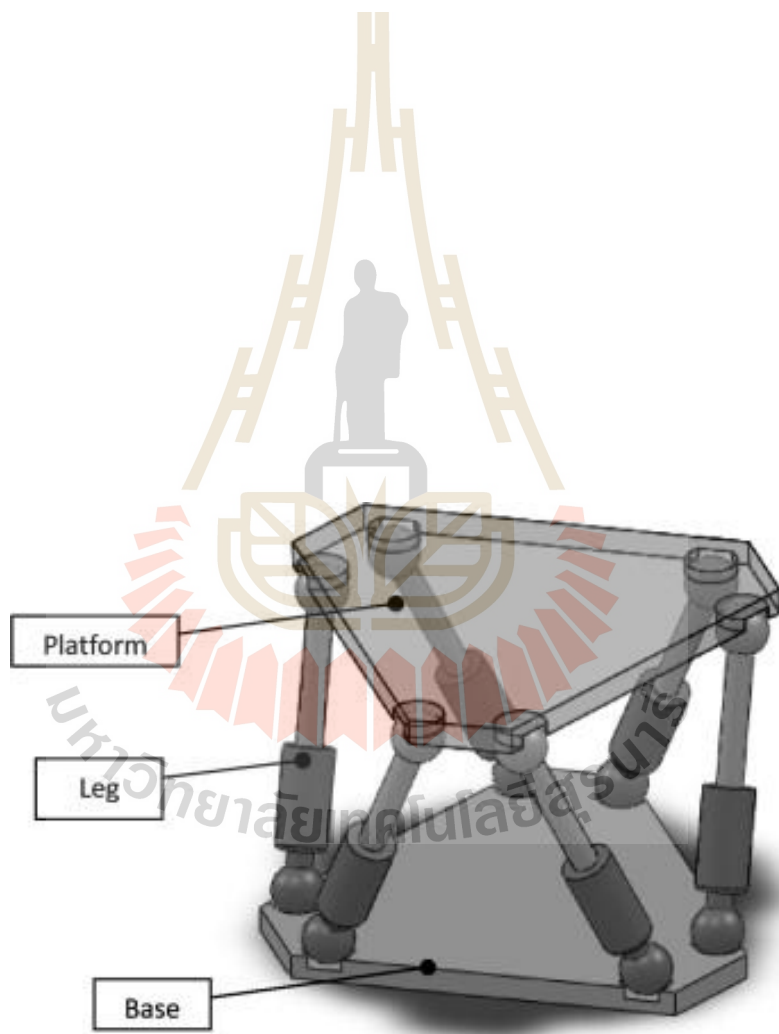
#### 1.6 ประโยชน์ที่คาดว่าจะได้รับ

- 1.6.1 ได้เรียนรู้วิธีการหาแบบจำลองทางคณิตศาสตร์ด้วยสมการจลนศาสตร์
- 1.6.2 ได้เรียนรู้วิธีการควบคุมให้หุ่นยนต์กลไกแบบ Canfield ให้สามารถเคลื่อนที่ได้ตามวัตถุประสงค์
- 1.6.3 สามารถนำหุ่นยนต์กลไกแบบ Canfield นี้ ไปประยุกต์ใช้งานให้เกิดประโยชน์ในด้านอุตสาหกรรมต่อไปในอนาคตได้









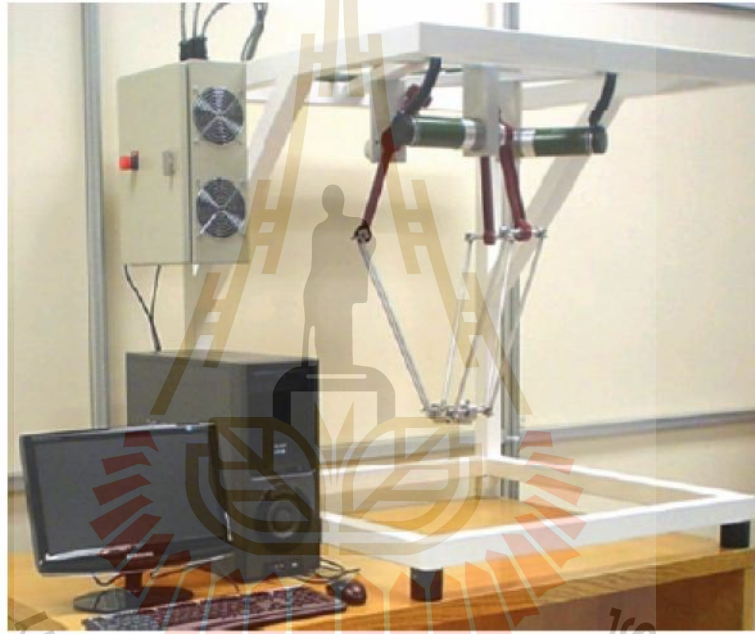
Chris Eskildsen , McKay Hansen , Brian Mahlstedt , Caleb Royer (2007)[5] ได้นำทฤษฎีการออกแบบของ Canfield Joint มาสร้างเครื่องผลักดันยานอวกาศโดยมี 3 ตัวกระตุ้นในการควบคุมทิศทางการเคลื่อนที่ของข้อต่อการหมุนส่งผลให้เครื่องผลักดันสามารถเคลื่อนที่ได้ในรูปแบบของครึ่งทรงกลม อุปกรณ์ที่สร้างขึ้นมานี้ถูกเรียกว่า Spacecraft Reaction Control System Thruster จะถูกนำไปติดตั้งบนยานอวกาศเพื่อใช้สำหรับการผลักดันยานอวกาศให้เป็นไปในทิศทาง pitch , yaw , roll อีกทั้งยังสามารถนำไปใช้ในการหันเหของแผงโซลาร์ที่ติดอยู่บนยานอวกาศเพื่อรับแสงอาทิตย์และนำพลังงานแสงอาทิตย์มาใช้ในยานอวกาศได้

David Raimundo Rivas-Lalaleo และคณะ (2009)[6] ได้ทำการออกแบบตัวหุ่นยนต์เดลต้าเป็นหุ่นยนต์ที่มีโครงสร้างเป็นแบบขนาน โดยมีโครงสร้างข้อต่อจากต้นกำลังแต่ละตัวไปยังปลายแขนเป็น โครงสร้างแบบปิดเป็นวงรอบ ข้อดีของแขนหุ่นยนต์เดลต้ามีความเร็วในการทำงานสูงเมื่อเปรียบเทียบกับแขนหุ่นยนต์แบบอื่นๆ และมีประสิทธิภาพในการทำงานและการเคลื่อนไหวย่างอิสระได้ดีกว่าเพราะเป็น โครงสร้างแบบปิดมีความเที่ยงตรง (precision) สูง ข้อเสียของแขนหุ่นยนต์แบบเดลต้าคือปลายแขน โดยทั่วไปออกแบบให้มีมวลน้อยและชิ้นงานที่ใช้แขนหุ่นยนต์แบบเดลต้าก็ต้องมีมวลที่น้อยด้วยเพื่อป้องกันการสั่น เมื่อต้องการเคลื่อนที่ด้วยความเร็วสูงและ โดยทั่วไปจะมีพื้นที่การทำงานแคบ อีกทั้งยังมีความซับซ้อนในการคำนวณการควบคุม

Eli Bashevkin , Joseph Konahan , Brian Mahlstedt , Andrew Kalman (2009)[7] ได้ศึกษาทฤษฎีของ Canfield Joint และนำมาประยุกต์ในการออกแบบและสร้างระบบติดตามดาวเทียมโดยฐานที่ยึดติดกับดาวเทียมเป็นรูปแบบของลูกบาศก์ ส่งผลให้มีประสิทธิภาพในการทำงานในการชี้ตำแหน่งได้แม่นยำมากยิ่งขึ้น

Olsson, (2009)[8] ได้อธิบายถึงการสร้างแบบจำลองทางคณิตศาสตร์ของหุ่นยนต์แบบเดลต้าที่ขับเคลื่อนด้วยมอเตอร์และไครฟ์ซึ่งพัฒนาโดย ELAU GmbH โดยในแบบจำลองของหุ่นยนต์ Delta-3 นั้น ประกอบไปด้วย การคำนวณจลนศาสตร์ที่จะนำมาใช้ในการคำนวณหาเส้นทางการเคลื่อนที่ของหุ่นยนต์สามแขนและการเคลื่อนที่ของแผ่นปลายแขนที่สอดคล้องกัน และศึกษาด้านพลวัตของหุ่นยนต์ที่มีอันตรกิริยากัน เมื่อมีการเคลื่อนที่ของสามแขน ที่สร้างขึ้นด้วยโปรแกรม MATLAB/Simulink และนำผลที่เปรียบเทียบกับผลที่ได้จากหุ่นยนต์ Delta-3 ที่ขับเคลื่อนด้วยอุปกรณ์และซอฟต์แวร์ของ ELAU GmbH

Naiyanut Jantepa (2010)[9] การพัฒนาแบบจำลองทางคณิตศาสตร์ในการเคลื่อนที่ของหุ่นยนต์เคลื่อนที่อิสระ 6 แกนสัมพันธ์กับโตะหมุนชิ้นงาน 2 แกน เพื่อหาสมการและรูปแบบความสัมพันธ์ของการเคลื่อนที่และการหมุนสำหรับหุ่นยนต์เคลื่อนที่อิสระแบบ 6 แกนและโตะ



มหาวิทยาลัยเทคโนโลยีสุรนารี

Dominique Deblasis (2012)[12] ได้ทำการออกแบบหุ่นยนต์แบบสามก้านโยง เพื่อทำการศึกษาการทำงานและการประยุกต์ใช้งานในการบรรจุผลิตภัณฑ์อุตสาหกรรม โดยใช้มอเตอร์แบบดีซี เป็นต้นกำลังและใช้โปรแกรม MATLAB ในการควบคุมการทำงาน ข้อดีของหุ่นยนต์แบบสามก้านโยง มีพื้นที่การทำงานกว้าง เพราะข้อต่อๆกับออกไปเรื่อยๆ และข้อเสียของหุ่นยนต์แบบสามก้านโยงความแข็งแรงต่ำ เพราะมีลักษณะเป็นโครงสร้างยื่นยาวออกไปจากฐาน

Somrerak Poodchakarn , Komkrich Thongsa-ard , Charoon Sae-eaw , Jirapong Lim , Saiyan Primee (2012)[13] นำเสนอการออกแบบและพัฒนาแขนหุ่นยนต์ 3 แกนแกน (3-axis Articulated Robot Arm) รวมทั้ง โปรแกรมควบคุมการเคลื่อนที่สำหรับการขนถ่ายวัสดุ โดยขั้นตอนการดำเนินงานประกอบด้วย ส่วนแรกเป็นการออกแบบโครงสร้างและระบบขับเคลื่อนของแขนหุ่นยนต์โดยใช้วัสดุอลูมิเนียม, สเต็ปมอเตอร์, ชุดเฟืองตรงและ ชุดเฟืองโซ่ เพื่อให้ได้ปริมาตรการทำงานในระบบพิกัดทรงกลมประมาณ  $200,000 \text{ cm}^3$  โดยระบบควบคุมทาง ไฟฟ้าใช้การส่งสัญญาณแบบดิจิทัลจากอุปกรณ์เชื่อมต่อระหว่างคอมพิวเตอร์ไปยังชุดขับเคลื่อนมอเตอร์ (Stepped Motor Driver) 5 ชุด

Supachock Tuntivivat (2012)[14] นำเสนอการออกแบบระบบควบคุมการยืดหยุ่น เพื่อใช้กับแขนกล CRS แบบ 3 แกน ให้มีการเคลื่อนที่จากตำแหน่งเริ่มต้นไปยังตำแหน่งที่ต้องการบนพื้นผิวระนาบเอียง 45 องศา ที่กำหนดโดยสามารถควบคุมแรงโดยทางอ้อมเมื่อทราบค่าความยืดหยุ่นของผิววัสดุและกำหนดความลึกที่ต้องการให้ปลายแขนกลลงบนวัสดุและทฤษฎีของจลนศาสตร์เป็นส่วนหนึ่งของงานวิจัยนี้

E. G. Merriam , J. E. Jones , S. P. Magleby , and L. L. Howell (2013)[15] ได้อธิบายเกี่ยวกับแนวคิดในการออกแบบและพัฒนากลไกที่เป็นเครื่องชี้ตำแหน่งในระบบ 2 DOF สำหรับการประยุกต์ใช้ในการผลักดันยานอวกาศ เสาอากาศ หรือระบบพลังงานแสงอาทิตย์ ใช้วิธีการวิเคราะห์เชิงตัวเลขในการพัฒนาและใช้ทฤษฎีการออกแบบของ Canfield Joint ในการสร้างเครื่องชี้ตำแหน่ง

Casas, C., al. (2014)[16] ได้นำเสนอไว้ว่าโดยปกติแล้วขอบเขตการทำงานของแผ่นเคลื่อนไหว จะสามารถหาคำตอบได้เมื่อทำการสร้างและทดสอบแล้วเท่านั้น โดยในงานวิจัยได้นำเสนอการสร้างแบบจำลองแผ่นเคลื่อนไหวเสมือนจริงไว้ เพื่อสามารถหาค่าขอบเขตการเคลื่อนไหวในแต่ละแนวแกนของแผ่นเคลื่อนไหวแทนการที่จะต้องสร้างอุปกรณ์จริงขึ้นมาก่อน จึงช่วยประหยัดทรัพยากรเป็นอย่างยิ่ง โดยสมัยก่อนจะทำการสร้างและทดสอบ เพื่อหาขอบเขตการทำงานและหากไม่ได้ตามต้องการก็จะต้องทำการออกแบบใหม่ หรือพัฒนาใหม่เพื่อให้ได้ตาม

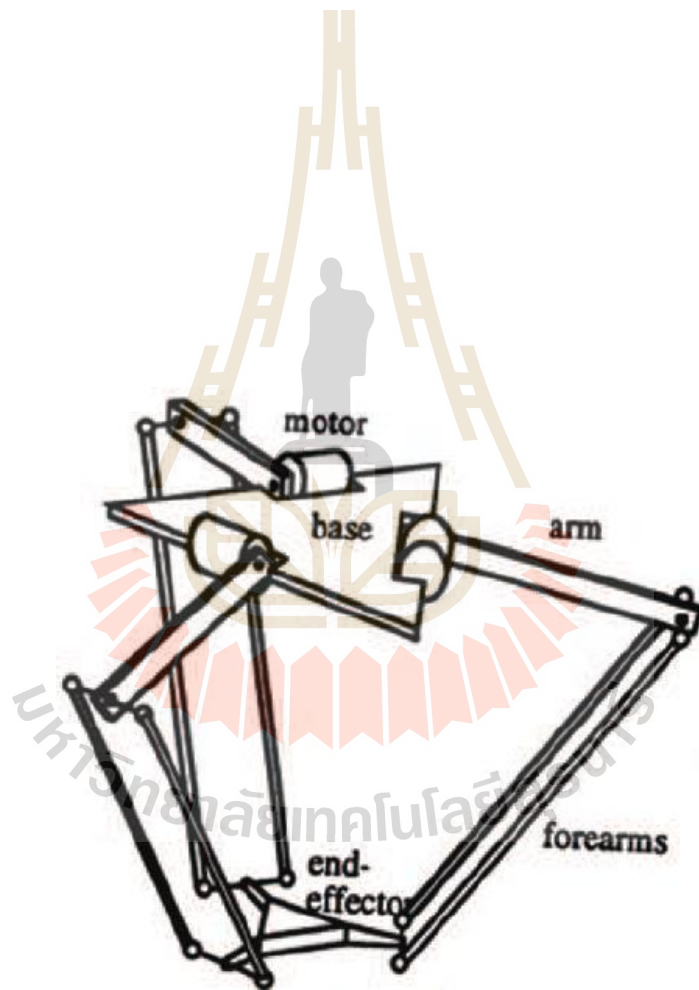
ต้องการ ดังนั้นการสร้างแบบจำลองเสมือนจริงนี้จึงสามารถตอบโจทย์ได้อย่างดีในการหาขอบเขตการทำงานของแผ่นเคลื่อนไหวจริง

Liu, N. and Wu, J.(2014)[17] ได้ออกแบบและสร้างแขนกลแบบไฮบริดที่ผสมระหว่างแขนกลแบบเดลด้าที่มี 3 องศาอิสระ และข้อมือแบบอนุกรมที่มีอีก 3 องศาอิสระ ที่เรียกว่า Delta-RST ซึ่งจะช่วยให้ผสมผสานมีข้อดีของแขนกลทั้งสองแบบเข้าด้วยกัน คือสามารถเคลื่อนที่ได้เร็ว พร้อมทั้งสามารถเข้าถึงพื้นที่การใช้งานในองศาต่างๆ ได้อย่างกว้างขวาง สำหรับหุ่นยนต์แบบเดลด้าการวิเคราะห์เมตริกซ์จาโคเบียนแบบผกผันและแบบตรงจะช่วยบ่งชี้รูปแบบการเกิดค่าเอกพจน์ในบางรูปแบบ

สุรัมภา จารัตน์, อนันต์ เกิดสิน (2014)[18] ได้นำเสนอการออกแบบและสร้างชุดสาธิตหุ่นยนต์เดลด้า 3 แกน ในการดำเนินการได้ออกแบบและสร้างชุดสาธิตโดยให้แขนของชุดสาธิตใช้ท่อคาร์บอนไฟเบอร์ (Fiber Carbon) ซึ่งมีน้ำหนักเบากว่าเดิมเมื่อเปรียบเทียบกับอลูมิเนียม (Aluminum) ทำให้ในการเคลื่อนที่มีความคล่องตัวยิ่งขึ้น ระบบควบคุมใช้พีแอลซี (Programmable Logic Controller : PLC) เป็นตัวควบคุมการทำงานของมอเตอร์ผ่านระบบการสื่อสารแบบ CANOpen ชุดสาธิต สามารถควบคุมผ่านหน้าจอแสดงผลที่สร้างขึ้นจากโปรแกรม Microsoft Visual Studio และส่งสัญญาณการควบคุมผ่านระบบ Modbus TCP/IP ไปประมวลผลยังพีแอลซีหน้าจอแสดงผล มีฟังก์ชันการทำงานหลายฟังก์ชัน เช่น Forward and Inverse, Jog X,Y,Z, Linear Motion เป็นต้น ในส่วนของการประเมินความเหมาะสมของชุดสาธิตนั้น

ธวัชรรัตน์ ทองปิ่น (2014)[19] ได้นำเสนอการสร้างเครื่องต้นแบบเครื่องฝึกจำลองการบิน โดยการเชื่อมต่ออุปกรณ์ควบคุมอากาศยานเข้ากับคอมพิวเตอร์ เพื่อให้การตอบสนองของภาพที่ปรากฏเหมือนกับการบินจริง ในด้านการเคลื่อนที่เครื่องต้นแบบนี้จะสร้างให้ห้องนักบินสามารถเคลื่อนที่ได้ใน 3 ทิศทาง คือ การควง(Roll) การงย(Pitch) และการเคลื่อนที่ตอบสนองกับความเร่งหรือแรงกระแทก(Heave) โดยการทำงานจะใช้เครื่องกระตุ้นด้วยลมขนาดเล็กในการจำลองการเคลื่อนที่ ผลที่ได้จากงานวิจัยนี้จะทำให้วิศวกรด้านการบินและอากาศยานสามารถมีเครื่องจำลองการบินที่มีความสมจริง ราคาถูกกว่าสร้างจากต่างประเทศ และสามารถผลิตขึ้นเอง

อภิสิทธิ์ หล่อนกลาง(2015)[20] ได้นำเสนอการสร้างเครื่องต้นแบบเครื่องฝึกจำลองการบิน การสร้างเครื่องฝึกบินจำลองนี้จะทำการสร้างห้องนักบิน(Cockpit) การจำลองภาพการบินจะใช้โปรแกรมสำเร็จรูปในการสร้างภาพ โดยจะทำการเชื่อมต่ออุปกรณ์ควบคุมอากาศยานเข้ากับคอมพิวเตอร์ เพื่อให้การตอบสนองของภาพที่ปรากฏเหมือนกับการบินจริง อีกทั้งเครื่องมือวัดมีความสมจริง ในด้านการเคลื่อนที่เครื่องต้นแบบนี้จะสร้างให้ห้องนักบินสามารถเคลื่อนที่ได้ใน 3



เพื่อช่วยออกแบบและเลือกความยาวของแต่ละแกนโยง เพื่อให้ได้พื้นที่การทำงานในระนาบแนวนอนที่เหมาะสมตามระดับความสูงที่ต้องการและทำการจำลองพื้นที่การทำงานของแขนหุ่นยนต์ก่อนที่จะดำเนินการสร้างจริง และทำการพัฒนาระบบควบคุมการเคลื่อนที่ของปลายแขนหุ่นยนต์ตามจุดพิกัดและเส้นทางที่กำหนด ซึ่งใช้การคำนวณทางคณิตศาสตร์ผกผัน โดยระบบควบคุมของแขนหุ่นยนต์ได้พัฒนาด้วยโปรแกรม MATLAB/GUI โดยเน้นให้มีฟังก์ชันที่ผู้ใช้งานควบคุมการเคลื่อนที่ของปลายแขนหุ่นยนต์ได้ง่ายตามเส้นทางที่กำหนดไว้ที่มีการประมาณค่าเส้นทางการเคลื่อนที่อย่างต่อเนื่องจากจุดพิกัดที่กำหนดโดยผู้ใช้งาน

## 2.2 ไมโครคอนโทรลเลอร์ (Microcontroller)

ไมโครคอนโทรลเลอร์ คือ อุปกรณ์ที่สามารถสร้างระบบควบคุมได้ โดยอุปกรณ์นี้มีขนาดเล็ก และเป็นอุปกรณ์ประเภทสารกึ่งตัวนำที่มีการรวมเอาฟังก์ชันการทำงานต่าง ๆ ไว้ในตัวมันเอง ซึ่งมีลักษณะคล้ายกับคอมพิวเตอร์ ซึ่งในที่นี้หมายถึงอุปกรณ์ภายในที่ประกอบด้วย หน่วยประมวลผลกลาง, พอร์ตในการเชื่อมต่อแบบต่าง ๆ

### 2.3.1 ส่วนประกอบทั่วไปของไมโครคอนโทรลเลอร์

2.3.1.1 หน่วยประมวลผลกลาง (Control Processing Unit)

2.3.1.2 หน่วยความจำซึ่งประกอบด้วย RAM (Random Access Memory) และ EPROM/ EEPROM/PROM/ROM (Erasable Programmable Read Only Memory)

2.3.1.3 หน่วยรับและแสดงผลข้อมูล (Input/Output) ซึ่งมีพอร์ตขยายแบบขนาน (Parallel) และอนุกรม (Serial)

2.3.1.4 ตัวนับเวลา (Timer)

2.3.1.5 หน่วยควบคุมการอินเทอร์รัปต์ (Interrupt Controller)

ส่วนประกอบเหล่านี้เป็นเพียงส่วนประกอบพื้นฐานของไมโครคอนโทรลเลอร์ ไมโครคอนโทรลเลอร์นั้นยังมีส่วนประกอบอย่างอื่นอีก เพื่อเพิ่มเติมความสามารถขึ้นอยู่กับไมโครคอนโทรลเลอร์แต่ละเบอร์ด้วย เช่น

- ADC (Analog to Digital) ส่วนภาครับสัญญาณอนาล็อกแปลงไปเป็นสัญญาณดิจิทัล

- DAC (Digital to Analog) ส่วนภาคส่งสัญญาณดิจิทัลแปลงไปเป็นสัญญาณอนาล็อก

- I2C (Inter Integrate Circuit Bus) เป็นการสื่อสารอนุกรม แบบซิงโครนัส (Synchronous) เพื่อใช้ติดต่อสื่อสารระหว่างไมโครคอนโทรลเลอร์ (MCU) กับอุปกรณ์ภายนอก ซึ่งถูกพัฒนาขึ้นโดยบริษัท Philips Semiconductors โดยใช้สายสัญญาณเพียง 2 เส้นเท่านั้น คือ Serial Data (SDA) และสาย Serial Clock (SCL) ซึ่งสามารถเชื่อมต่ออุปกรณ์จำนวนหลาย ๆ ตัวเข้าด้วยกันได้ ทำให้ MCU ใช้พอร์ตเพียง 2 พอร์ตเท่านั้น

- SPI (Serial Peripheral Interface) เป็นการเชื่อมต่อกับอุปกรณ์เพื่อรับส่งข้อมูลแบบซิงโครนัส (Synchronize) มีสัญญาณนาฬิกาเข้ามาเกี่ยวข้องกับไมโครคอนโทรลเลอร์ (Microcontroller) หรือจะเป็นอุปกรณ์ภายนอกที่มีการรับส่งข้อมูลแบบ SPI อุปกรณ์ที่ทำหน้าที่เป็นมาสเตอร์ (Master) โดยปกติแล้วจะเป็นไมโครคอนโทรลเลอร์ หรืออาจกล่าวได้ว่าอุปกรณ์ Master จะต้องควบคุมอุปกรณ์ Slave ได้โดยปกติแล้ว Slave มักจะเป็นไอซี (IC) หน้าทีพิเศษต่าง ๆ เช่น ไอซีอุณหภูมิ, ไอซีฐานเวลา นาฬิกาจริง (Real-Time Clock) หรืออาจเป็นไมโครคอนโทรลเลอร์ที่ทำหน้าที่ในโหมด Slave ก็ได้เช่นกัน

- PWM (Pulse Width Modulation) การสร้างสัญญาณพัลส์แบบสแควร์เวฟที่สามารถปรับเปลี่ยนความถี่และ Duty Cycle ได้เพื่อนำไปควบคุมอุปกรณ์ต่าง ๆ เช่น มอเตอร์ - UART (Universal Asynchronous Receiver Transmitter) ทำหน้าที่รับส่งข้อมูลแบบอะซิงโครนัสสำหรับมาตรฐานการรับส่งข้อมูลแบบ RS-232

### 2.3.2 ประเภทของไมโครคอนโทรลเลอร์

ไมโครคอนโทรลเลอร์ มีด้วยกันหลายประเภทแบ่งตามสถาปัตยกรรม (การผลิตและกระบวนการทำงานระบบการประมวลผล) ที่มีใช้ในปัจจุบันยกตัวอย่างดังนี้

2.3.2.1 ไมโครคอนโทรลเลอร์ตระกูล PIC (บริษัทผู้ผลิต Microchip)

2.3.2.2 ไมโครคอนโทรลเลอร์ตระกูล MCS51 (บริษัทผู้ผลิต Atmel, Philips)

2.3.2.3 ไมโครคอนโทรลเลอร์ตระกูล AVR (บริษัทผู้ผลิต Atmel)

2.3.2.4 ไมโครคอนโทรลเลอร์ Arduino (บริษัทผู้ผลิต Atmel) เป็นการนำ AVR มาเขียน Firmware Boot Loader คำสั่งใช้งานใหม่ ซึ่งข้อแตกต่างสำหรับบอร์ด Arduino กับบอร์ดทดลองทั่วไป คือ เป็น Open Source ซึ่งหมายถึง การเปิดเผยวิธีการสร้างทั้งในส่วนของ Hardware ไม่ว่า จะเป็นวงจรต่าง ๆ ภายในบอร์ด และตัว Tool Software ที่จะเป็นเครื่องมือที่จะใช้ในการเขียนคำสั่งต่าง ๆ ลงบอร์ด ล้วนเป็น Open Source ทั้งหมด ส่งผลให้นักวิจัยทุกคนมีสิทธิ์ที่จะดาวน์โหลด



โหนด โปรแกรมต่าง ๆ ที่เกี่ยวกับการพัฒนา Arduino ไปใช้ฟรี และสามารถสร้างวงจรเองจากต้นแบบ ใช้ฟรีได้เช่นกัน ซึ่งข้อดี คือ เป็นการสร้างมาตรฐานในการพัฒนาที่จะเป็นไปในทิศทางเดียวกัน เพราะนักพัฒนาทั่วโลกนิยมใช้งานบอร์ดชนิดนี้กันมากขึ้น ดังนั้นไม่ว่าจะเป็นในเรื่องของตัวอย่าง Source Code ตลอดจนการพูดคุยปัญหาเรื่องการใช้งาน และตัวอย่างการต่อวงจรเพื่อการใช้งานในรูปแบบต่าง ๆ จะถูกพัฒนาภายใต้ Open Source ของบอร์ดนี้

2.3.2.5 ไมโครคอนโทรลเลอร์ตระกูล ARM7, ARM9 (บริษัทผู้ผลิต Atmel, Philips, Analog Device, Samsung, STMicroelectronics)

2.3.2.6 ไมโครคอนโทรลเลอร์ตระกูล Basic Stamp (บริษัทผู้ผลิต Parallax)

2.3.2.7 ไมโครคอนโทรลเลอร์ตระกูล PSOC (บริษัทผู้ผลิต CYPRESS)

2.3.2.8 ไมโครคอนโทรลเลอร์ตระกูล MSP (บริษัทผู้ผลิต Texas Instruments)

2.3.2.9 ไมโครคอนโทรลเลอร์ตระกูล 68HC (บริษัทผู้ผลิต MOTOROLA)

2.3.2.10 ไมโครคอนโทรลเลอร์ตระกูล H8 (บริษัทผู้ผลิต Renesas)

2.3.2.11 ไมโครคอนโทรลเลอร์ตระกูล RABBIT (บริษัทผู้ผลิต RABBIT SEMICONDUCTOR)

2.3.2.12 ไมโครคอนโทรลเลอร์ตระกูล Z80 (บริษัทผู้ผลิต Zilog)

2.3.3 ภาษาที่ใช้เขียนโปรแกรมควบคุมไมโครคอนโทรลเลอร์

2.3.3.1 ภาษา Assembly

2.3.3.2 ภาษา Basic

2.3.3.3 ภาษา C หรือ C++

2.3.3.4 ภาษา Pascal

ภาษาดังกล่าวที่กล่าวในเบื้องต้น ไมโครคอนโทรลเลอร์บางตระกูล จะใช้ได้ครบทุกภาษา แต่บางตระกูลจะใช้ได้บางภาษา ขึ้นอยู่กับบริษัทผู้ผลิต Software (โดยทั่วไปจะเรียกว่า Editor and Compiler) ที่ใช้เขียนภาษาไมโครคอนโทรลเลอร์นั้นจะผลิตออกมาให้ Support หรือไม่

## 2.3 เซอร์โวมอเตอร์ (Servo Motor)

หลักการพื้นฐานของ Servo Motor และระบบควบคุมในปัจจุบันการนำเอาระบบ Automation System เข้ามาใช้ในระบบงานการผลิต การลำเลียงจัดส่ง การจัดเก็บในโรงงาน อุตสาหกรรมมากขึ้น ตลอดจนมีการพัฒนาปรับปรุงระบบแบบเดิมที่ไม่มีใช้ มาใช้มากขึ้นด้วย หนึ่งในระบบ Automation System ที่มีการนำมาใช้ นอกเหนือไปจากพวกระบบ Pneumatic และ Hydraulic คือ Servo Motor & Control ซึ่งเป็นระบบที่นำมาใช้อย่างกว้างขวางมากในแทบทุกอุตสาหกรรมเช่น Packaging Machinery, Automate Manufacturing, Printing, Labeling, Textile Machinery, Food Processing, Plastic Machinery, Metal Forming รวมถึงงานที่มีการประยุกต์ใช้ เช่น Pick and Place, Flying Cutoffs, X-Y-Z Table, Synchronized Speed

การใช้ Servo Motor มีการใช้อย่างกว้างขวางก็เพราะว่ามีความยืดหยุ่นในการใช้งานสูง สามารถควบคุมได้ทั้ง ความเร็ว (Speed), ตำแหน่ง (Position) และแรงบิด (Torque) ซึ่งให้ประสิทธิภาพสูงสุด ในกระบวนการควบคุมมอเตอร์ เมื่อเปรียบเทียบกับมอเตอร์ธรรมดา (AC MOTOR) หรือมอเตอร์ กระแสตรง (DC MOTOR) การใช้ Servo Motor & Control มีส่วนประกอบหลัก 2 ส่วน คือ

### 2.4.1 Servo Motor

ซึ่งมีขนาดตั้งแต่ 30 W ขึ้นไปจนถึง 370 kW โครงสร้างภายในจะแตกต่างจากมอเตอร์เหนี่ยวนำ โดยที่โรเตอร์ (Rotor) จะเป็นแม่เหล็กถาวร (Permanent Magnet) การออกแบบลดแรงเฉื่อยให้มากที่สุด ซึ่งจะเห็นจากรูปทรงเหลี่ยมและยาว ซึ่งมีผลทำให้การตอบสนองต่ออัตราเร่ง (Accelerate), ความเร็ว (Speed) และอัตราหน่วง (Decelerate) ทำได้ดีเมื่อเทียบกับมอเตอร์เหนี่ยวนำหรือมอเตอร์ทั่ว ๆ ไป การออกแบบจะมีสัญญาณป้อนกลับทั้งความเร็วและตำแหน่ง ที่ท้ายมอเตอร์ (ซึ่งอาจจะเป็น Encoder, Resolver หรือประเภทอื่น ๆ ก็ได้)

### 2.4.2 โครงสร้างภายในของ Servo Motor

AC Servo Motor, DC Brushless Motor จัดอยู่ในกลุ่มมอเตอร์ประเภท Synchronous Motor คือ ความเร็ว Rotor จะมีค่าเท่ากับความเร็วสนามแม่เหล็กในมอเตอร์ (Rotating Field)

### 2.4.3 Amplifier หรือ Driver

เป็นตัวขับ Servo Motor ใช้ Servo Motor โดยต่อไฟโดยตรงเหมือนกับมอเตอร์ธรรมดา ไม่ต้องต่อผ่าน Amplifier ซึ่งจะเป็นตัวจ่ายไฟและรับสัญญาณป้อนกลับจากตัวเซอร์โวมอเตอร์ (Encoder feedback) ถ้ามีเฉพาะ Servo Motor และ Amplifier เราควบคุมได้แค่ความเร็ว (Speed) และแรงบิด (Torque) เท่านั้น คล้าย ๆ กับการใช้ Inverter แต่แตกต่างกันที่จะควบคุมรอบได้เที่ยงตรง แม่นยำกว่ามาก และมีแรงบิดคงที่ ตลอดช่วงความเร็วของมอเตอร์ หากต้องการควบคุมตำแหน่งด้วย (Position Control) จะต้องมี Standalone Controller หรือ Built-in Controller หรือ PLC with Module Controller หรือ PC with PCI Card Controller

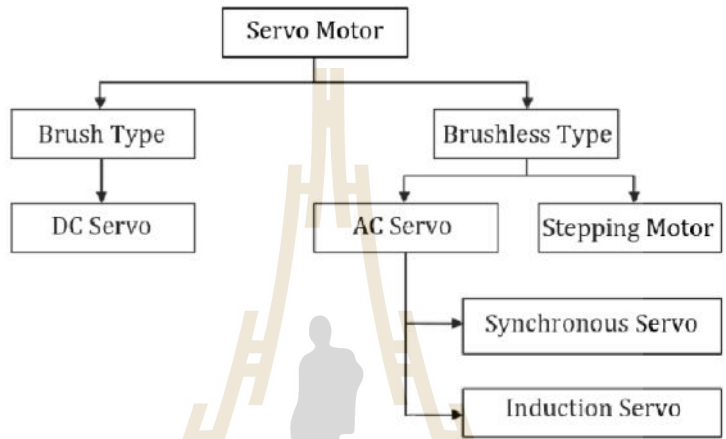
ดังนั้นในระบบ Servo Motor อย่างน้อยที่สุด จะต้องประกอบด้วย Servo Motor และ Servo Driver สำหรับงานที่ต้องการควบคุมแค่ Speed หรือ Torque การเลือก Servo Driver ใช้กับ Servo Motor ก็เหมือนกับการเลือก Inverter ใช้กับมอเตอร์อินดักชัน โดยเลือกให้ Servo กำลังขับมากกว่าหรือเท่ากับของ Servo Motor สิ่งที่แตกต่างกันและต้องระมัดระวังก็คือ โดยทั่วไปมักไม่มีปัญหาในการใช้ inverter ยี่ห้อหนึ่งกับมอเตอร์อีกยี่ห้อหนึ่ง แต่กับ Servo Motor ไม่ใช่ มักใช้ Driver และ Servo Motor ยี่ห้อเดียวกัน หรือที่จับคู่กันแล้วโดยผู้ผลิต ทั้งนี้เป็นเพราะปัจจัยหลักดังนี้

Feedback ที่ Servo Motor ติดอยู่ เป็นแบบชนิดเดียวกันหรือไม่: Incremental Encoder, Resolver, Serial Encoder ถ้าใช้ Servo Drive ที่รับ Feedback จากมอเตอร์เป็น Resolver ไปใช้กับ Servo Motor ที่ติด Encoder ก็จะไม่สามารถใช้งานกันได้ ดังนั้นการจับคู่ Servo Motor และ Servo Driver จะต้องพิจารณาปัจจัยข้างต้นด้วย เมื่อต้องใช้ต่างยี่ห้อกันหรือใช้ทดแทนกัน

#### 2.4.4 ชนิดของเซอร์โวมอเตอร์

การใช้งานเซอร์โวมอเตอร์ ในเครื่องจักรกลอัตโนมัติ ได้มีการใช้งานมาเป็นเวลานานแล้ว จากการพัฒนาโครงสร้างการทำงานของมอเตอร์ และระบบการควบคุมที่ต้องการการตอบสนองทางด้านจลนศาสตร์ ความเชื่อถือได้ในการทำงาน (Reliability) และสมรรถนะทางด้านการบำรุงรักษา (Maintenance Ability) จึงทำให้ปัจจุบันมีเซอร์โวมอเตอร์อยู่ด้วยกัน หลายลักษณะซึ่งสามารถจำแนกได้ตามลักษณะโครงสร้าง และการทำงานอาจแบ่งได้เป็น 2 กลุ่ม คือ กลุ่มที่มีโครงสร้างการทำงานของมอเตอร์ประกอบด้วยแปรงถ่าน (Brush Type) และกลุ่มที่ไม่ใช้แปรงถ่าน (Brushless Type)

ก) เซอร์โวมอเตอร์ชนิดมีแปรงถ่าน สเตเตอร์เป็นแม่เหล็กถาวร ส่วนโรเตอร์ยังใช้แปรงถ่านและคอมมิเตเตอร์ เรียงกระเข้าสู่ขดลวดอาร์เมเจอร์เหมือนกับมอเตอร์ กระแสตรง (DC Motor) ทั่วไป



มหาวิทยาลัยเทคโนโลยีสุรนารี

## 2.4 ทฤษฎีที่เกี่ยวข้องกับหุ่นยนต์

### 2.4.1 การหาองศาอิสระ

การเคลื่อนที่ในระบบสามมิติสามารถบรรยายได้โดยพารามิเตอร์ค่าตำแหน่งและมุม การหมุนองศาเสรี (degree of freedom) คือ จำนวนของพารามิเตอร์เป็นอิสระต่อกันที่ใช้ในการบรรยายการเคลื่อนที่ของวัตถุ องศาเสรีจะมีค่าน้อยลงเมื่อวัตถุนั้น ถูกจำกัดโดยโครงสร้างกายภาพ ยกตัวอย่างเช่น ตำแหน่งของรถที่เคลื่อนที่บนรางเส้นตรงจะมีองศาเสรีเท่ากับ 1 คือ ตำแหน่งของรถบนราง รถยนต์ที่ขับบนพื้นที่ราบมีองศาเสรีเท่ากับสาม คือ ค่าพิกัดในระนาบ(x,y) เทียบกับแกนอ้างอิง และค่าของมุมที่กำหนดทิศทางการเคลื่อนที่ของรถ ในขณะที่เครื่องบินในอากาศ ณ เวลาใดๆ จะมีองศาเสรีเท่ากับหก คือ 3 ค่าตำแหน่งพิกัดในระบบสามมิติ (x,y,z) และค่ามุม 3 ค่า ในการกำหนดทิศทางที่อาจบรรยายโดยมุมออยเลอร์ หรือโดยมุมการหมุนรอบแกนหลักของเฟรม พิกัดอ้างอิง การเคลื่อนที่ของตัวทำงานส่วนปลายหุ่นยนต์ในระบบสามมิติ สามารถเปรียบได้กับเครื่องบินในอากาศ ดังนั้นองศาเสรีที่จำเป็นเท่ากับ 6 หากหุ่นยนต์มีองศาเสรี

### 2.4.2 พื้นที่การทำงาน ( workspace )

หุ่นยนต์หลายโมเดลมีการเรียกชื่อตามลักษณะรูปทรงของปริมาตรการเคลื่อนที่ของตัวเครื่องมือ เช่น รูปสี่เหลี่ยม ทรงกระบอกหรือทรงกลม พื้นที่การทำงาน ( workspace ) จึงนิยามได้ว่าเป็นพื้นที่ (ปริมาตร) ทั้งหมดที่ตัวทำงานส่วนปลายสามารถเข้าถึงได้ มีการให้คำจำกัดความเฉพาะลงไปเป็นพื้นที่การทำงานเข้าถึงได้ (reachable workspace) คือ เซตของตำแหน่งทั้งหมดที่ตัวทำงานส่วนปลายเข้าถึงได้และพื้นที่การทำงานได้อย่างคล่องแคล่ว (dexterous workspace) คือ ตำแหน่งที่ตัวทำงานส่วนปลายเข้าถึงได้ในทุกทิศทาง

### 2.4.3 ระบบพิกัดเฟรม

การทำงานของหุ่นยนต์ใน 3 มิติสามารถถูกบรรยายได้อย่างเหมาะสมโดย ระบบพิกัดคาร์ทีเซียน (Cartesian coordinate system) ที่มีแกนหลัก X,Y,Z ตั้งฉากกันตามกฎมือขวา ตามที่ใช้กันทั่วไปในทางวิศวกรรมอยู่แล้ว สำหรับเวกเตอร์หรือตำแหน่งในระนาบ 2 มิติอาจใช้การบรรยายโดย ระบบพิกัดเชิงขั้ว (polar coordinate system) ที่กำหนดโดยรัศมี r และมุมที่กระทำกับแกน X ระบบพิกัดคาร์ทีเซียนที่ติดให้กับส่วนต่างๆ ของหุ่นยนต์จะเรียกว่า เฟรม (frame) เฟรมที่ใช้อ้างอิง เรียกว่า เฟรมตรึง (fixed frame) หรือ เฟรมโลก (world frame) บนสมมุติฐานที่ว่า การ

เคลื่อนที่ของวัตถุใดๆ จะสัมพันธ์กับพื้นโลกที่ใช้เป็นจุดอ้างอิงคงที่ เฟรมคิดที่ฐานของหุ่นยนต์ เรียกว่า เฟรมฐาน (base frame) และเฟรมที่ตัวทำงานส่วนปลายเรียกว่า เฟรมเครื่องมือ (tool frame)

ในการวิเคราะห์จลนศาสตร์ของหุ่นยนต์ต้องอาศัยเครื่องมือคณิตศาสตร์ที่มีความเหมาะสมทั้งการคำนวณบนแผ่นกระดาษและคอมพิวเตอร์ ในการที่จะหาความสัมพันธ์ของเฟรมที่ต่ออนุกรมกันบนโครงสร้างของแขน การแปลงเอกพันธ์ (homogeneous transformation) คือ การบรรยายความสัมพันธ์ของเฟรมคู่หนึ่งในรูปของเมตริกซ์ การแปลงเอกพันธ์รวมของหุ่นยนต์จะอยู่ในรูปผลคูณของการแปลงเอกพันธ์ระหว่างกันต่อจากฐานขึ้นไปยังเครื่องมือ

#### 2.4.4 ชนิดแขนกล (ประเภทของหุ่นยนต์อุตสาหกรรม, 2005)

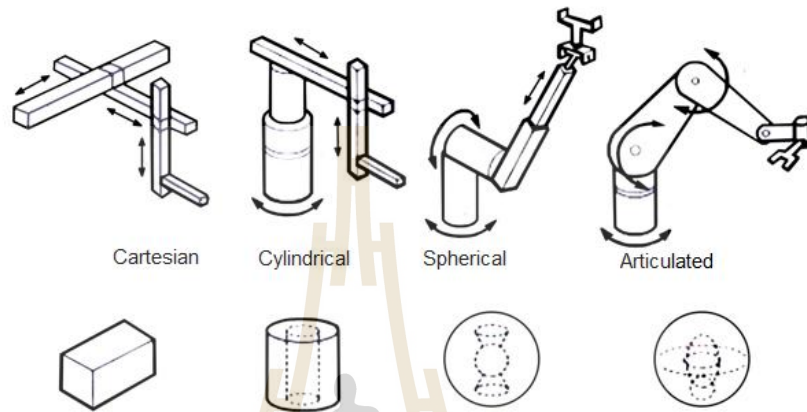
รูปแบบแขนกลที่ใช้ในปัจจุบันมีหลากหลายชนิด ซึ่งแล้วแต่ความเหมาะสมของงาน งานแต่ละแบบมีปัญหาที่ต้องอาศัยลักษณะของแขนกลไม่เหมือนกัน ดังนั้นจึงเกิดเป็นรูปแบบแขนกลที่หลากหลายโดยจะอธิบายเรียงตามลำดับจากซ้ายไปขวาดังรูปที่ 2.7 แสดงลักษณะแขนกลแบบต่างๆ

2.4.4.1 แบบพิกัดฉาก (Cartesian Coordinate) แกนทั้ง 3 ของหุ่นยนต์จะเคลื่อนที่เป็นแบบเชิงเส้น (Prismatic) โดยการทำงานจะต่างจากแขนมนุษย์ โดยจะมีฐานประกอบตัวเคลื่อนที่ทำหน้าที่เคลื่อนที่แขนกลไปด้านหน้าหรือด้านหลังและมีแขนที่ทำหน้าที่คล้ายลิฟต์ทำหน้าที่เคลื่อนแขนกลให้เคลื่อนที่แบบขึ้นลงได้

2.4.4.2 แบบพิกัดทรงกระบอก (Cylindrical Coordinate) หุ่นยนต์ประเภทนี้จะมีแกนที่ 2 (ไหล่) และแกนที่ 3 (ข้อศอก) เป็นแบบ prismatic ส่วน แกนที่ 1 (เอว) จะเป็นแบบหมุน (revolute) ทำให้การเคลื่อนที่ได้พื้นที่ในวงกว้างขึ้น โดยจะทำงานเป็นรูปทรงกระบอก คล้ายหุ่นยนต์ยกของ แขนกลจะเคลื่อนที่ขึ้นและลงพร้อมกับปรับ ความยาวของแขนกล เพื่อจับวัตถุในระดับความสูงที่แตกต่างกัน

2.4.4.3 แบบพิกัดเชิงขั้ว (Spherical Coordinate) มีสองแกนที่เคลื่อนที่ในลักษณะการหมุน (Revolute Joint) คือแกนที่ 1 (เอว) และแกนที่ 2 (ไหล่) ส่วนแกนที่ 3 (ข้อศอก) จะเป็นลักษณะของการเคลื่อนที่แนวเส้นตรง ซึ่งทำให้สามารถหยิบจับวัตถุรอบๆแขนกลได้อย่างสะดวก แขนกลแบบนี้พบมากในโรงงานอุตสาหกรรมซึ่งเหมาะกับงานที่ดั่ง อยู่กับที่แต่ก็สามารถนำมาติดตั้ง กับหุ่นยนต์ที่เคลื่อนที่ได้เช่นกัน

2.4.4.4 แบบแกนพิกัดแบบหมุนรอบ (Articulated Coordinate) ทุกแกนการเคลื่อนที่จะเป็นแบบหมุน (Revolute) รูปแบบการเคลื่อนที่จะคล้ายกับแขนมนุษย์ซึ่งจะ



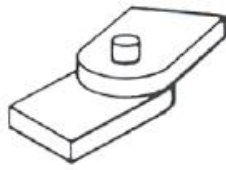
Cartesian

Cylindrical

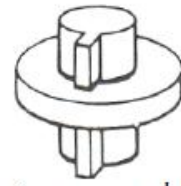
Spherical

Articulated

มหาวิทยาลัยเทคโนโลยีสุรนารี



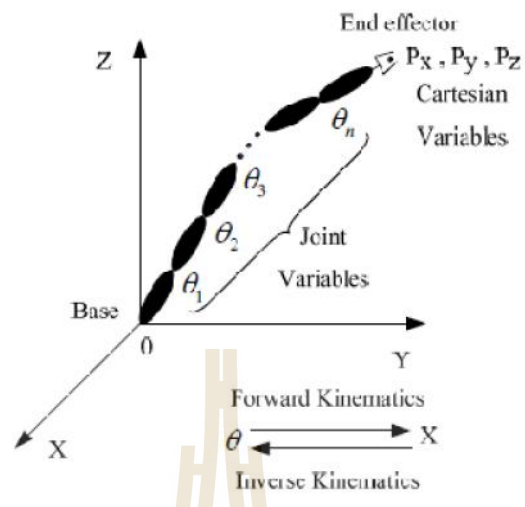
ก) ข้อต่อแบบหมุน



ข) ข้อต่อแบบเลื่อน



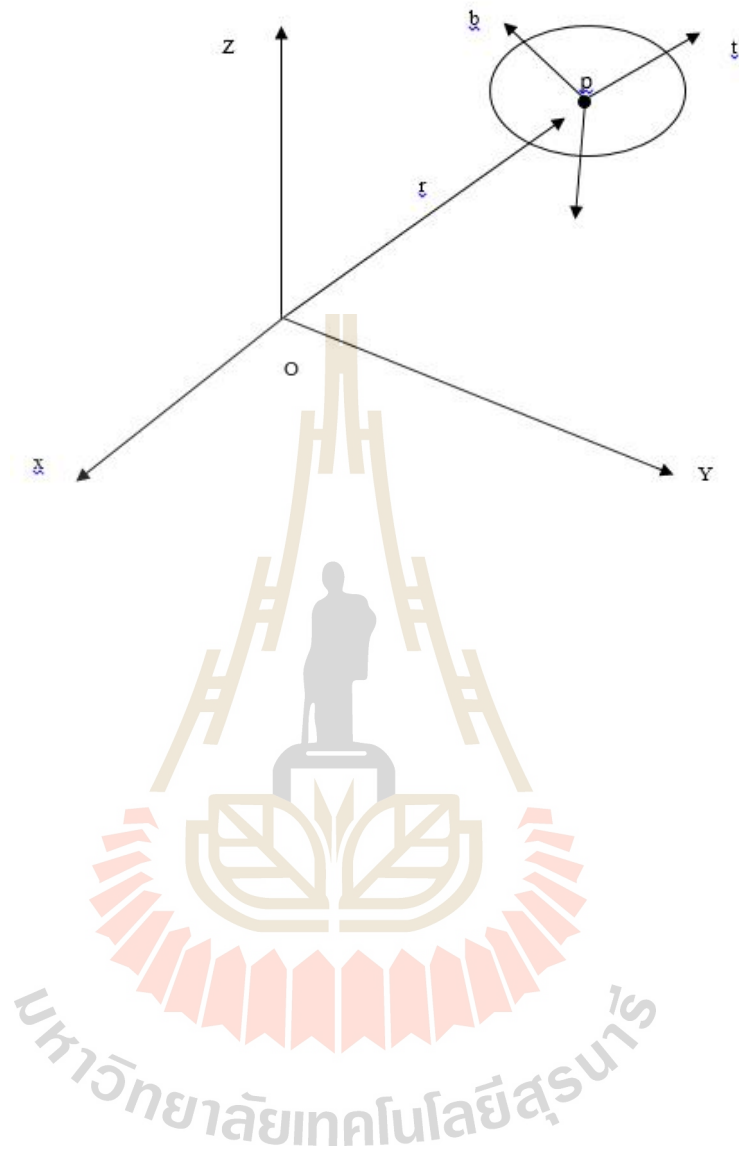


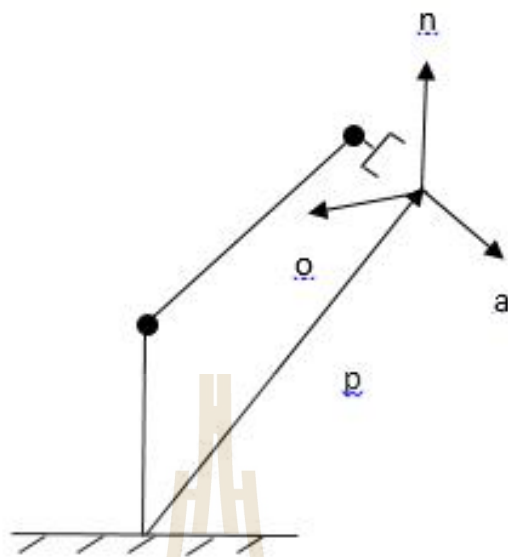


มหาวิทยาลัยเทคโนโลยีสุรนารี

ที่ 2.

$$r = \begin{bmatrix} x \\ y \\ z \end{bmatrix}$$





มหาวิทยาลัยเทคโนโลยีสุรนารี

$$n = o \times a$$

..... คอร์ดหนึ่งท เวย ดั.....

$$R = \begin{bmatrix} n_x & o_x & a_x \\ n_y & o_y & a_y \\ n_z & o_z & a_z \end{bmatrix}$$

### 2.4.5.5 สมการจลนศาสตร์

การบอกตำแหน่ง และการหมุนของปลายแขนกล (End Effectors) สามารถแสดงอยู่ในรูปของสมการบอกตำแหน่งด้วยเวกเตอร์ P และการหมุนด้วย  $(n, o, a)$  ดังรูปที่ 2.11

ส่วนประกอบของเวกเตอร์ทั้ง 3 กำหนดขึ้นในระบบพิกัดตามแกนคาร์ทีเซียนที่ยึดติดอยู่กับฐานของหุ่นยนต์โดยที่เวกเตอร์  $a$  คือ เวกเตอร์ขนาดหนึ่งหน่วยมีทิศทางเคลื่อนที่พุ่งเข้าหาวัตถุส่วนเวกเตอร์  $o$  มีทิศทางตามนิ้วจับขึ้นงานทั้ง 2 นิ้ว ในที่นี้คือมีทิศทางตามจุดปลายทั้ง 2 ของนิ้วและเวกเตอร์  $n$  คือ เวกเตอร์ที่ตั้งฉาก โดยเวกเตอร์ทั้ง หมดเป็นไปตามกฎมือขวาคือ  $n=o \times a$  การบอกตำแหน่งสามารถบอกโดยใช้ระบบพิกัดอื่นได้อีก เช่นระบบพิกัดทรงกระบอก (Cylindrical Coordinates) และระบบพิกัดทรงกลม (Spherical Coordinates) ส่วนการหมุนสามารถใช้วิธีการแบบอื่นได้ เช่น การหมุนแบบมุมออยเลอร์ (Euler Angles) และการหมุนแบบ RPY (Roll-Pitch-Yaw)

### 2.4.5.6 มุมออยเลอร์ (Saeed B. Niku, 2001)

การหมุนแบบมุมออยเลอร์สามารถอธิบายได้ด้วยการหมุนรอบแกน 3 แกนโดยเริ่มจากแกน Z ด้วยมุม  $\varphi$  และหมุนรอบแกน Y ด้วยมุม  $\theta$  และหมุนรอบแกน X ด้วยมุม  $\psi$  หรือเรียกการหมุนนี้ว่า 2-3-2 ดังสมการที่ 2.4

$$Euler(\varphi, \theta, \varphi) = R_z(\varphi)R_y(\theta)R_z(\varphi)$$

$$Euler(\varphi, \theta, \varphi) = \begin{bmatrix} C\varphi & -S\varphi & 0 \\ S\varphi & C\varphi & 0 \\ 0 & 0 & 1 \end{bmatrix} \begin{bmatrix} 1 & 0 & 0 \\ 0 & C\theta & -S\theta \\ 0 & S\theta & C\theta \end{bmatrix} \begin{bmatrix} C\varphi & -S\varphi & 0 \\ S\varphi & C\varphi & 0 \\ 0 & 0 & 1 \end{bmatrix}$$

$$Euler(\varphi, \theta, \varphi) = \begin{bmatrix} C\varphi C\theta C\varphi - S\varphi S\varphi & -C\varphi C\theta S\varphi - S\varphi C\varphi & C\varphi S\theta \\ S\varphi C\theta C\varphi + C\varphi S\varphi & -S\varphi C\theta S\varphi + C\varphi C\varphi & S\varphi S\theta \\ -S\theta C\varphi & S\theta S\varphi & C\theta \end{bmatrix} \quad (2.4)$$

ดังนั้นการหมุนของเวกเตอร์  $n, o, a$  ณ จุดปลายของแขนกลเขียนอยู่ในรูปของ Euler Coordinates  $\varphi, \theta, \varphi$  ได้ดังสมการที่ 2.5

$$\begin{bmatrix} n_x & o_x & a_x \\ n_y & o_y & a_y \\ n_z & o_z & a_z \end{bmatrix} = \begin{bmatrix} C\phi C\theta C\varphi - S\phi S\varphi & -C\phi C\theta S\varphi - S\phi C\varphi & C\phi S\theta \\ S\phi C\theta C\varphi + C\phi S\varphi & -S\phi C\theta S\varphi + C\phi C\varphi & S\phi S\theta \\ -S\theta C\varphi & S\theta S\varphi & C\theta \end{bmatrix} \quad (2.5)$$

#### 2.4.5.7 การหมุนแบบ RPY (Saeed B. Niku, 2001)

การหมุนแบบ RPY การหมุนนี้เป็นการหมุน 3 แบบ คือ หมุนรอบแกน  $a, o, n$  ตามลำดับโดยมีข้อจำกัดว่าแกนปัจจุบันจะขนานไปกับแกนอ้างอิง ดังนั้นการหมุนจึงเหมือนกับการหมุนแกนอ้างอิงก่อนการหมุน RPY ถ้ากรณีแกนปัจจุบันไม่ขนานกับแกนอ้างอิง การหมุนขั้นสุดท้ายจะเป็น การรวมกันกับการหมุนก่อนหน้าและ Post Multiply ด้วย RPY ลำดับของการหมุน

ประกอบไปด้วย

Roll เป็นการหมุนรอบแกน Z ที่เคลื่อนที่ หรือแกน  $a$

Pitch เป็นการหมุนรอบแกน Y ที่เคลื่อนที่ หรือแกน  $o$

Yaw เป็นการหมุนรอบแกน X ที่เคลื่อนที่ หรือแกน  $n$

เมตริกซ์การหมุนแบบ Roll-Pitch-Yaw สามารถพิจารณาจากสมการที่ 2.6

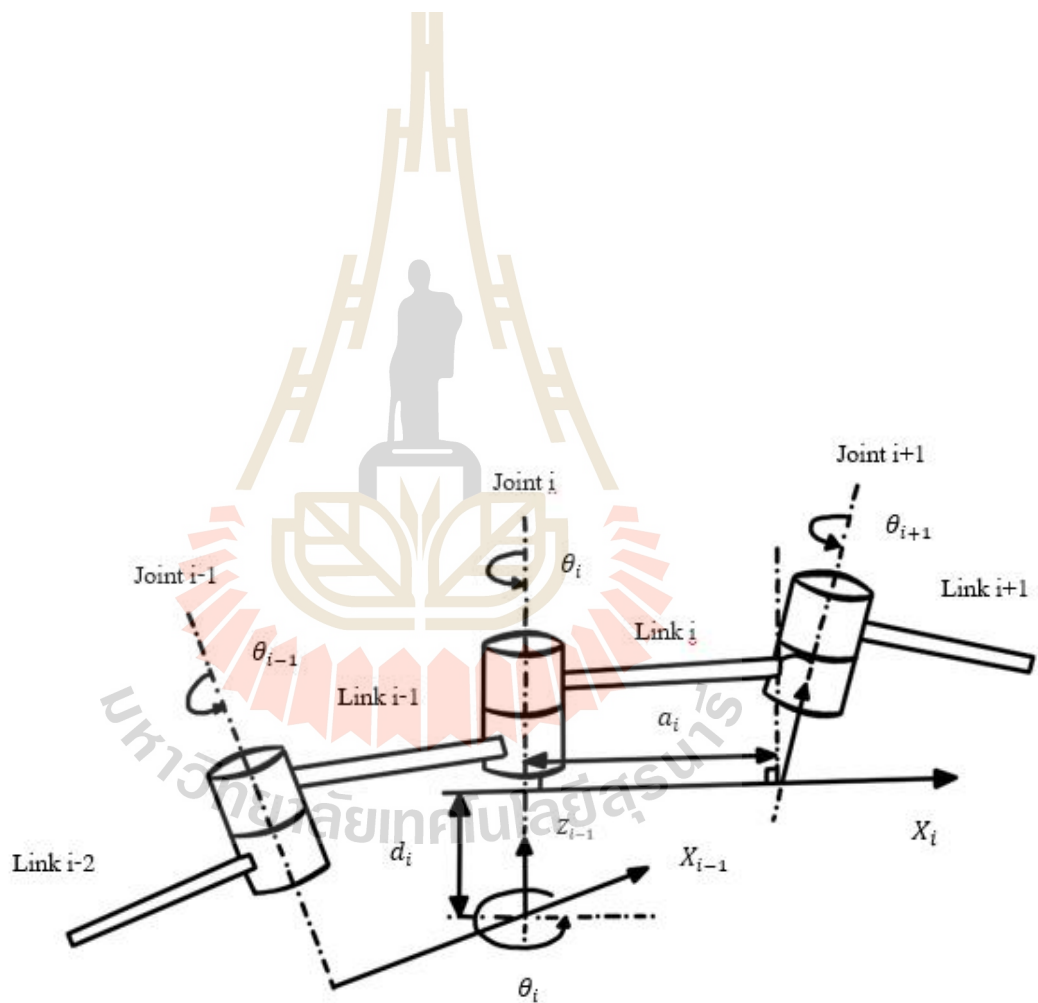
$$RPY(\gamma, \beta, \alpha) = R_z(\gamma)R_y(\beta)R_x(\alpha)$$

$$RPY(\gamma, \beta, \alpha) = \begin{bmatrix} C\gamma & -S\gamma & 0 \\ S\gamma & C\gamma & 0 \\ 0 & 0 & 1 \end{bmatrix} \begin{bmatrix} C\beta & 0 & S\beta \\ 0 & 1 & 0 \\ -S\beta & 0 & C\beta \end{bmatrix} \begin{bmatrix} 1 & 0 & 0 \\ 0 & C\alpha & -S\alpha \\ 0 & S\alpha & C\alpha \end{bmatrix}$$

$$RPY(\gamma, \beta, \alpha) = \begin{bmatrix} C\beta C\gamma & S\alpha S\beta C\gamma \cdot C\alpha S\gamma & C\alpha S\beta C\gamma + S\alpha S\gamma \\ C\beta S\gamma & S\alpha S\beta S\gamma + C\alpha C\gamma & C\alpha S\beta S\gamma \cdot S\alpha C\gamma \\ -S\beta & S\alpha C\beta & C\alpha C\beta \end{bmatrix} \quad (2.6)$$

คำตอบของการหมุนของเวกเตอร์  $a, o, n$  สามารถหาได้ดังสมการที่ 2.7

$$\begin{bmatrix} n_x & o_x & a_x \\ n_y & o_y & a_y \\ n_z & o_z & a_z \end{bmatrix} = \begin{bmatrix} C\beta C\gamma & S\alpha S\beta C\gamma \cdot C\alpha S\gamma & C\alpha S\beta C\gamma + S\alpha S\gamma \\ C\beta S\gamma & S\alpha S\beta S\gamma + C\alpha C\gamma & C\alpha S\beta S\gamma \cdot S\alpha C\gamma \\ -S\beta & S\alpha C\beta & C\alpha C\beta \end{bmatrix} \quad (2.7)$$



นิยาม

$a_i$  เป็น

ระยะ

$Z_{i-1}$  ถึง

$Z_i$  วัด

$X_i$

$d_i$  เป็น

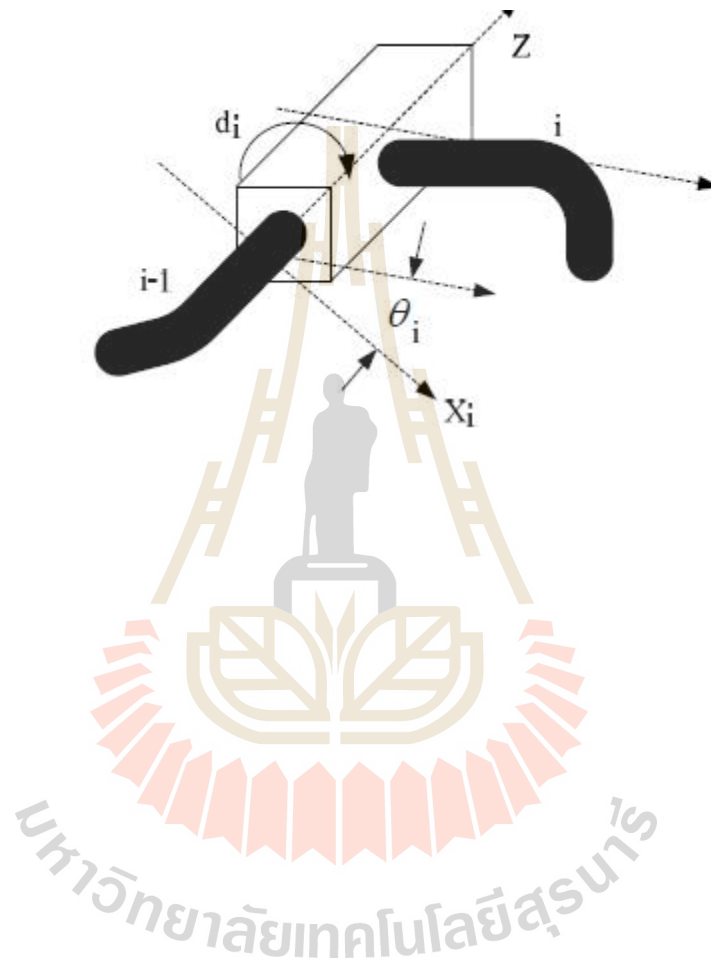
$a_i$  เป็น

$\theta_i$  เป็น

มุม  $X_{i-1}$  กับ แกน  $X_i$  วัด จากแนวแกน  $Z_{i-1}$

มุม  $Z_{i-1}$  กับ  $Z_i$  หรือ  $X_i$

$X_{i-1}$  กับ  $X_i$  หรือ  $Z_{i-1}$



ไปอีก 1 หลัก จะได้เมทริกซ์ใหม่เรียกว่า เมทริกซ์การแปลง (Transformation Matrix) โดยมีขนาด  $4 \times 4$  มีลักษณะ ดังนี้

$$T_{NA} = \begin{bmatrix} \text{Rotation}_{(3 \times 3)} & \text{Translation}_{(3 \times 1)} \\ 0 & 0 & 0 & 1 \end{bmatrix} = \begin{bmatrix} R & P \\ 0 & 0 & 0 & 1 \end{bmatrix} \quad (2.8)$$

โดย N คือ แกนอ้างอิงเริ่มต้น และ A คือ แกนอ้างอิงสุดท้ายเช่น วัตถุมีการหมุนรอบแกน X เป็นมุม  $\theta$  และเลื่อนไปยังตำแหน่ง (1,1,0) ที่ตำแหน่งของแกนอ้างอิงที่ 1 สามารถเขียนได้ ดังสมการที่ 2.9

$$T_{01} = \begin{bmatrix} 1 & 0 & 0 & 1 \\ 0 & \cos\theta & -\sin\theta & 1 \\ 0 & \sin\theta & \cos\theta & 0 \\ 0 & 0 & 0 & 1 \end{bmatrix} \quad (2.9)$$

เมทริกซ์การแปลงนั้นมีคุณสมบัติเช่นเดียวกับเมทริกซ์การหมุนคือ สามารถนำมาต่อกัน สำหรับ กรณีที่มีการเคลื่อนย้ายวัตถุในหลายๆ แกนอ้างอิง

$$T_{03} = T_{01}T_{12}T_{23} \quad (2.10)$$

จากสมการที่ 2.10 แสดงถึง  $T_{03}$  สามารถอ้างอิงจากแกนอ้างอิงที่ 1 ไปยังแกนอ้างอิงที่ 2 และแกนอ้างอิงที่ 3 อย่างไรก็ตามการหาอินเวอร์สของ  $T$  นั้นไม่เหมือนกับเมทริกซ์การหมุน เพราะเมทริกซ์การแปลงไม่มีคุณสมบัติออร์ทอโนมัลการหาอินเวิร์สเมทริกซ์  $T$

$$T^{-1} = \begin{bmatrix} R^T & (-R^T P) \\ 0 & 0 & 0 & 1 \end{bmatrix} \quad (2.11)$$

จากเมทริกซ์การแปลงเราสามารถเขียนอยู่ในรูปเมทริกซ์การเคลื่อนย้าย (Translation Matrix) เพียงอย่างเดียวดังสมการที่ 2.11



$$Trans_{(p_x, p_y, p_z)} = \begin{bmatrix} 1 & 0 & 0 & p_x \\ 0 & 1 & 0 & p_y \\ 0 & 0 & 1 & p_z \\ 0 & 0 & 0 & 1 \end{bmatrix} \quad (2.12)$$

ในทำนองเดียวกันยังสามารถเขียนเป็นเมตริกซ์การหมุนในแนวแกน X, Y และ Z ดังสมการที่ 2.13

$$RotX = \begin{bmatrix} 1 & 0 & 0 & 0 \\ 0 & \cos(\theta_x) & -\sin(\theta_x) & 0 \\ 0 & \sin(\theta_x) & \cos(\theta_x) & 0 \\ 0 & 0 & 0 & 1 \end{bmatrix}$$

$$RotY = \begin{bmatrix} \cos(\theta_y) & 0 & \sin(\theta_y) & 0 \\ 0 & 1 & 0 & 0 \\ -\sin(\theta_y) & 0 & \cos(\theta_y) & 0 \\ 0 & 0 & 0 & 1 \end{bmatrix}$$

$$RotZ = \begin{bmatrix} \cos(\theta_z) & -\sin(\theta_z) & 0 & 0 \\ \sin(\theta_z) & \cos(\theta_z) & 0 & 0 \\ 0 & 0 & 0 & 0 \\ 0 & 0 & 0 & 1 \end{bmatrix} \quad (2.13)$$

หากนำพารามิเตอร์ของ Denavit-Hartenberg มาเขียนเป็นเมตริกซ์การแปลงสามารถเขียนในรูปของการเรียงต่อกันของเมตริกซ์การเคลื่อนย้ายและเมตริกซ์การหมุนดังสมการที่ 2.14

$$T_{NA} = Trans(0,0,d_i)Rot_z(\theta_i)Rot_x(\alpha_i)Trans(a_i,0,0)$$

$$T_{NA} = \begin{bmatrix} 1 & 0 & 0 & 0 \\ 0 & 1 & 0 & 0 \\ 0 & 0 & 1 & d_i \\ 0 & 0 & 0 & 1 \end{bmatrix} \begin{bmatrix} C\theta_i & -S\theta_i & 0 & 0 \\ S\theta_i & C\theta_i & 0 & 0 \\ 0 & 0 & 1 & 0 \\ 0 & 0 & 0 & 1 \end{bmatrix}$$

$$\begin{bmatrix} 1 & 0 & 0 & 0 \\ 0 & C\alpha_i & -S\alpha_i & 0 \\ 0 & S\alpha_i & C\alpha_i & 0 \\ 0 & 0 & 0 & 1 \end{bmatrix} \begin{bmatrix} 1 & 0 & 0 & a_i \\ 0 & 1 & 0 & 0 \\ 0 & 0 & 1 & 0 \\ 0 & 0 & 0 & 1 \end{bmatrix} \quad (2.14)$$

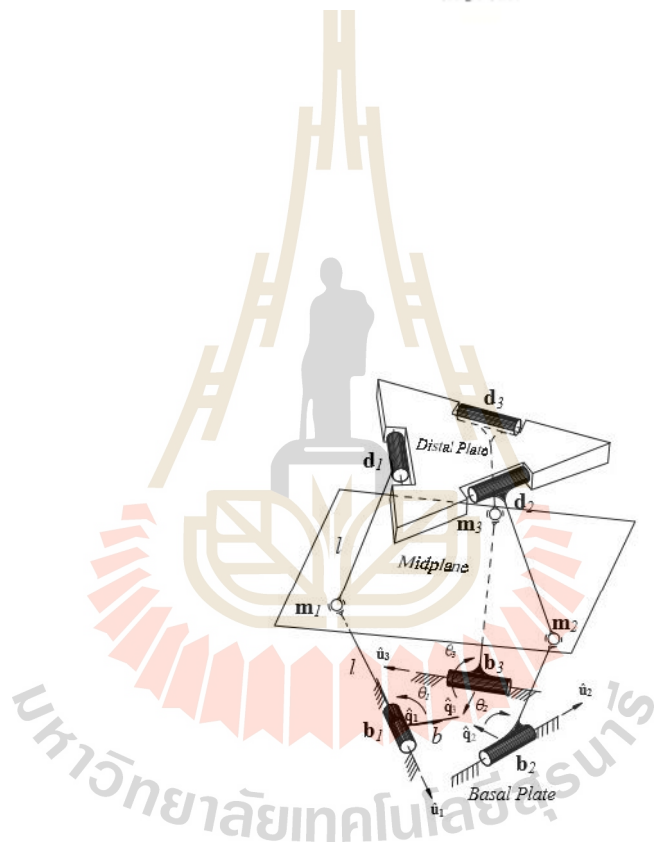
$$T_{NA} = \begin{bmatrix} C\theta_i & -C\alpha_i S\theta_i & S\alpha_i S\theta_i & a_i C\theta_i \\ S\theta_i & C\alpha_i C\theta_i & -S\alpha_i C\theta_i & a_i S\theta_i \\ 0 & S\alpha_i & C\alpha_i & d_i \\ 0 & 0 & 0 & 1 \end{bmatrix} \quad (2.15)$$

จากเมตริกซ์การแปลงซึ่งได้จาก D-H parameters เมื่อนำมาเทียบกับสมการที่ 2.15 พบว่า หากแบ่งเมตริกซ์ ออกเป็นส่วนแล้วพบว่าเมตริกซ์ย่อยที่มุมบนด้านซ้ายที่มีขนาด  $3 \times 3$  เป็นเมตริกซ์ การหมุนของก้านโยงที่  $i$  ส่วนเมตริกซ์ย่อยที่มุมบนด้านขวาที่มีขนาด  $3 \times 1$  เป็นเมตริกซ์ตำแหน่งของ ก้านโยง

## 2.5 โครงสร้างของหุ่นยนต์แบบ Canfield

จากการศึกษาบทความเรื่อง Development of the Carpal Wrist; a Symmetric, Parallel-Architecture Robotic Wrist โดยผู้วิจัยคือ Stephen Lee Canfield ซึ่งเป็นหุ่นยนต์แบบขนานอีก 1 แบบที่ได้ถูกสร้างขึ้นมาเพื่อพัฒนาให้นำไปใช้งานได้หลากหลาย และทางองค์การบริหารการบิน และอวกาศแห่งชาติ (NASA) ได้มีการนำหุ่นยนต์แบบขนานนี้ไปประยุกต์ใช้ในการขับเคลื่อนยาน อวกาศให้ไปในทิศทาง (pitch-yaw-plunge) ที่ต้องการ เพื่อเป็นเกียรติแก่ผู้สร้างจึงได้ตั้งชื่อหุ่นยนต์ ชนิดนี้ว่า “Canfield joint” ซึ่ง Canfield มาจากชื่อของผู้สร้างนั่นเอง นอกจากนี้หุ่นยนต์แบบขนาน ยังเป็นอีกหนึ่งวิธีในการแก้ปัญหาที่ได้รับการรับรองในการจดสิทธิบัตร canfield joint ได้ถูก นำไปใช้ในการควบคุมแขน 3 แขน อย่างอิสระ ลักษณะของ Canfield joint จะประกอบไปด้วยแผ่น รูปสามเหลี่ยมสองแผ่น จะวางตัวตั้งฉากในแนวขนานกันบนทิศทางในแนวแกน Z โดยแต่ละแขน จะประกอบไปด้วยข้อต่อแบบหมุน (revolt joint) 2 ตัว สามารถหมุนได้แบบบานพับ ข้อต่อนี้จะติด อยู่ที่ฐานบนและฐานล่างเพื่อเชื่อมต่อ ก้าน(link) นั้น

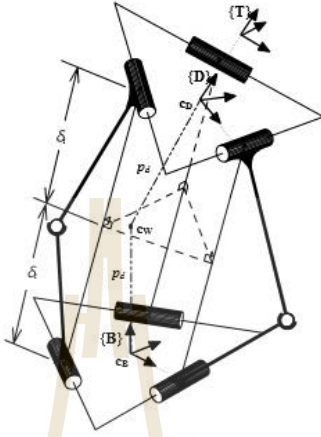
ส่วนความพิเศษของ Canfield joint คือการนำข้อต่อแบบหมุน (Spherical) มาเชื่อมต่อตรง กลางระหว่าง ก้าน 2 ก้าน ส่งผลให้หุ่นยนต์สามารถควบคุมแขนได้อย่างเป็นอิสระและหลากหลาย ทิศทาง ทิศทางในการเคลื่อนที่จะเป็นในรูปแบบของครึ่งทรงกลม นอกจากนี้การชี้ตำแหน่งแบบ ครึ่งทรงกลมสามารถควบคุมได้อย่างอิสระ มันจะสามารถเคลื่อนที่ได้ต้องมีมอเตอร์ในการ กระตุ้น ทั้งหมด 3 ตัว แบบจำลองของ Canfield Joint [7]สามารถดูได้จาก รูปที่ 2.14



$\hat{u} \hat{u} \hat{u}$

$\hat{d} \hat{d} \hat{d}$

$\hat{u} \quad \hat{u} \quad \hat{u} \quad \dots \quad \dots \quad \dots$



" " " "

111

$$i = \hat{u}_{i,\theta_i} l \hat{q}_i + i$$

ที่  $R_{[\hat{q}_i, \theta_i]}$  แทนด้วยการหมุนรอบแกนเวกเตอร์หนึ่งหน่วย  $\hat{u}_i$  เป็นมุม  $\theta_i$  และ  $\hat{q}_i$  คือเวกเตอร์ที่ตั้งฉากกับเวกเตอร์หนึ่งหน่วย  $\hat{u}_i$  ที่อยู่บนแผ่นฐาน ดังที่แสดงในรูปที่ 1 จากนั้นทำการหาสัมประสิทธิ์ปรับระนาบ  $A_m, B_m, C_m$  ของ mid-plane

$$[A_m, B_m, C_m]^T = (m_2 - m_1) \times (m_3 - m_2) \quad (2.33)$$

หาเวกเตอร์ตั้งฉากบน mid-plane ด้วยสมการ

$$\hat{N}_m = \frac{[A_m, B_m, C_m]^T}{\sqrt{A_m^2 + B_m^2 + C_m^2}} \quad (2.34)$$

หลังจากนั้นจะสามารถหาระยะที่ตั้งฉากจากตำแหน่ง  $b_1, b_2, b_3$  ไปยัง mid-plane ได้

$$\delta_i = \hat{N}_m \cdot m_i - b_i \quad i = 1 \dots 3 \quad (2.35)$$

ดังนั้นระยะทางที่ตั้งฉากจากตำแหน่ง  $b_1, b_2, b_3$  ไปยังตำแหน่ง  $d_1, d_2, d_3$  จะมีค่าเท่ากับ  $2(\delta_i)$  เพราะฉะนั้นที่ตำแหน่ง  $d_1, d_2, d_3$  สามารถหาได้จากสมการ

$$d_i = b_i + 2\delta_i \hat{N}_m \quad i = 1 \dots 3 \quad (2.36)$$

หาพิกัดที่อยู่บนจุดกึ่งกลางของเฟรมแผ่นปลายและเฟรมเครื่องมือได้จาก

$$c_D = c_T = (d_1 + d_2 + d_3)/3 \quad (2.37)$$

ที่แกน  $x, y, z$  สามารถหาเวกเตอร์ในแต่ละแกนได้ดังนี้

$$\hat{x}_D = \frac{d_1 - c_T}{|d_1 - c_T|} \quad (2.38)$$

$$\hat{y}_D = -\hat{x}_D - \hat{z}_D \quad (2.39)$$

$$\hat{z}_D = \frac{(d_2 - d_1) \times (d_3 - d_2)}{|(d_2 - d_1) \times (d_3 - d_2)|} \quad (2.40)$$

ดังนั้น เมตริกซ์ของการหมุนที่มุม  $\theta_1, \theta_2, \theta_3$  จากเฟรมแผ่นฐาน {B} ไปยังเฟรมแผ่นปลาย {D}

จะได้ว่า

$${}^B R_D = \begin{bmatrix} \hat{x}_{Dx} & \hat{y}_{Dx} & \hat{z}_{Dx} \\ \hat{x}_{Dy} & \hat{y}_{Dy} & \hat{z}_{Dy} \\ \hat{x}_{Dz} & \hat{y}_{Dz} & \hat{z}_{Dz} \end{bmatrix} \quad (2.41)$$

### 2.5.2 จลนศาสตร์แบบผกผัน (Inverse Kinematic)

ปัญหาจลนศาสตร์แบบผกผันเราจะทราบถึงพิกัดที่หุ่นยนต์เคลื่อนที่ไปถึง และระยะที่ยืดหรือยุบของแผ่นปลาย ดังนั้นสิ่งที่ต้องการหาคือ  $\theta_1, \theta_2, \theta_3$  ของข้อต่อการหมุนบนแผ่นฐาน

พิจารณาจุด midpoint ( $m_1$ ) ในรูปที่ 2.28 จะเป็นตำแหน่งของข้อต่อแบบ spherical ซึ่งข้อต่อแบบนี้จะสามารถเคลื่อนที่ได้ 2 องศาอิสระ ณ ตำแหน่งของข้อต่อนี้จะกำหนดให้เป็นเวกเตอร์  $\hat{u}_{bend}$  และกำหนดให้มุม  $\emptyset$  คือมุมของการคด ดังที่แสดงในรูปที่ 2.29 ดังนั้นต้องเริ่มจากการหาค่า  $\hat{u}_{bend}$  และ  $\emptyset$

จะได้ว่า

$$\hat{u}_{bend} = \frac{\hat{z}_T \times \hat{z}_B}{|\hat{z}_T \times \hat{z}_B|} \quad (2.43)$$

$$\emptyset = \cos^{-1}(\hat{z}_T \cdot \hat{z}_B) \quad (2.45)$$

ที่  $\hat{z}_B$  และ  $\hat{z}_T$  คือเวกเตอร์ของแกน z บนเฟรมแผ่นฐาน {B} และเฟรมเครื่องมือ {T} ตามลำดับ

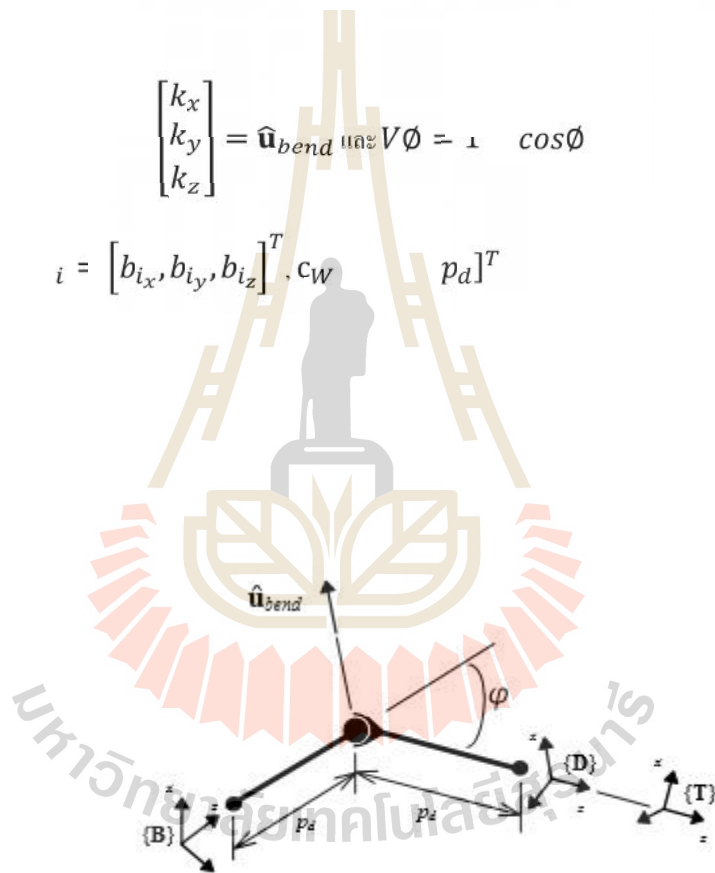
รูป 10.11

$$i = \hat{u}_{bend, \phi_i}^C i$$

$$R_{(\hat{u}_{bend, \phi_i})} = \begin{bmatrix} k_x k_x V\phi + \cos\phi & k_x k_y V\phi - k_z \sin\phi & k_x k_z V\phi + k_y \sin\phi \\ k_x k_y V\phi + k_z \sin\phi & k_y k_y V\phi + \cos\phi & k_y k_z V\phi - k_x \sin\phi \\ k_x k_z V\phi - k_y \sin\phi & k_y k_z V\phi + k_x \sin\phi & k_z k_z V\phi + \cos\phi \end{bmatrix} \quad (17)$$

$$\begin{bmatrix} k_x \\ k_y \\ k_z \end{bmatrix} = \hat{u}_{bend} \text{ และ } V\phi = 1 \quad \cos\phi$$

$$i = [b_{ix}, b_{iy}, b_{iz}]^T, c_w \quad p_d]^T$$



แบบ: ลอดของขี้

$$p_i = d_i + b_i)$$

นั่น วกเตอร์ที่ตั้งฉากกับ ระนาบ ขนมา ได้จากร

$$N_m \quad A_m, B_m, C_m]^T = p_2 - p_1) \quad p_3 - p_1), D_m = N_m \quad p_1$$

ต่อจากนั้นเราต้องการหาจุด  $\mathbf{m}_1, \mathbf{m}_2, \mathbf{m}_3$  ซึ่งในขั้นตอนนี้จะมีความซับซ้อนต้องหาจากสมการดังต่อไปนี้

$$|\mathbf{m}_i - \mathbf{b}_i| = l,$$

$$A_c m_{ix} + E_c m_{iy} + C_c m_{iz} + D_c = 0 \quad i=1...3 \quad (2.52)$$

$$A_m m_{ix} + B_m m_{iy} + C_m m_{iz} + D_m = 0$$

เมื่อได้  $\mathbf{m}_1, \mathbf{m}_2, \mathbf{m}_3$  จะสามารถหาค่ามุม ของแกนที่แผ่ฐานกระทำกับเวกเตอร์หนึ่งหน่วย  $\hat{\mathbf{q}}_i$

$$\theta_i = \cos^{-1} \left[ \frac{(\mathbf{m}_i - \mathbf{b}_i) \cdot \hat{\mathbf{q}}_i}{|\mathbf{m}_i - \mathbf{b}_i|} \right] \quad i = 1...3 \quad (2.53)$$

ปัญหาสำคัญของหุ่นยนต์แบบขนานชนิดนี้คือการหามุม  $\theta_r$  ซึ่งสามารถหาได้จากมุมที่เกิดขึ้นระหว่างเวกเตอร์ของแกน  $\hat{\mathbf{x}}_D$  และเวกเตอร์ของแกน  $\hat{\mathbf{x}}_T$  กระทำต่อกัน ดังสมการ

$$\theta_r = \cos^{-1}(\hat{\mathbf{x}}_D \cdot \hat{\mathbf{x}}_T) \quad (2.54)$$

**สรุป** การสร้างแบบจำลองทางคณิตศาสตร์ของหุ่นยนต์แบบขนานชนิดข้อมือ, *Stephen Lee Canfield (1997)* ต้องใช้ทั้งสมการจลนศาสตร์แบบไปข้างหน้าและแบบผกผันควบคู่กันไป เพื่อนำไปสู่การหาพื้นที่การทำงานของหุ่นยนต์รวมถึงการออกแบบเพื่อสร้างแบบจำลองเพื่อนำไปประยุกต์ใช้ได้จริงต่อไป



## บทที่ 3

### วิธีดำเนินงานวิจัย

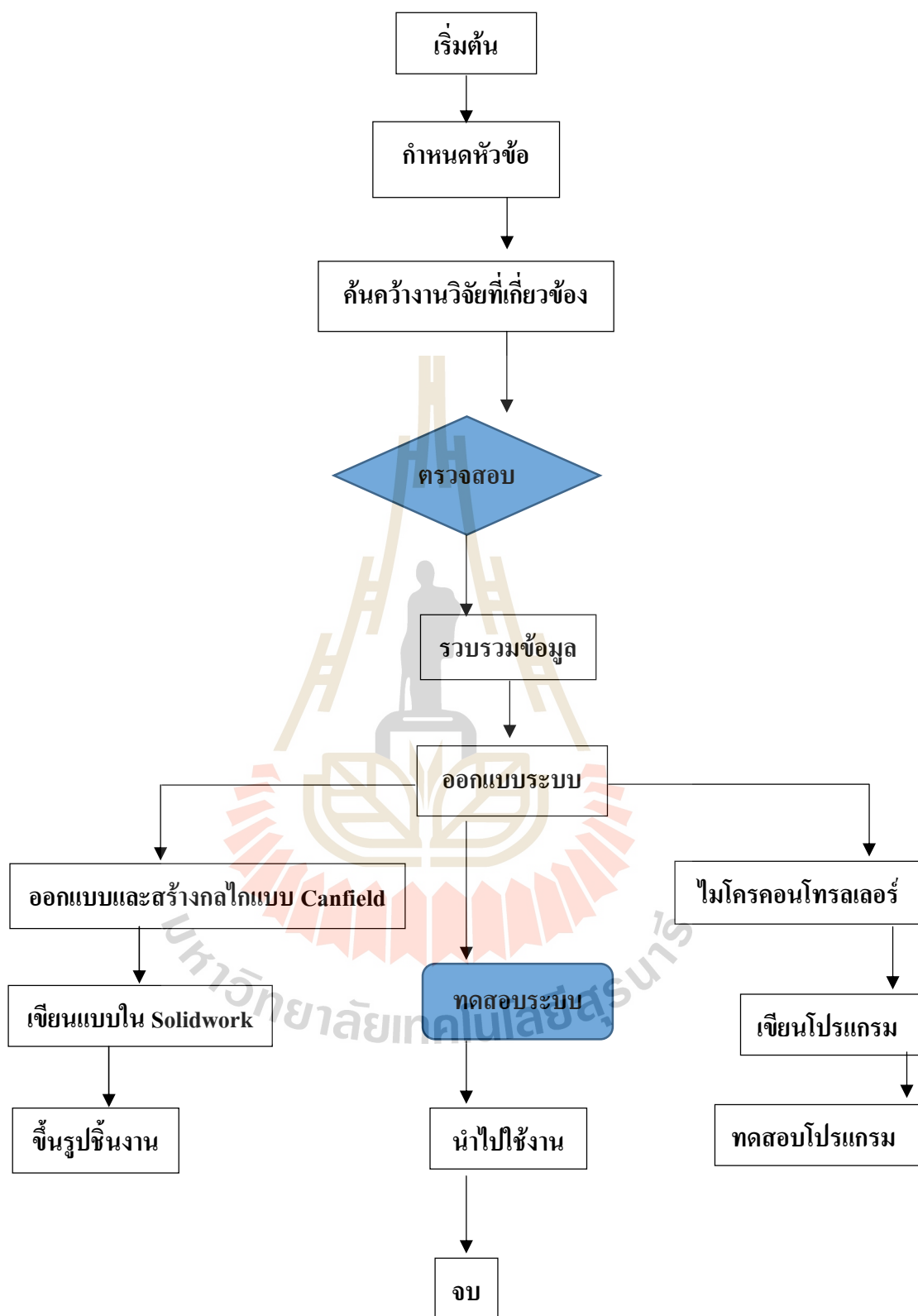
#### 3.1 แผนการดำเนินงานวิจัย

งานวิจัยนี้ได้ทำการออกแบบและสร้างต้นแบบด้วยกลไก Canfield เพื่อประยุกต์ใช้กับแสงอาทิตย์ โดยทำการศึกษาและหาข้อมูลการทำงานของ Servo motor และไมโครคอนโทรลเลอร์ศึกษาด้านจลน์ศาสตร์วิศวกรรมและการออกแบบด้านกลศาสตร์ของแขนหุ่นยนต์ ออกแบบและคำนวณหาขนาดมอเตอร์และขนาดของแขนต่างๆเพื่อกำหนดข้อกำหนดต่างๆ ของอุปกรณ์เพื่อความเหมาะสมในการสร้างกลไกแบบ Canfield

##### 3.1.1 ขั้นตอนในการทำวิจัย

การออกแบบและสร้างกลไกแบบ Canfield เพื่อประยุกต์ใช้กับแสงอาทิตย์ เริ่มจากการค้นคว้าข้อมูล งานที่ได้ปฏิบัติต่างๆ ดังแสดงในแผนผังรูปภาพที่ 3.1 ตามแผนดำเนินงานของงานวิจัยเป็นการทำงานตามขั้นตอนที่วางไว้

- 3.1.1.1 ศึกษาค้นคว้าองค์ความรู้ ทฤษฎี เอกสารที่เกี่ยวข้อง
- 3.1.1.2 รวบรวมข้อมูลที่จะใช้งาน
- 3.1.1.3 ออกแบบชิ้นส่วนหลักของหุ่นยนต์
- 3.1.1.4 ออกแบบระบบควบคุม
- 3.1.1.5 จัดหาวัสดุอุปกรณ์ตามที่ได้ออกแบบ
- 3.1.1.6 เขียนโปรแกรมในการควบคุมหุ่นยนต์แบบ Canfield
- 3.1.1.7 ทดสอบการทำงานและเก็บข้อมูล
- 3.1.1.8 รวบรวมข้อมูล วิเคราะห์และสรุปผลการวิจัย
- 3.1.1.9 จัดทำรูปเล่มวิทยานิพนธ์ฉบับสมบูรณ์



รูปที่ 3.1 แผนผังขั้นตอนการดำเนินงานวิจัย



ขนาด : สูง 42.9 mm, กว้าง 19.8 mm และ ยาว 40.6 mm

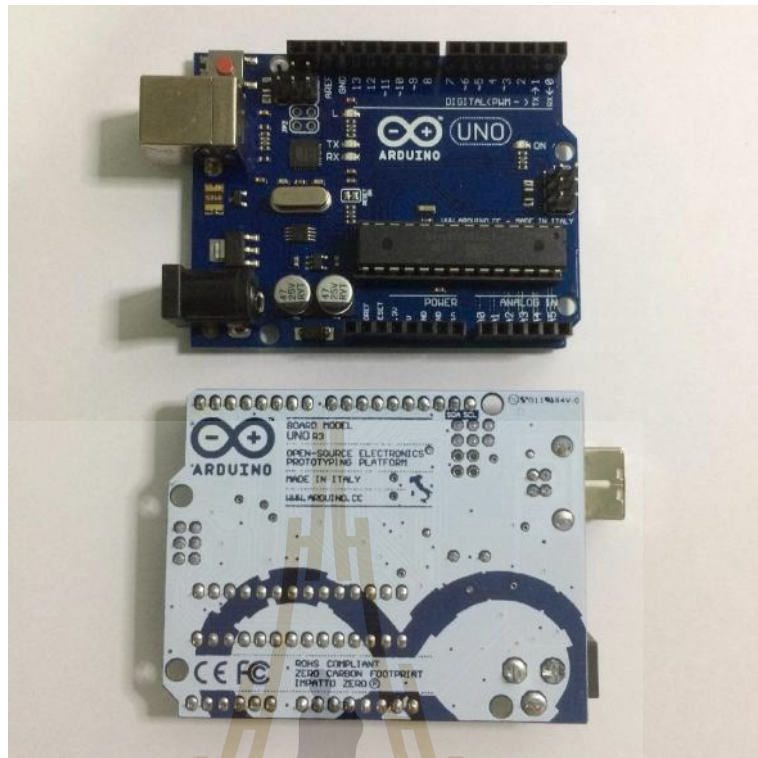
น้ำหนัก : 55 กรัม

ชนิดของเฟือง : เหล็ก

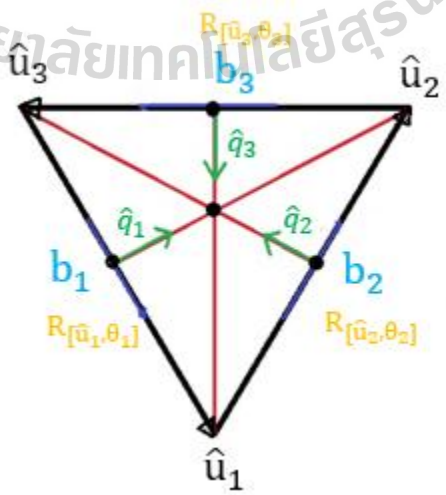
มอเตอร์ไฟฟ้า (electric motor) เป็นอุปกรณ์ไฟฟ้าที่แปลงพลังงานไฟฟ้าเป็นพลังงานกล การทำงานปกติของมอเตอร์ไฟฟ้าส่วนใหญ่เกิดจากการทำงานร่วมกันระหว่างสนามแม่เหล็กของแม่เหล็กในตัวมอเตอร์ และสนามแม่เหล็กที่เกิดจากกระแสในขดลวดทำให้เกิดแรงดันและแรงผลักของสนามแม่เหล็กทั้งสอง ในการใช้งานตัวอย่างเช่น อุตสาหกรรมการขนส่งที่ใช้มอเตอร์ขับเคลื่อน เป็นต้น นอกจากนั้นแล้ว มอเตอร์ไฟฟ้ายังสามารถทำงานได้ถึงสองแบบ ได้แก่ การสร้างพลังงานกล และการผลิตพลังงานไฟฟ้า มอเตอร์ไฟฟ้าถูกนำไปใช้งานที่หลากหลายเช่น พัดลมอุตสาหกรรม เครื่องเป่า ปัมป์ เครื่องมือเครื่องใช้ในครัวเรือน และดิสก์ไดรฟ์ มอเตอร์ไฟฟ้าสามารถขับเคลื่อนโดยแหล่งจ่ายกระแสไฟกระแสตรง (DC) เช่น จากไฟบ้าน อินเวอร์เตอร์ หรือ เครื่องปั่นไฟ มอเตอร์ขนาดเล็กอาจพบในนาฬิกาไฟฟ้า มอเตอร์ทั่วไปที่มีขนาดและคุณลักษณะมาตรฐานสูงจะให้พลังงานกลที่สะดวกสำหรับใช้ในอุตสาหกรรม

### 3.2.2 ไมโครคอนโทรลเลอร์

ไมโครคอนโทรลเลอร์ Arduino Uno ในงานวิจัยนี้จะทำหน้าที่ในการประมวลผลและควบคุมการทำงานด้วยการเขียนโปรแกรมภาษาซีเพื่อสร้างอัลกอริทึมในการควบคุมอุปกรณ์ต่างๆ



มหาวิทยาลัยเทคโนโลยีสุรนารี



ตัวอย่างการคำนวณ : กำหนดให้สามเหลี่ยมด้านเท่ามีความยาวแต่ละด้านเท่ากับ 17 ซม.

: กำหนดให้มุมทูลมุมเท่ากับ 60 องศา ความยาวของก้านเท่ากับ 17 ซม.

$$\text{จะได้ว่า } b_1 = \{-5.5, -2.25, 0\}^T, b_2 = \{5.5, -2.25, 0\}^T, b_3 = \{0, 4.8, 0\}^T$$

$$\hat{u}_1 = \{0.4993, -0.8664, 0\}^T, \hat{u}_2 = \{0.4993, 0.8664, 0\}^T, \hat{u}_3 = \{-1, 0, 0\}^T$$

$$\hat{q}_1 = \{0.8664, 0.4993, 0\}^T, \hat{q}_2 = \{-0.8664, -0.4993, 0\}^T, \hat{q}_3 = \{0, -1, 0\}^T$$

หาจุด midpoint จากสมการที่ 3.1

$$m_i = R_{[\hat{u}_i, \theta_i]} l \hat{q}_i + b_i \quad (3.1)$$

$$\text{เมื่อ } R_{[\hat{u}_i, \theta_i]} = \begin{bmatrix} \hat{u}_{ix}^2 V \theta_i + C \theta_i & \hat{u}_{ix} \hat{u}_{iy} V \theta - \hat{u}_{iz} S \theta & \hat{u}_{ix} \hat{u}_{iy} V \theta + S \theta \\ \hat{u}_{ix} \hat{u}_{iy} V \theta + \hat{u}_{iz} S \theta & \hat{u}_{iy}^2 V \theta_i + C \theta_i & \hat{u}_{iy} \hat{u}_{iz} V \theta - \hat{u}_{ix} S \theta \\ \hat{u}_{iy} \hat{u}_{iz} V \theta - \hat{u}_{ix} S \theta & \hat{u}_{iy} \hat{u}_{iz} V \theta + \hat{u}_{ix} S \theta & \hat{u}_{iz}^2 V \theta_i + C \theta_i \end{bmatrix} \quad (3.2)$$

$$**v\theta = (1 - \cos\theta)$$

เมื่อแทนค่าในสมการดังกล่าวแล้วจะได้ค่า  $m_1, m_2, m_3$  ออกมา ซึ่งเป็นค่าของจุด midpoint ทั้ง 3 จุดที่อยู่บนระนาบกึ่งกลางระหว่างแผ่นฐานและแผ่นปลาย

$$m_1 = \{0.1521, 0.0313, 5.3042\}^T$$

$$m_2 = \{-0.1521, 0.0313, 5.3042\}^T$$

$$m_3 = \{0, -0.0625, 5.3044\}^T$$

จากนั้นทำการหาค่าสัมประสิทธิ์ของระนาบที่อยู่กึ่งกลางระหว่างแผ่นฐานและแผ่นปลาย โดยใช้สมการ 3.3 พบว่า

$$[A_m, B_m, C_m]^T = (m_2 - m_1) \times (m_3 - m_2) = \{0, 0.0001, 0.0285\}^T \quad (3.3)$$

หาเวกเตอร์ตั้งฉากกับระนาบกึ่งกลาง

$$\hat{N}_m = \frac{[A_m, B_m, C_m]^T}{\sqrt{A_m^2 + B_m^2 + C_m^2}} = \begin{Bmatrix} 0 \\ 0 \\ 1 \end{Bmatrix} \quad (3.4)$$

ผ่าน ข่ายใย เส้นใย กระจก

$$\delta_i = \hat{N}_m \mathbf{m}_i - \mathbf{b}_i$$

$$\delta_1 : \quad \delta_2 : \quad \delta_3 :$$

ได้จากตำแหน่ง  $b_1, b_2, b_3$

$d_1, d_2, d_3$

$2\delta_i$

$d_1, d_2, d_3$  สามารถหาจาก สมการ 3

$$\mathbf{d}_i = \mathbf{b}_i + 2\delta_i \hat{N}_m$$

$\mathbf{d}_1 =$

$T, d_2 =$

$T, d_3 =$

$T$

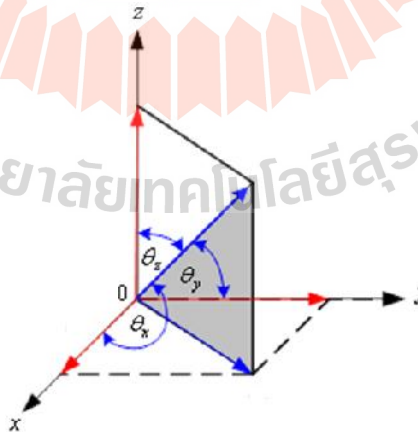
กลาง เฟร ผ่าน ข่ายใย เฟร

$$c_D : c_T : (d_1 - d_2 - d_3)$$

$c_D : c_T :$

$T$

มหาวิทยาลัยเทคโนโลยีสุรนารี



สมการ 3

$\vec{a}(x, y, z)$

จากรูปที่ 3.5 ถ้า ถ้า  $\vec{A}$  อยู่บน ระบบพิกัดฉาก  $x; y; z$  โดยที่  $\vec{A}$  ทำมุม  $\theta_x; \theta_y; \theta_z$  กับแกน  $z$  ตามลำดับ ส่วนประกอบ  $\vec{A}$  บนระนาบ  $xy$  และ  $z$  คือ

$$\begin{aligned}\vec{A} &= \vec{A}_{xy} + \vec{A}_z \\ &= \vec{A}_x + \vec{A}_y + \vec{A}_z \\ \vec{A}_{xy} &= \vec{A}_x + \vec{A}_y \\ A_x &= A \cos \theta_x \\ A_y &= A \cos \theta_y \\ A_z &= A \cos \theta_z\end{aligned}$$

ทิศทางของเวกเตอร์  $\vec{A}$  หาได้โดยใช้โคไซน์บอกทิศ (direction cosine) โดยที่

$$\cos \theta_x = \frac{A_x}{A}; \cos \theta_y = \frac{A_y}{A}; \cos \theta_z = \frac{A_z}{A}$$

ดังนั้น เมื่อแทนคำตอบที่ได้จากการหาสมการที่ 3.7 จะได้ว่า

$$\theta_x = \cos^{-1} \frac{x}{\sqrt{x^2+y^2+z^2}} = 90^\circ$$

$$\theta_y = \cos^{-1} \frac{y}{\sqrt{x^2+y^2+z^2}} = 90^\circ$$

$$\theta_z = \cos^{-1} \frac{z}{\sqrt{x^2+y^2+z^2}} = 0^\circ$$

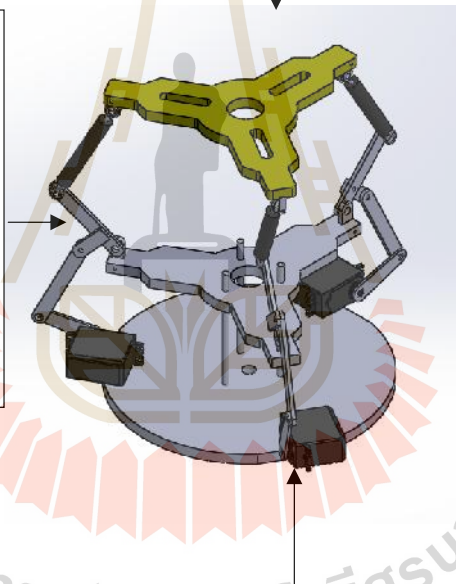
มหาวิทยาลัยเทคโนโลยีสุรนารี



**แนวคิดในการสร้างกลไกแบบ Canfield พิจารณาจาก**

1. น้ำหนักของแขน เปรียบเทียบกับขนาดของเซอร์โวมอเตอร์ (Servo Motor)
2. ความแข็งแรงทนทาน
3. ราคาและงบประมาณในการสร้าง

**โครงสร้างกลไกแบบ Canfield** ควรเลือกใช้วัสดุที่มีน้ำหนักเบา ราคาไม่สูงมากสำหรับทำชิ้นส่วนของกลไก เช่น อะคริลิก (Acrylic)

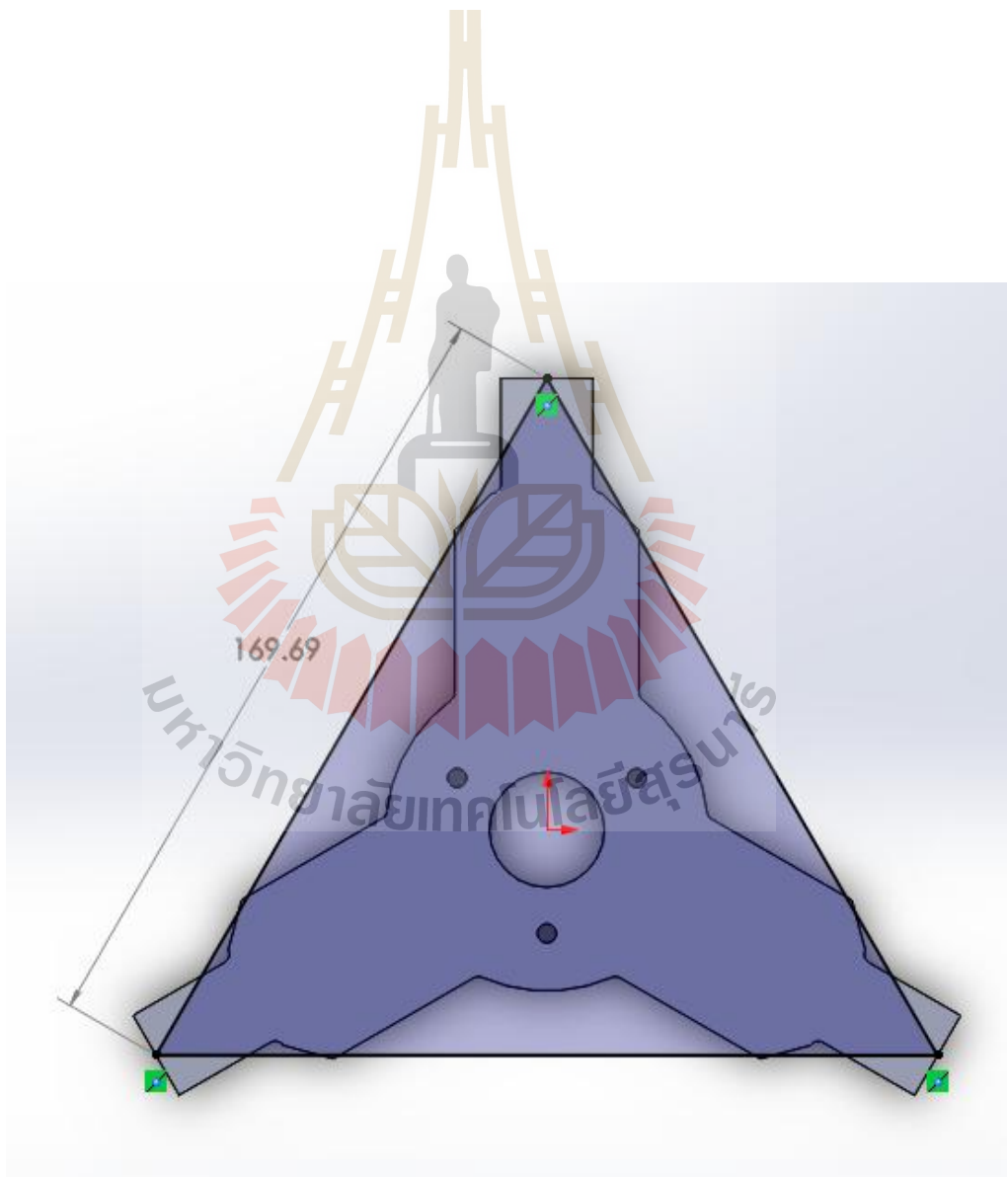


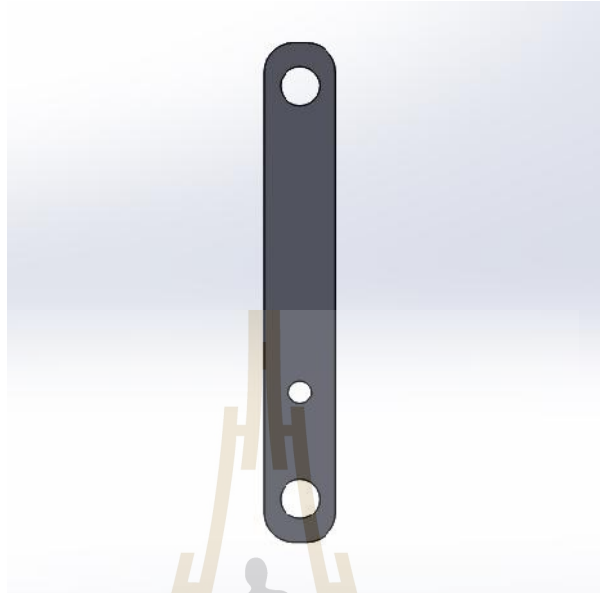
**การเลือกชุดต้นกำลัง**

การเลือกใช้มอเตอร์ให้เหมาะสมกับงานนั้น ควรเลือกมอเตอร์ที่มีแรงบิดสูงซึ่งไม่จำเป็นต้องมีความเร็วรอบสูง

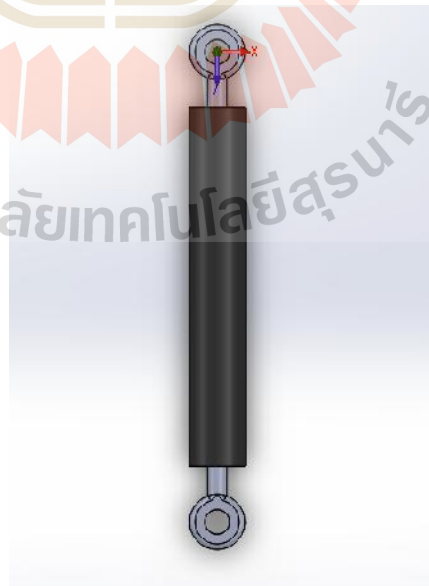
**พื้นที่การทำงาน**

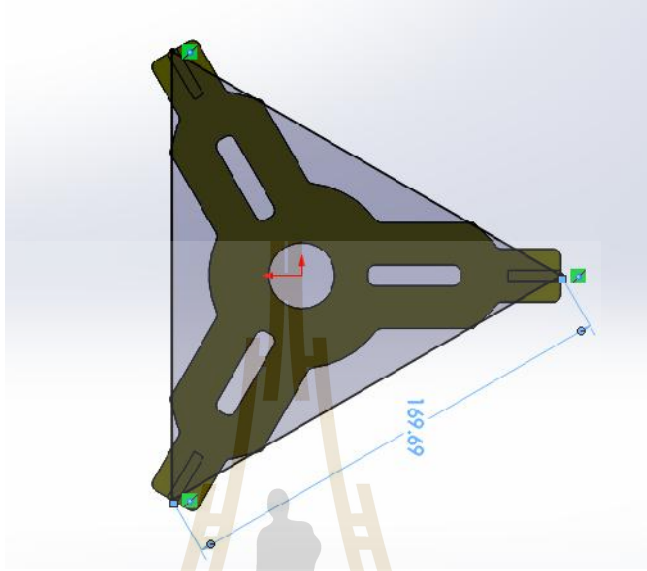
พื้นที่การทำงานสามารถคำนวณได้จากสมการจลนศาสตร์ (Kinematics) ของหุ่นยนต์รูปทรงแบบขนาน (Parallel Robot)





มหาวิทยาลัยเทคโนโลยีสุรนารี





มหาวิทยาลัยเทคโนโลยีราชมงคล

### 3.5 การออกแบบโปรแกรมเพื่อใช้ควบคุมหุ่นยนต์ Canfield

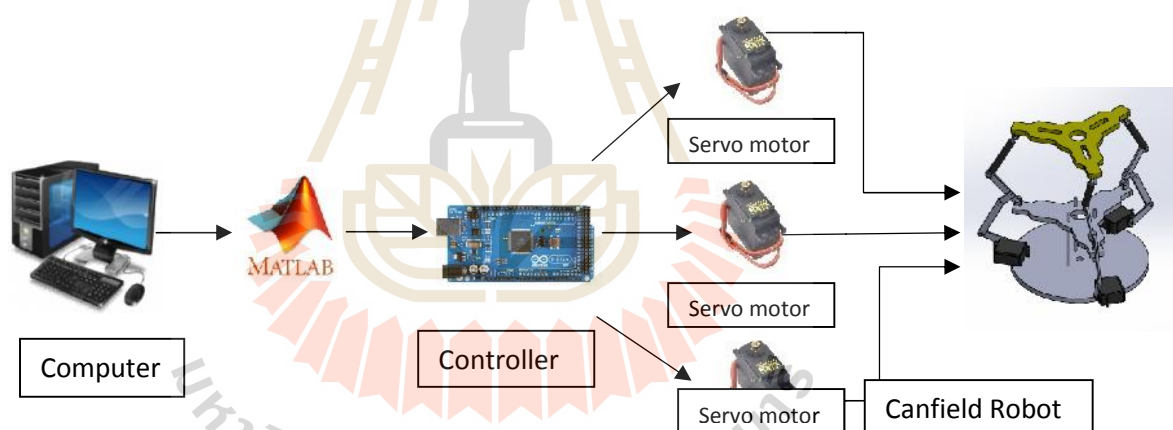
ขั้นตอนก่อนที่จะออกแบบระบบควบคุมนั้นต้องมีการติดตั้งและประกอบอุปกรณ์ต่างๆ เข้าด้วยกันเพื่อที่จะให้หุ่นยนต์เคลื่อนที่สามารถทำงานได้ตามที่กำหนด โดยมีการเชื่อมต่ออุปกรณ์ต่างๆดังนี้

3.5.1 ติดตั้งมอเตอร์ Servo motor จำนวน 3 ตัว เพื่อใช้ในการบังคับการเคลื่อนที่ขึ้นลงของแขนหุ่นยนต์กลไกแบบ Canfield

3.5.2 ติดตั้งไดร์ฟขั้วมอเตอร์ทั้ง 3 ตัว ไว้แต่ละก้าน เพื่อใช้ในการขับเคลื่อนให้แขนของหุ่นยนต์เคลื่อนที่ สำหรับมอเตอร์แต่ละตัวรวมทั้งระบบแหล่งจ่ายไฟ 24 VDC เพื่อใช้เป็นอินพุตให้กับไดร์ฟมอเตอร์

3.5.3 ติดตั้งหน่วยประมวลผลกลางหรือคอมพิวเตอร์

3.5.4 ติดตั้งระบบคอนโทรลเลอร์เข้ากับคอมพิวเตอร์



รูปที่ 3.12 ภาพรวมการทำงานของระบบ

โครงสร้างหุ่นยนต์แบบ Canfield ฐานยึดมอเตอร์รูปสามเหลี่ยมส่วนล่างและฐานรูปสามเหลี่ยมยึดก้านโยงส่วนบน จะมีความสมมาตรคล้ายกันและก้านโยงแต่ละด้านที่เท่ากัน ซึ่งปลายแขนด้านล่างจะถูกยึดติดกับเฟลมอเตอร์ และอีกด้านของปลายแขนจะถูกยึดกับแขนด้านบนด้วยข้อต่อแบบ revolt ดังนั้นการเคลื่อนที่ไปพร้อมกันของสามก้านโยงด้านบนคู่ขนาน จะสามารถ

สร้างการเคลื่อนที่ตามจุดหรือตำแหน่งที่กำหนดโดยจะทดสอบให้เป็นการเคลื่อนที่ในแนวเชิงเส้นของแผ่นปลายแขนรูปสามเหลี่ยมที่เคลื่อนที่

### 3.5.6 การออกแบบโปรแกรมควบคุมแขนหุ่นยนต์แบบ Canfield

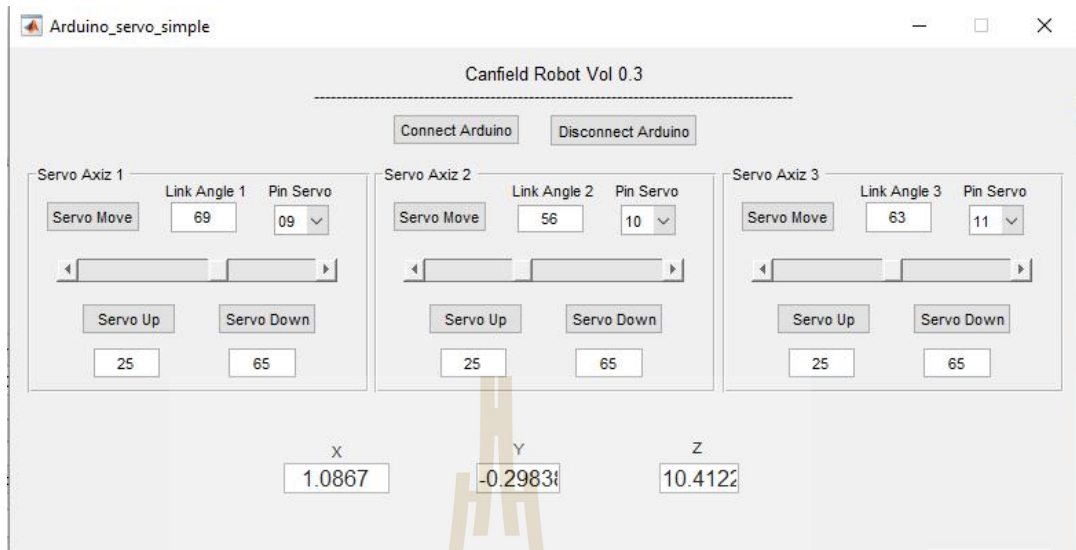
ในขั้นตอนสุดท้ายที่จะต้องออกแบบระบบควบคุมเข้าด้วยกัน เพื่อที่จะให้หุ่นยนต์เคลื่อนที่และสามารถทำงานได้ตามที่กำหนดได้อย่างมีประสิทธิภาพ โดยได้ใช้โปรแกรม MATLAB เป็นหน้า GUI สำหรับผู้ใช้งาน สั่งการผ่านบอร์ด Arduino ในการควบคุมหุ่นยนต์

## 3.6 อัลกอริทึมสำหรับประมวลผลเพื่อเชื่อมต่อข้อมูลระหว่างโปรแกรมกับหุ่นยนต์

งานวิจัยนี้ต้องการสร้างต้นแบบกลไกแบบ Canfield ที่สามารถเคลื่อนไหวได้ตามการเปลี่ยนแปลงที่เกิดขึ้น โดยสามารถนำไปประยุกต์ใช้งานต่อได้อย่างหลากหลาย จากการศึกษาข้อมูลผู้วิจัยเลือกออกแบบแผ่นเคลื่อนไหวได้ นั่นคือแผ่นปลายที่สามารถเคลื่อนที่ได้ 6 องศาอิสระ โดยใช้ซอฟต์แวร์ MATLAB ร่วมกับบอร์ด Microcontroller ยี่ห้อ Arduino รุ่น UNO R3 เป็นส่วนต่อประสาน (Interface) ให้แผ่นเคลื่อนไหวทำงานได้อย่างต่อเนื่อง

### 3.6.1 โปรแกรม MATLAB

จากการที่ได้วิเคราะห์แบบจำลองทางคณิตศาสตร์ด้วยโปรแกรม MATLAB ตามหลักการทางจลนศาสตร์ (Kinematic) แบบไปข้างหน้า (Forward Kinematic) นั่นคือเมื่อป้อนองศา ( $\theta_1, \theta_2, \theta_3$ ) ที่จุดหมุนบนพื้นฐานลงไป จะส่งผลให้ได้ค่าพิกัด X, Y, Z และมุม Orientation ( $\theta_x, \theta_y, \theta_z$ ) บนระนาบของแผ่นปลายที่มีการเปลี่ยนแปลงค่ามุมไปเรื่อยๆ และเพื่อง่ายต่อการใช้งาน ผู้วิจัยจึงได้เขียนโปรแกรมสำหรับผู้ใช้งาน (GUI) เพื่อเป็นส่วนเชื่อมประสานกับแผ่นเคลื่อนไหวให้สามารถทำงานได้อย่างต่อเนื่อง



$\theta_1, \theta_2, \theta_3$ )

```

1 % Include files
2 #include <Servo.h>
3 #include <AdaFruit_MotorShield.h>
4 #include <AdaFruit_I2CServoDriver.h>
5 #include <Servo.h>
6
7 // Define constants for the I2C address (see the I2C pin)
8 #if defined( AVR_ATmega1280 ) || defined( AVR_ATmega2560 )
9 #define I2C_ADDR 0x40
10 #else
11 #define I2C_ADDR 0x48
12 #endif
13
14 // Define encoder constants
15 #define ENCODER_A 0
16 #define ENCODER_B 1
17 #define ENCODER_C 2
18 #define ENCODER_D 3
19
20 // Create servo objects
21 AdaFruit_MotorShield AFS = AdaFruit_MotorShield();
22 AdaFruit_MotorShield AFS2 = AdaFruit_MotorShield(2);
23 AdaFruit_MotorShield AFS3 = AdaFruit_MotorShield(3);
24 AdaFruit_MotorShield AFS4 = AdaFruit_MotorShield(4);
25 AdaFruit_MotorShield AFS5 = AdaFruit_MotorShield(5);
26 AdaFruit_MotorShield AFS6 = AdaFruit_MotorShield(6);
27 AdaFruit_MotorShield AFS7 = AdaFruit_MotorShield(7);
28 AdaFruit_MotorShield AFS8 = AdaFruit_MotorShield(8);
29
30 // Create servo objects
31 Servo servo1(10);
32
33 // Create and initialize motor
34
35 // Create and initialize motor
36
37
38 // Create and initialize motor
39
40 // Create and initialize motor
41
42 // Create and initialize motor
43
44 // Create and initialize motor
45
46 // Create and initialize motor
47
48 // Create and initialize motor
49
50 // Create and initialize motor
51
52 // Create and initialize motor
53
54 // Create and initialize motor
55
56 // Create and initialize motor
57
58 // Create and initialize motor
59
60 // Create and initialize motor
61
62 // Create and initialize motor
63
64 // Create and initialize motor
65
66 // Create and initialize motor
67
68 // Create and initialize motor
69
70 // Create and initialize motor
71
72 // Create and initialize motor
73
74 // Create and initialize motor
75
76 // Create and initialize motor
77
78 // Create and initialize motor
79
80 // Create and initialize motor
81
82 // Create and initialize motor
83
84 // Create and initialize motor
85
86 // Create and initialize motor
87
88 // Create and initialize motor
89
90 // Create and initialize motor
91
92 // Create and initialize motor
93
94 // Create and initialize motor
95
96 // Create and initialize motor
97
98 // Create and initialize motor
99
100 // Create and initialize motor
101
102 // Create and initialize motor
103
104 // Create and initialize motor
105
106 // Create and initialize motor
107
108 // Create and initialize motor
109
110 // Create and initialize motor
111
112 // Create and initialize motor
113
114 // Create and initialize motor
115
116 // Create and initialize motor
117
118 // Create and initialize motor
119
120 // Create and initialize motor
121
122 // Create and initialize motor
123
124 // Create and initialize motor
125
126 // Create and initialize motor
127
128 // Create and initialize motor
129
130 // Create and initialize motor
131
132 // Create and initialize motor
133
134 // Create and initialize motor
135
136 // Create and initialize motor
137
138 // Create and initialize motor
139
140 // Create and initialize motor
141
142 // Create and initialize motor
143
144 // Create and initialize motor
145
146 // Create and initialize motor
147
148 // Create and initialize motor
149
150 // Create and initialize motor
151
152 // Create and initialize motor
153
154 // Create and initialize motor
155
156 // Create and initialize motor
157
158 // Create and initialize motor
159
160 // Create and initialize motor
161
162 // Create and initialize motor
163
164 // Create and initialize motor
165
166 // Create and initialize motor
167
168 // Create and initialize motor
169
170 // Create and initialize motor
171
172 // Create and initialize motor
173
174 // Create and initialize motor
175
176 // Create and initialize motor
177
178 // Create and initialize motor
179
180 // Create and initialize motor
181
182 // Create and initialize motor
183
184 // Create and initialize motor
185
186 // Create and initialize motor
187
188 // Create and initialize motor
189
190 // Create and initialize motor
191
192 // Create and initialize motor
193
194 // Create and initialize motor
195
196 // Create and initialize motor
197
198 // Create and initialize motor
199
200 // Create and initialize motor
201
202 // Create and initialize motor
203
204 // Create and initialize motor
205
206 // Create and initialize motor
207
208 // Create and initialize motor
209
210 // Create and initialize motor
211
212 // Create and initialize motor
213
214 // Create and initialize motor
215
216 // Create and initialize motor
217
218 // Create and initialize motor
219
220 // Create and initialize motor
221
222 // Create and initialize motor
223
224 // Create and initialize motor
225
226 // Create and initialize motor
227
228 // Create and initialize motor
229
230 // Create and initialize motor
231
232 // Create and initialize motor
233
234 // Create and initialize motor
235
236 // Create and initialize motor
237
238 // Create and initialize motor
239
240 // Create and initialize motor
241
242 // Create and initialize motor
243
244 // Create and initialize motor
245
246 // Create and initialize motor
247
248 // Create and initialize motor
249
250 // Create and initialize motor
251
252 // Create and initialize motor
253
254 // Create and initialize motor
255
256 // Create and initialize motor
257
258 // Create and initialize motor
259
260 // Create and initialize motor
261
262 // Create and initialize motor
263
264 // Create and initialize motor
265
266 // Create and initialize motor
267
268 // Create and initialize motor
269
270 // Create and initialize motor
271
272 // Create and initialize motor
273
274 // Create and initialize motor
275
276 // Create and initialize motor
277
278 // Create and initialize motor
279
280 // Create and initialize motor
281
282 // Create and initialize motor
283
284 // Create and initialize motor
285
286 // Create and initialize motor
287
288 // Create and initialize motor
289
290 // Create and initialize motor
291
292 // Create and initialize motor
293
294 // Create and initialize motor
295
296 // Create and initialize motor
297
298 // Create and initialize motor
299
300 // Create and initialize motor
301
302 // Create and initialize motor
303
304 // Create and initialize motor
305
306 // Create and initialize motor
307
308 // Create and initialize motor
309
310 // Create and initialize motor
311
312 // Create and initialize motor
313
314 // Create and initialize motor
315
316 // Create and initialize motor
317
318 // Create and initialize motor
319
320 // Create and initialize motor
321
322 // Create and initialize motor
323
324 // Create and initialize motor
325
326 // Create and initialize motor
327
328 // Create and initialize motor
329
330 // Create and initialize motor
331
332 // Create and initialize motor
333
334 // Create and initialize motor
335
336 // Create and initialize motor
337
338 // Create and initialize motor
339
340 // Create and initialize motor
341
342 // Create and initialize motor
343
344 // Create and initialize motor
345
346 // Create and initialize motor
347
348 // Create and initialize motor
349
350 // Create and initialize motor
351
352 // Create and initialize motor
353
354 // Create and initialize motor
355
356 // Create and initialize motor
357
358 // Create and initialize motor
359
360 // Create and initialize motor
361
362 // Create and initialize motor
363
364 // Create and initialize motor
365
366 // Create and initialize motor
367
368 // Create and initialize motor
369
370 // Create and initialize motor
371
372 // Create and initialize motor
373
374 // Create and initialize motor
375
376 // Create and initialize motor
377
378 // Create and initialize motor
379
380 // Create and initialize motor
381
382 // Create and initialize motor
383
384 // Create and initialize motor
385
386 // Create and initialize motor
387
388 // Create and initialize motor
389
390 // Create and initialize motor
391
392 // Create and initialize motor
393
394 // Create and initialize motor
395
396 // Create and initialize motor
397
398 // Create and initialize motor
399
400 // Create and initialize motor
401
402 // Create and initialize motor
403
404 // Create and initialize motor
405
406 // Create and initialize motor
407
408 // Create and initialize motor
409
410 // Create and initialize motor
411
412 // Create and initialize motor
413
414 // Create and initialize motor
415
416 // Create and initialize motor
417
418 // Create and initialize motor
419
420 // Create and initialize motor
421
422 // Create and initialize motor
423
424 // Create and initialize motor
425
426 // Create and initialize motor
427
428 // Create and initialize motor
429
430 // Create and initialize motor
431
432 // Create and initialize motor
433
434 // Create and initialize motor
435
436 // Create and initialize motor
437
438 // Create and initialize motor
439
440 // Create and initialize motor
441
442 // Create and initialize motor
443
444 // Create and initialize motor
445
446 // Create and initialize motor
447
448 // Create and initialize motor
449
450 // Create and initialize motor
451
452 // Create and initialize motor
453
454 // Create and initialize motor
455
456 // Create and initialize motor
457
458 // Create and initialize motor
459
460 // Create and initialize motor
461
462 // Create and initialize motor
463
464 // Create and initialize motor
465
466 // Create and initialize motor
467
468 // Create and initialize motor
469
470 // Create and initialize motor
471
472 // Create and initialize motor
473
474 // Create and initialize motor
475
476 // Create and initialize motor
477
478 // Create and initialize motor
479
480 // Create and initialize motor
481
482 // Create and initialize motor
483
484 // Create and initialize motor
485
486 // Create and initialize motor
487
488 // Create and initialize motor
489
490 // Create and initialize motor
491
492 // Create and initialize motor
493
494 // Create and initialize motor
495
496 // Create and initialize motor
497
498 // Create and initialize motor
499
500 // Create and initialize motor
501
502 // Create and initialize motor
503
504 // Create and initialize motor
505
506 // Create and initialize motor
507
508 // Create and initialize motor
509
509
510
511
512
513
514
515
516
517
518
519
520
521
522
523
524
525
526
527
528
529
530
531
532
533
534
535
536
537
538
539
540
541
542
543
544
545
546
547
548
549
550
551
552
553
554
555
556
557
558
559
560
561
562
563
564
565
566
567
568
569
570
571
572
573
574
575
576
577
578
579
580
581
582
583
584
585
586
587
588
589
590
591
592
593
594
595
596
597
598
599
600
601
602
603
604
605
606
607
608
609
610
611
612
613
614
615
616
617
618
619
620
621
622
623
624
625
626
627
628
629
630
631
632
633
634
635
636
637
638
639
640
641
642
643
644
645
646
647
648
649
650
651
652
653
654
655
656
657
658
659
660
661
662
663
664
665
666
667
668
669
670
671
672
673
674
675
676
677
678
679
680
681
682
683
684
685
686
687
688
689
690
691
692
693
694
695
696
697
698
699
700
701
702
703
704
705
706
707
708
709
710
711
712
713
714
715
716
717
718
719
720
721
722
723
724
725
726
727
728
729
730
731
732
733
734
735
736
737
738
739
740
741
742
743
744
745
746
747
748
749
750
751
752
753
754
755
756
757
758
759
760
761
762
763
764
765
766
767
768
769
770
771
772
773
774
775
776
777
778
779
780
781
782
783
784
785
786
787
788
789
790
791
792
793
794
795
796
797
798
799
800
801
802
803
804
805
806
807
808
809
810
811
812
813
814
815
816
817
818
819
820
821
822
823
824
825
826
827
828
829
830
831
832
833
834
835
836
837
838
839
840
841
842
843
844
845
846
847
848
849
850
851
852
853
854
855
856
857
858
859
860
861
862
863
864
865
866
867
868
869
870
871
872
873
874
875
876
877
878
879
880
881
882
883
884
885
886
887
888
889
890
891
892
893
894
895
896
897
898
899
900
901
902
903
904
905
906
907
908
909
910
911
912
913
914
915
916
917
918
919
920
921
922
923
924
925
926
927
928
929
930
931
932
933
934
935
936
937
938
939
940
941
942
943
944
945
946
947
948
949
950
951
952
953
954
955
956
957
958
959
960
961
962
963
964
965
966
967
968
969
970
971
972
973
974
975
976
977
978
979
980
981
982
983
984
985
986
987
988
989
990
991
992
993
994
995
996
997
998
999
1000

```

รูปที่ 3.14 โปรแกรมที่ใช้เชื่อมต่อระหว่างโปรแกรม MATLAB กับ บอร์ด Controller

3.6.2.2 ทำการบันทึกค่าผลการทดลอง ในการป้อนค่ามุมของแกนหุ่นยนต์ทั้ง 3 แกน เพื่อคำนวณหาค่าพิกัด X, Y, Z และมุม Orientation ( $\theta_x, \theta_y, \theta_z$ ) ในสมการจลนศาสตร์แบบไปข้างหน้า (Forward Kinematic) ด้วยโปรแกรม MATLAB นั้น จะได้ข้อมูลขนาดใหญ่ออกมา ผู้วิจัยจึงได้ทำการเขียนโค้ดเพื่อส่งค่าของอินพุตนั้นก็คือ มุมที่ป้อนเข้าไป ( $\theta_1, \theta_2, \theta_3$ ) และเอาต์พุตนั้นก็คือน่าพิกัด X, Y, Z และมุม Orientation ( $\theta_x, \theta_y, \theta_z$ ) ที่คำนวณได้ ไปยังตาราง ดังนั้นค่าทั้งหมดจะ

3.6.2.3 สามารถค้นหาได้ในค่าตารางดังกล่าว (ดูตัวอย่างค่าตารางได้จากภาคผนวก ข)



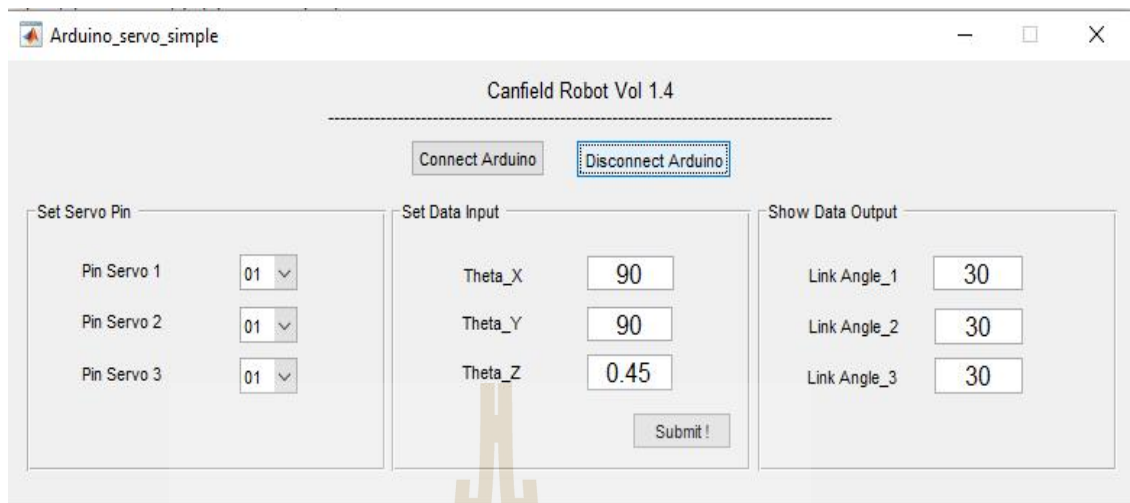
cam000x.xlsx - Microsoft Excel

	A	B	C	D	E	F	G	H	I	J	K	L	M	N	O	P	Q	R
1	Angle_1	Angle_2	Angle_3	Theta_X	Theta_Y	Theta_Z	Position(X)	Position(Y)	Position(Z)									
2	30	30	30	90	89	0.95	0	0.1	6.1									
3	30	30	31	90	83	7.1	0	0.77	6.1									
4	30	30	32	90	76	14	0	1.5	5.9									
5	30	30	33	90	69	21	0	2.2	5.6									
6	30	30	34	90	61	29	0	2.8	5									
7	30	30	35	90	53	37	0	3.2	4.3									
8	30	30	36	90	45	45	0	3.5	3.4									
9	30	30	37	90	37	53	0	3.4	2.6									
10	30	30	38	90	30	60	0	3.2	1.9									
11	30	30	39	90	24	66	0	2.9	1.3									
12	30	30	40	90	18	72	0	2.5	0.79									
13	30	30	41	90	12	78	0	2	0.44									
14	30	30	42	90	7.7	82	0	1.6	0.21									
15	30	30	43	90	3.6	86	0	1.1	0.071									



ตั้งค่าไปให้  
 $\theta_1, \theta_2, \theta_3$

น ซึ่งจะถูกส่ง  
 $\theta_x, \theta_y, \theta_z$  ที่  
ส่ง



เปลี่ยนค่ามุม  $\theta_x, \theta_y, \theta_z$  ให้  $\theta_1, \theta_2, \theta_3$  ี



มหาวิทยาลัยเทคโนโลยีสุรนารี

## บทที่ 4

### ผลการทดลอง

จากที่ได้ทดลองการทำงานของหุ่นยนต์กลไกแบบ Canfield และตรวจสอบความถูกต้องของการทำงานของหุ่นยนต์กลไกแบบ Canfield ที่ใช้ในงานวิจัยครั้งนี้ ในบทนี้จะเป็นการแสดงผลการทดสอบ ดังต่อไปนี้ 1) การออกแบบขนาดของหุ่นยนต์กลไกแบบ Canfield

- 2) การวิเคราะห์แบบจำลองทางคณิตศาสตร์ของหุ่นยนต์กลไกแบบ Canfield โดยศึกษาจาก ทฤษฎีจลศาสตร์แบบ ไปข้างหน้าด้วยโปรแกรม MATLAB
- 3) การทดลองการเคลื่อนที่ของเซอร์โวมอเตอร์ทั้งสามชุด
- 4) การทดสอบหาพิกัด X, Y, Z บนแผ่นปลายของหุ่นยนต์
- 5) การทดลองค้นหาค่าจากตารางเพื่อควบคุมหุ่นยนต์

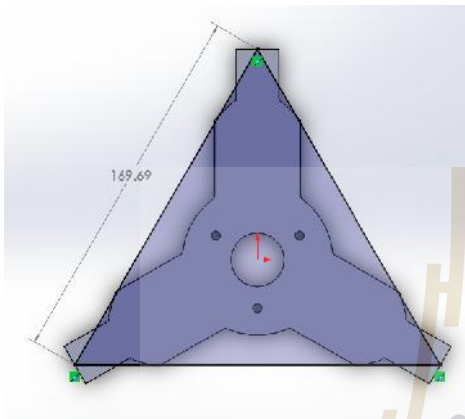
#### 4.1 การออกแบบขนาดของหุ่นยนต์กลไกแบบ Canfield

จากข้อกำหนดต่างๆของหุ่นยนต์ ในบทที่ 3 ซึ่งนำมาออกแบบ โดยมีพารามิเตอร์ ดังตารางที่

พารามิเตอร์

ตัวแปรที่ใช้ในการ  
คำนวณ

ขนาด(มิลลิเมตร)



$a$

170

ความยาวด้านข้างของฐานล่าง



$l_1$

61.25

ความยาวของแกนล่าง

พารามิเตอร์

ตัวแปรที่ใช้ในการ  
คำนวณ

ขนาด(มิลลิเมตร)

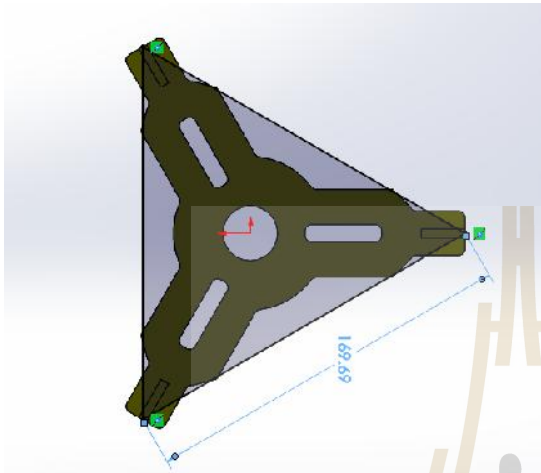


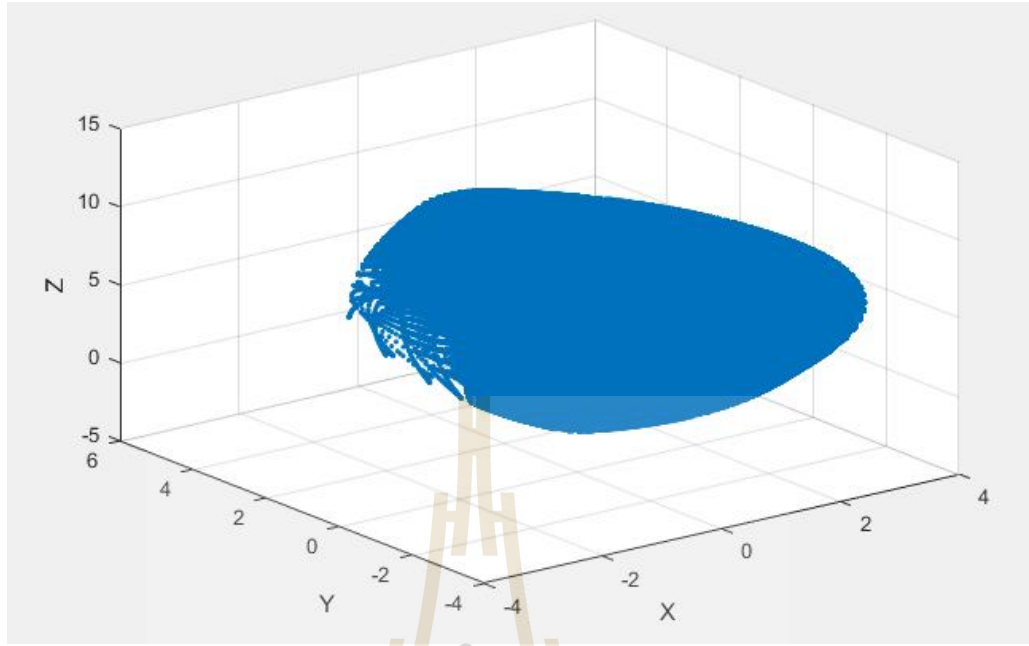
$l_2$

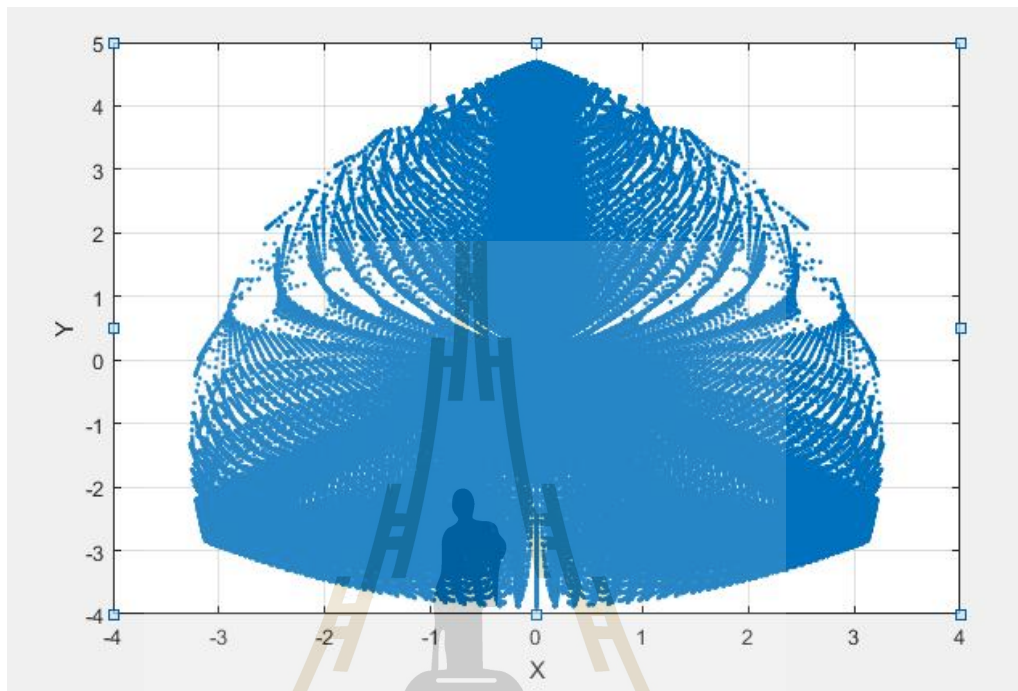
61.25

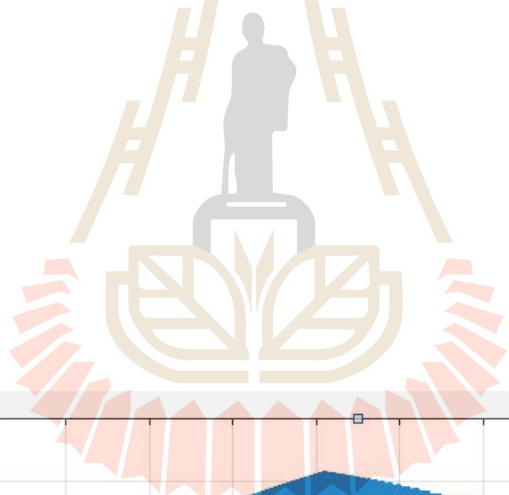
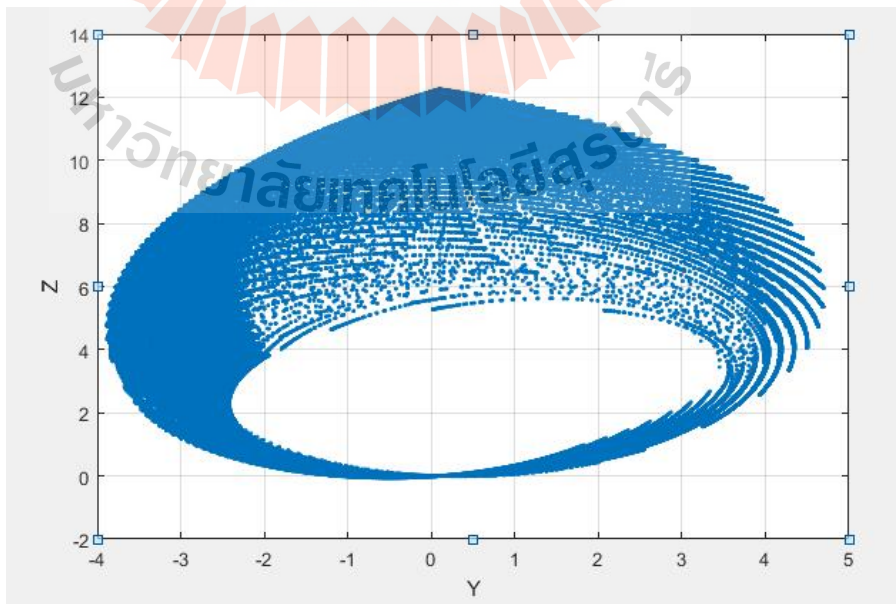
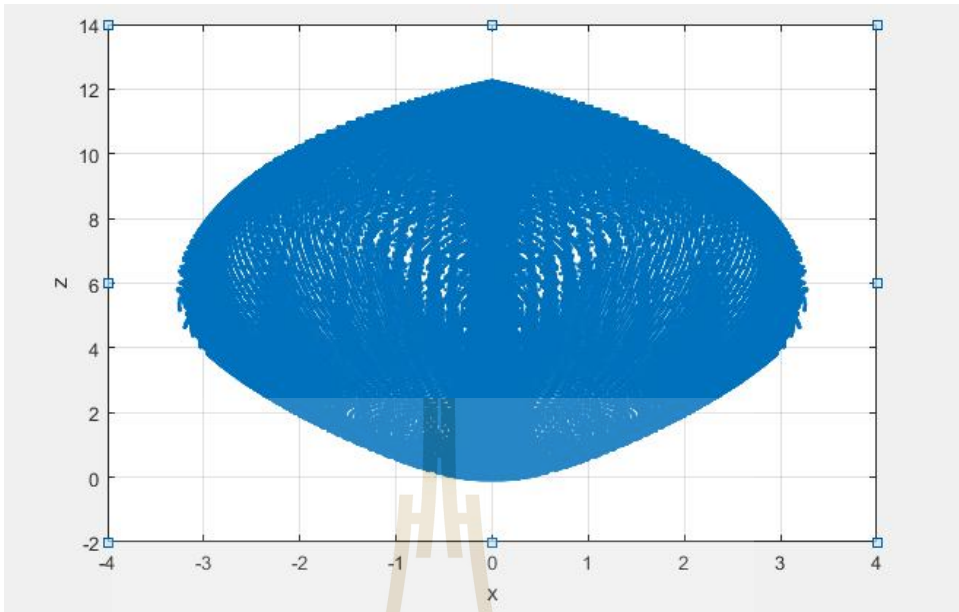
ความยาวของแกนบน

ตารางที่ 4.1 ค่าพารามิเตอร์ที่ใช้ในการออกแบบ (ต่อ)

พารามิเตอร์	ตัวแปรที่ใช้ในการคำนวณ	ขนาด(มิลลิเมตร)
	$b$	170
ความยาวด้านข้างของฐานบน		







มหาวิทยาลัยเทคโนโลยีสุรนารี



พิกัดในแกน  $y$  มีค่าตั้งแต่  $-3.9$  เซนติเมตร ถึง  $4.7$  เซนติเมตร

พิกัดในแกน  $z$  มีค่าตั้งแต่  $-0.057$  เซนติเมตร ถึง  $12$  เซนติเมตร

### 4.3 การทดลองการเคลื่อนที่ของเซอร์โวมอเตอร์ทั้งสามชุด

เนื่องจากการควบคุมตำแหน่งมุมในการหมุนของเซอร์โวมอเตอร์นั้น ทำได้โดยกำหนดมุมที่ต้องการลงในฟังก์ชัน แล้วพบว่ามุมที่เซอร์โวมอเตอร์กวาดไปหรือเคลื่อนที่ไปนั้นไม่สัมพันธ์กับมุมของแขนหุ่นยนต์ ดังนั้นจึงต้องทำการศึกษาเพื่อเปรียบเทียบการวัดมุมของเซอร์โวมอเตอร์กับมุมของแขนหุ่นยนต์ว่ามีความสัมพันธ์กันอย่างไร เพื่อให้ได้มุมที่ถูกต้องตามความต้องการ โดยการทดลองจะแบ่งออกตามขั้นตอนดังต่อไปนี้

ทดลองหามุมที่เซอร์โวมอเตอร์กวาดไปโดยให้คำสั่งตามปกติ

วัดค่ามุมของแขนหุ่นยนต์ที่เปลี่ยนแปลงไปตามการหมุนของเซอร์โวมอเตอร์

หาความสัมพันธ์สร้างสมการเชิงเส้นเพื่อหาค่ามุมที่ต้องการป้อนให้เซอร์โวมอเตอร์ เพื่อให้ได้มุมการเคลื่อนที่ที่ต้องการ  
ผลการทดลองเซอร์โวมอเตอร์แต่ละตัว แสดงตามตารางดังต่อไปนี้

#### ตารางที่ 4.2 ผลการทดลองของเซอร์โวมอเตอร์ตัวที่ 1

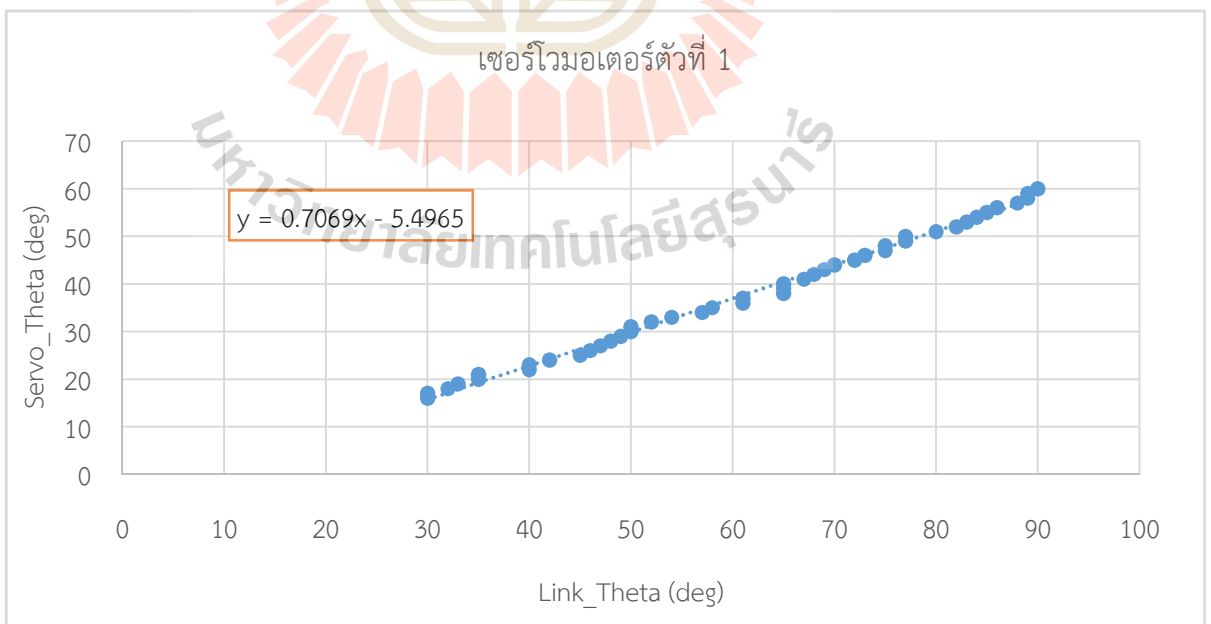
มุมที่ต้องการป้อน (องศา)	มุมที่กวาดไป (องศา)			ค่าเฉลี่ย (องศา)
	1	2	3	
30	16	16	16	16
30	17	17	17	17
32	18	18	18	18
33	19	19	19	19
35	20	20	20	20
35	21	21	21	21
40	22	22	22	22
40	23	23	23	23
42	24	24	24	24

ตารางที่ 4.2 ผลการทดลองของเซอร์โวมอเตอร์ตัวที่ 1 (ต่อ)

มุมที่ต้องการป้อน (องศา)	มุมที่กวาดไป (องศา)			ค่าเฉลี่ย (องศา)
	1	2	3	
45	25	25	25	25
46	26	26	26	26
47	27	27	27	27
48	28	28	28	28
49	29	29	29	29
50	30	30	30	30
50	31	31	31	31
52	32	32	32	32
54	33	33	33	33
57	34	34	34	34
58	35	35	35	35
61	36	36	36	36
61	37	37	37	37
65	38	38	38	38
65	39	39	39	39
65	40	40	40	40
67	41	41	41	41
68	42	42	42	42
69	43	43	43	43
70	44	44	44	44
72	45	45	45	45
73	46	46	46	46
75	47	47	47	47
75	48	48	48	48

ตารางที่ 4.2 ผลการทดลองของเซอร์โวมอเตอร์ตัวที่ 1 (ต่อ)

มุมที่ต้องการป้อน (องศา)	มุมที่กวาดไป (องศา)			ค่าเฉลี่ย (องศา)
	1	2	3	
77	49	49	49	49
77	50	50	50	50
80	51	51	51	51
82	52	52	52	52
83	53	53	53	53
84	54	54	54	54
85	55	55	55	55
86	56	56	56	56
88	57	57	57	57
89	58	58	58	58
89	59	59	59	59
90	60	60	60	60



เทียบกับมุมจากแขนหุ่นยนต์แขนที่ 1

จากกราฟ จะเห็นได้ว่าข้อมูลที่เกิดขึ้นแสดงความสัมพันธ์เป็นกราฟเส้นตรง ซึ่งจะได้ความสัมพันธ์เป็น  $y = 0.7069x + 5.4965$

เมื่อ  $x$  คือมุมที่วัดได้จากแขนของหุ่นยนต์ และ  $y$  คือมุมที่ต้องการทราบค่าจากเซอร์โวมอเตอร์

ตารางที่ 4.3 ผลการทดลองของเซอร์โวมอเตอร์ตัวที่ 2

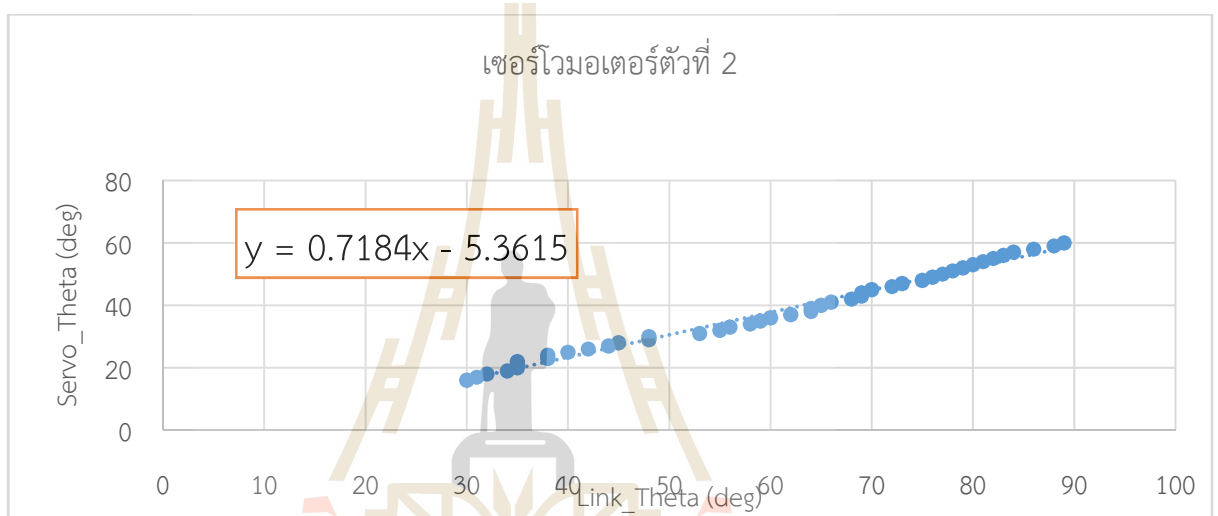
มุมที่ต้องการป้อน (องศา)	มุมที่กวาดไป (องศา)			ค่าเฉลี่ย (องศา)
	1	2	3	
30	16	16	16	16
31	17	17	17	17
32	18	18	18	18
34	19	19	19	19
35	20	20	20	20
35	21	21	21	21
35	22	22	22	22
38	23	23	23	23
38	24	24	24	24
40	25	25	25	25
42	26	26	26	26
44	27	27	27	27
45	28	28	28	28
48	29	29	29	29
48	30	30	30	30
53	31	31	31	31
55	32	32	32	32
56	33	33	33	33
58	34	34	34	34

ตารางที่ 4.3 ผลการทดลองของเซอร์โวมอเตอร์ตัวที่ 2 (ต่อ)

มุมที่ต้องการป้อน (องศา)	มุมที่กวาดไป (องศา)			ค่าเฉลี่ย (องศา)
	1	2	3	
59	35	35	35	35
60	36	36	36	36
62	37	37	37	37
64	38	38	38	38
64	39	39	39	39
65	40	40	40	40
66	41	41	41	41
68	42	42	42	42
69	43	43	43	43
69	44	44	44	44
70	45	45	45	45
72	46	46	46	46
73	47	47	47	47
75	48	48	48	48
76	49	49	49	49
77	50	50	50	50
78	51	51	51	51
79	52	52	52	52
80	53	53	53	53
81	54	54	54	54
82	55	55	55	55
83	56	56	56	56
84	57	57	57	57
86	58	58	58	58

ตารางที่ 4.3 ผลการทดลองของเซอร์โวมอเตอร์ตัวที่ 2 (ต่อ)

มุมที่ต้องการป้อน (องศา)	มุมที่กวาดไป (องศา)			ค่าเฉลี่ย (องศา)
	1	2	3	
88	59	59	59	59
89	60	60	60	60



ตารางที่ 4.4 ผลการทดลองของเซอร์โวมอเตอร์ตัวที่ 3

มุมที่ต้องการป้อน (องศา)	มุมที่กวาดไป (องศา)			ค่าเฉลี่ย (องศา)
	1	2	3	
30	15	15	15	15
33	16	16	16	16
35	17	17	17	17
36	18	18	18	18
36	19	19	19	19
37	20	20	20	20
40	21	21	21	21
40	22	22	22	22
43	23	23	23	23
43	24	24	24	24
46	25	25	25	25
46	26	26	26	26
47	27	27	27	27
49	28	28	28	28
49	29	29	29	29
50	30	30	30	30
52	31	31	31	31
53	32	32	32	32
56	33	33	33	33
57	34	34	34	34
60	35	35	35	35
61	36	36	36	36
61	37	37	37	37
62	38	38	38	38

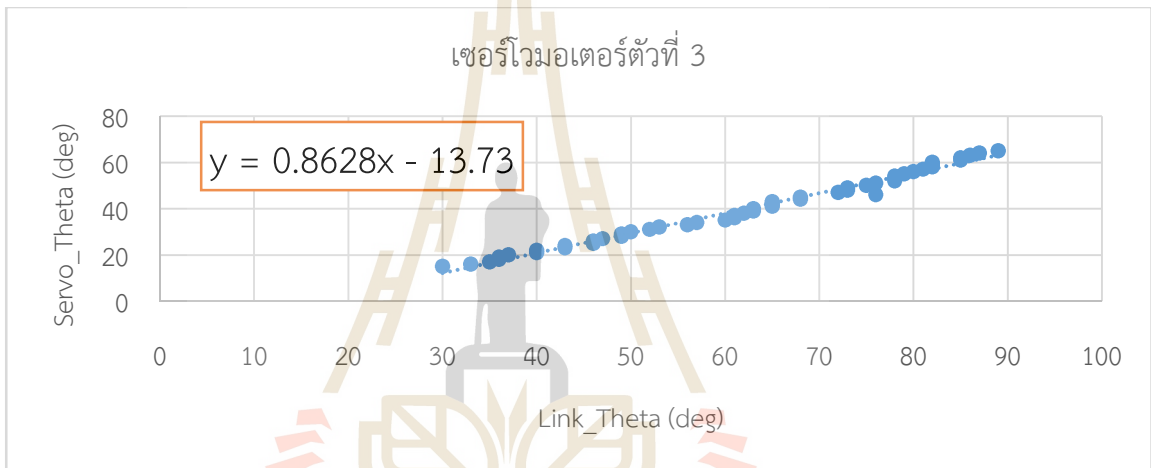
ตารางที่ 4.4 ผลการทดลองของเซอร์โวมอเตอร์ตัวที่ 3 (ต่อ)

มุมที่ต้องการป้อน (องศา)	มุมที่กวาดไป (องศา)			ค่าเฉลี่ย (องศา)
	1	2	3	
63	39	39	39	39
63	40	40	40	40
65	41	41	41	41
65	42	42	42	42
65	43	43	43	43
68	44	44	44	44
68	45	45	45	45
76	46	46	46	46
72	47	47	47	47
73	48	48	48	48
73	49	49	49	49
75	50	50	50	50
76	51	51	51	51
78	52	52	52	52
78	53	53	53	53
78	54	54	54	54
79	55	55	55	55
80	56	56	56	56
81	57	57	57	57
82	58	58	58	58
82	59	59	59	59
82	60	60	60	60
85	61	61	61	61
85	62	62	62	62



ตารางที่ 4.4 ผลการทดลองของเซอร์โวมอเตอร์ตัวที่ 3 (ต่อ)

มุมที่ต้องการป้อน (องศา)	มุมที่กวาดไป (องศา)			ค่าเฉลี่ย (องศา)
	1	2	3	
86	63	63	63	63
87	64	64	64	64
89	65	65	65	65



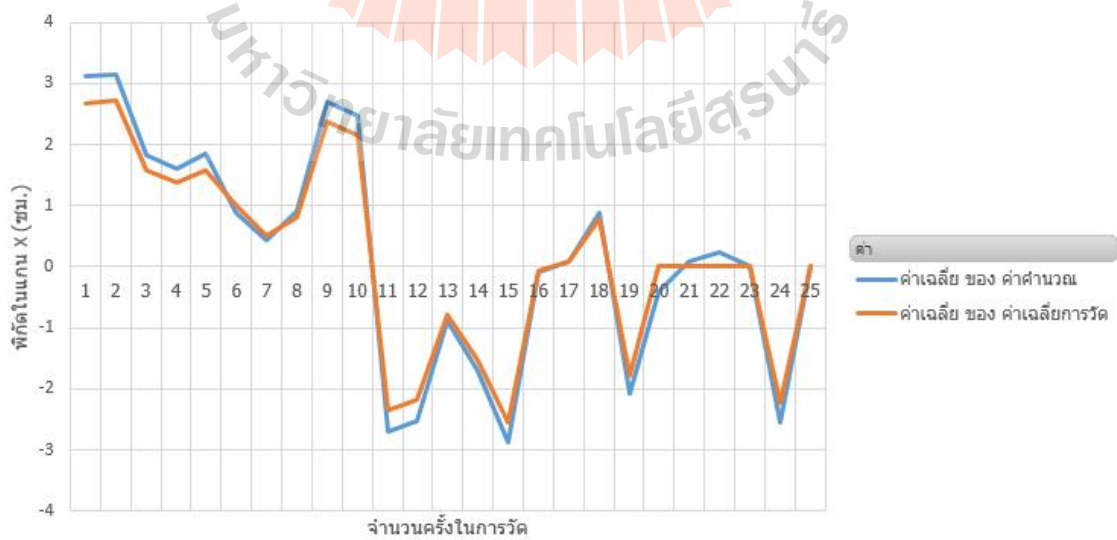
#### 4.4 การทดสอบหาพิกัด X, Y, Z บนแผ่นปลายของหุ่นยนต์

เนื่องจากงานวิจัยนี้ ได้ทำการออกแบบระบบการควบคุมเป็นระบบแบบเปิด (Open Loop Control) ส่งผลให้ค่าเอาต์พุตไม่มีผลต่อการควบคุมขบวนการของระบบ ผู้วิจัยจึงได้ทำการทดลองตรวจสอบการตอบสนองว่าเกิดค่าความคลาดเคลื่อนไปมากน้อยเพียงใด โดยทดสอบเปรียบเทียบค่าระหว่างค่าที่ได้จากการคำนวณในโปรแกรม MATLAB และค่าที่ได้จากการวัดค่าจริง บนพิกัด X,Y,Z

ตารางที่ 4.5 ผลการทดลองเปรียบเทียบค่าความคลาดเคลื่อนในพิกัด X

จำนวน	มุมที่ต้องการ ป้อน			ค่าจากการคำนวณ (ซม.)	ค่าจากการวัด(ซม.)			ค่าเฉลี่ยการวัด (ซม.)	FSO Error (%)
	1	2	3		1	2	3		
1	75	40	65	3.11	2.68	2.68	2.68	2.68	7
2	77	40	58	3.14	2.5	2.5	2.5	2.50	10
3	57	45	73	1.83	1.57	1.57	1.57	1.57	4
4	65	50	60	1.6	1.39	1.39	1.39	1.39	3
5	57	45	60	1.84	1.5	1.5	1.5	1.50	5
6	83	64	77	0.89	1.02	1	1.02	1.01	2
7	70	64	77	0.43	0.5	0.52	0.52	0.51	1
8	50	64	77	0.91	0.8	0.8	0.8	0.80	2
9	70	45	78	2.69	2.38	2.38	2.38	2.38	5
10	65	45	65	2.47	2.16	2.15	2.15	2.15	5
11	45	85	85	-2.69	-2.3	-2.4	-2.35	-2.35	5
12	45	66	66	-2.52	-2.2	-2.2	-2.18	-2.18	5
13	60	72	66	-0.88	-0.8	-0.8	-0.79	-0.79	1
14	53	72	70	-1.7	-1.5	-1.5	-1.53	-1.53	3

จำนวน	มุมมองที่ต้องการ			ค่าจากการคำนวณ (ชม.)	ค่าจากการวัด(ชม.)			ค่าเฉลี่ยการวัด (ชม.)	FSO Error (%)
	ปี								
	1	2	3		1	2	3		
15	45	80	75	-2.86	-2.5	-2.5	-2.54	-2.54	5
16	65	85	50	-0.08	-0.1	-0.1	-0.07	-0.07	0
17	90	52	45	0.09	0.08	0.08	0.08	0.08	0
18	90	52	50	0.88	0.78	0.78	0.78	0.78	2
19	45	70	50	-2.08	-1.7	-1.7	-1.7	-1.68	6
20	58	70	50	-0.42	0	0	0	0.00	7
21	77	83	37	0.08	0	0	0	0.00	1
22	75	90	40	0.24	0	0	0	0.00	4
23	40	40	90	0	0	0	0	0.00	0
24	45	70	83	-2.54	-2.2	-2.2	-2.2	-2.20	5
25	55	55	90	0	0	0	0	0.00	0



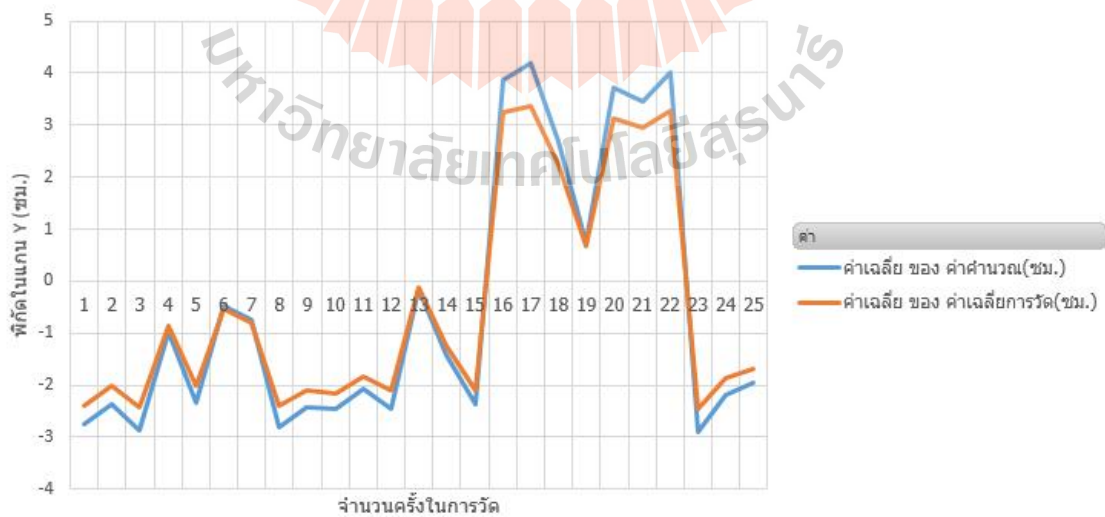
จากตารางที่ 4.5 แสดงถึงผลการทดลองเปรียบเทียบค่าความคลาดเคลื่อนระหว่างค่าที่ได้จากการคำนวณและค่าที่วัดได้จริงในพิกัด X พบว่า มีค่าความคลาดเคลื่อนสูงสุดอยู่ที่ 10 % โดยมุมที่ป้อนค่านั้นคือ ค่ามุมจากแกนของหุ่นยนต์ทั้งสามแกนโดยที่ มุมที่ 1 เท่ากับ 77 องศา มุมที่ 2 เท่ากับ 40 องศา มุมที่ 3 เท่ากับ 58 องศา ซึ่งค่าที่คำนวณได้นั้นเท่ากับ 3.14 ซม. แต่ค่าที่วัดได้เท่ากับ 2.5 ซม. มีผลต่างเป็น 0.64 ซม. และเมื่อนำค่าทั้งหมดที่ได้ทดสอบจำนวน 25 ครั้ง มาพล็อตกราฟดังรูปที่ 4.7 จะเห็นค่าความคลาดเคลื่อนได้ชัดเจนมากยิ่งขึ้น ในครั้งที่มีการป้อนจำนวนค่ามุมที่มากขึ้น จะพบความคลาดเคลื่อนได้น้อยกว่าจำนวนค่ามุมที่น้อย ซึ่งนั่นหมายความว่าค่าความคลาดเคลื่อนที่เกิดขึ้นอาจจะเกิดจากความยาวของก้านแขนหุ่นยนต์ที่มีความไม่เหมาะสมรวมไปถึงการต่อก้านจากแกนของเซอร์โวมอเตอร์เชื่อมไปยังก้านแขนของหุ่นยนต์ส่งผลให้ความสัมพันธ์ที่เกิดขึ้นเกิดความคลาดเคลื่อนขึ้นได้

ตารางที่ 4.6 ผลการทดลองเปรียบเทียบค่าความคลาดเคลื่อนในพิกัด Y

จำนวน	มุมที่ต้องการป้อน			ค่าจากการคำนวณ(ซม.)	ค่าจากการวัด(ซม.)			ค่าเฉลี่ยการวัด(ซม.)	FSO Error (%)
	1	2	3		1	2	3		
1	75	40	65	-2.75	-2.30	-2.3	-2.3	-2.30	5
2	77	40	58	-2.38	-2	-2	-2	-2.00	4
3	57	45	73	-2.86	-2.41	-2.42	-2.4	-2.42	5
4	65	50	60	-0.98	-0.85	-0.85	-0.9	-0.85	2
5	57	45	60	-2.34	-2	-2	-2	-2.00	4
6	83	64	77	-0.48	-0.52	-0.52	-0.5	-0.52	0
7	70	64	77	-0.74	-0.8	-0.8	-0.8	-0.80	1
8	50	64	77	-2.81	-2.41	-2.4	-2.4	-2.40	5
9	70	45	78	-2.41	-2.2	-2.21	-2.2	-2.10	4
10	65	45	65	-2.44	-2.18	-2.17	-2.2	-2.17	3
11	45	85	85	-2.07	-1.82	-1.82	-1.8	-1.82	3
12	45	66	66	-2.44	-2.1	-2.1	-2.1	-2.10	4
13	60	72	66	-0.14	-0.13	-0.13	-0.1	-0.13	0
14	53	72	70	-1.42	-1.24	-1.24	-1.2	-1.24	2
15	45	80	75	-2.36	-2.1	-2.1	-2.1	-2.10	3

ตารางที่ 4.6 ผลการทดลองเปรียบเทียบค่าความคลาดเคลื่อนในพิกัด Y (ต่อ)

จำนวน	มุมที่ต้องการป้อน			ค่าจากการ คำนวณ(ซม.)	ค่าจากการวัด(ซม.)			ค่าเฉลี่ยการ วัด(ซม.)	FSO Error (%)
	1	2	3		1	2	3		
16	65	85	50	3.85	3.25	3.25	3.25	3.25	7
17	90	52	45	4.2	3.52	3.52	3.52	3.52	8
18	90	52	50	2.68	2.25	2.25	2.25	2.25	5
19	45	70	50	0.74	0.69	0.69	0.69	0.69	1
20	58	70	50	3.71	3	3	3	3.00	8
21	77	83	37	3.46	2.82	2.82	2.82	2.82	7
22	75	90	40	4.02	3.2	3.2	3.2	3.20	10
23	40	40	90	-2.9	-2.45	-2.45	-2.5	-2.45	5
24	45	70	83	-2.19	-1.85	-1.85	-1.9	-1.85	4
25	55	55	90	-1.96	-1.68	-1.68	-1.7	-1.68	3



จากตารางที่ 4.6 แสดงถึงผลการทดลองเปรียบเทียบค่าความคลาดเคลื่อนระหว่างค่าที่ได้จากการคำนวณและค่าที่วัดได้จริงในพิกัด Y พบว่า มีค่าความคลาดเคลื่อนสูงสุดอยู่ที่ 10 % โดยมุมที่ป้อนค่านั้นคือ ค่ามุมจากแกนของหุ่นยนต์ทั้งสามแกนโดยที่ มุมที่ 1 เท่ากับ 75 องศา มุมที่ 2 เท่ากับ 90 องศา มุมที่ 3 เท่ากับ 40 องศา ซึ่งค่าที่คำนวณได้นั้นเท่ากับ 4.02 ซม. แต่ค่าที่วัดได้เท่ากับ 3.2 ซม. มีผลต่างเป็น 0.82 ซม. และเมื่อนำค่าทั้งหมดที่ได้ทดสอบจำนวน 25 ครั้ง จะเห็นค่าความคลาดเคลื่อนได้ชัดเจนมากยิ่งขึ้น ในครั้งที่มีการป้อนจำนวนค่ามุมที่มากขึ้นจะพบความคลาดเคลื่อนได้น้อยกว่าจำนวนค่ามุมที่น้อย ซึ่งนั่นหมายความว่าค่าความคลาดเคลื่อนที่เกิดขึ้นอาจจะเกิดจากความยาวของก้านแขนหุ่นยนต์ที่มีความไม่เหมาะสมรวมไปถึงการต่อก้านจากแกนของเซอร์โวมอเตอร์เชื่อม ไปยังก้านแขนของหุ่นยนต์ส่งผลให้ความสัมพันธ์ที่เกิดขึ้นเกิดความคลาดเคลื่อนขึ้นได้

ตารางที่ 4.7 ผลการทดลองเปรียบเทียบค่าความคลาดเคลื่อนในพิกัด Z

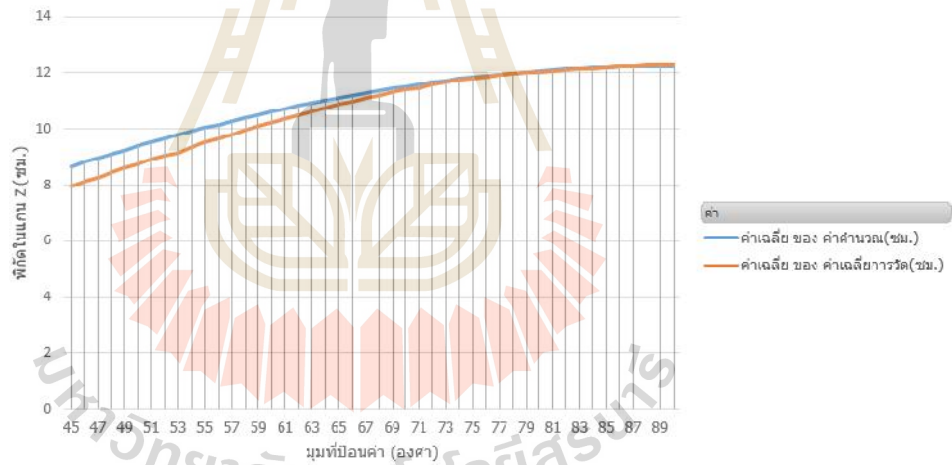
จำนวน	มุมที่ต้องการป้อน			ค่าจากการคำนวณ(ซม.)	ค่าจากการวัด(ซม.)			ค่าเฉลี่ยการวัด(ซม.)	FSO Error (%)
	1	2	3		1	2	3		
1	45	45	45	8.66	7.96	7.95	7.96	7.96	9
2	46	46	46	8.81	8.11	8.11	8.12	8.11	9
3	47	47	47	8.96	8.28	8.27	8.28	8.28	8
4	48	48	48	9.1	8.45	8.44	8.43	8.44	8
5	49	49	49	9.24	8.61	8.6	8.6	8.60	7
6	50	50	50	9.38	8.76	8.76	8.76	8.76	7
7	51	51	51	9.52	8.9	8.92	8.92	8.91	7
8	52	52	52	9.65	9.05	9.05	9.04	9.05	7
9	53	53	53	9.78	9.2	9.1	9.1	9.13	7
10	54	54	54	9.91	9.36	9.36	9.35	9.36	6
11	55	55	55	10.03	9.51	9.52	9.51	9.51	5
12	56	56	56	10.16	9.66	9.65	9.65	9.65	5
13	57	57	57	10.27	9.8	9.81	9.82	9.81	5
14	58	58	58	10.39	9.96	9.96	9.95	9.96	4
15	59	59	59	10.49	10.09	10.08	10.08	10.08	4

ตารางที่ 4.7 ผลการทดลองเปรียบเทียบค่าความคลาดเคลื่อนในพิกัด Z m\ (ต่อ)

จำนวน	มุมที่ต้องการ ป้อน			ค่าจากการ คำนวณ(ซม.)	ค่าจากการวัด(ซม.)			ค่าเฉลี่ยการวัด (ซม.)	FSO Error (%)
	1	2	3		1	2	3		
16	60	60	60	10.61	10.23	10.23	10.23	10.23	4
17	61	61	61	10.71	10.36	10.36	10.35	10.36	3
18	62	62	62	10.82	10.49	10.5	10.5	10.50	3
19	63	63	63	10.91	10.63	10.63	10.64	10.63	3
20	64	64	64	11.01	10.76	10.76	10.75	10.76	2
21	65	65	65	11.1	10.87	10.87	10.88	10.87	2
22	66	66	66	11.19	10.99	10.98	10.98	10.98	2
23	67	67	67	11.28	11.11	11.12	11.12	11.12	1
24	68	68	68	11.36	11.21	11.2	11.2	11.20	1
25	69	69	69	11.45	11.32	11.3	11.3	11.31	1
26	70	70	70	11.51	11.39	11.39	11.38	11.39	1
27	71	71	71	11.58	11.48	11.46	11.46	11.47	1
28	72	72	72	11.65	11.57	11.57	11.58	11.57	1
29	73	73	73	11.71	11.66	11.65	11.65	11.65	0
30	74	74	74	11.78	11.75	11.75	11.75	11.75	0
31	75	75	75	11.83	11.79	11.8	11.8	11.80	0
32	76	76	76	11.89	11.86	11.86	11.86	11.86	0
33	77	77	77	11.94	11.92	11.91	11.91	11.91	0
34	78	78	78	11.98	11.96	11.96	11.96	11.96	0
35	79	79	79	12.02	12	12	12	12.00	0
36	80	80	80	12.06	12.04	12.02	12.02	12.03	0
37	81	81	81	12.1	12.08	12.08	12.08	12.08	0
38	82	82	82	12.13	12.11	12.1	12.1	12.10	0
39	83	83	83	12.16	12.14	12.14	12.13	12.14	0
40	84	84	84	12.18	12.17	12.15	12.15	12.16	0

ตารางที่ 4.7 ผลการทดลองเปรียบเทียบค่าความคลาดเคลื่อนในพิกัด Z m\ (ต่อ)

จำนวน	มุมที่ต้องการ			ค่าจากการ คำนวณ(ซม.)	ค่าจากการวัด(ซม.)			ค่าเฉลี่ยการวัด (ซม.)	FSO Error (%)
	ป้อน								
	1	2	3		1	2	3		
41	85	85	85	12.2	12.19	12.19	12.19	12.19	0
42	86	86	86	12.22	12.22	12.22	12.23	12.22	0
43	87	87	87	12.23	12.25	12.25	12.24	12.25	0
44	88	88	88	12.24	12.27	12.26	12.26	12.26	0
45	89	89	89	12.25	12.28	12.27	12.27	12.27	0
46	90	90	90	12.25	12.28	12.28	12.28	12.28	0





ความคลาดเคลื่อนได้น้อยกว่าจำนวนค่ามุมที่น้อย ซึ่งนั่นหมายความว่าค่าความคลาดเคลื่อนที่เกิดขึ้นอาจจะเกิดจากความยาวของก้านแขนหุ่นยนต์ที่มีความไม่เหมาะสมรวมไปถึงการต่อกันจากแขนของเซอร์โวมอเตอร์เชื่อมไปยังก้านแขนของหุ่นยนต์ ส่งผลให้ความสัมพันธ์ที่เกิดขึ้นเกิดความคลาดเคลื่อนขึ้นได้

ดังนั้น จึงสรุปได้ว่าค่าความคลาดเคลื่อนที่เกิดขึ้นของทั้ง 3 แกนนั้น มีค่าที่ค่อนข้างสูง อันเนื่องมาจากการสร้างหุ่นยนต์ตัวนี้ ถูกสร้างขึ้นด้วยความละเอียดที่ไม่สูงนัก อาจเป็นผลมาจากความยาวของก้านแขนหุ่นยนต์ที่มีความยาวไม่เหมาะสมหรือที่ข้อต่อ (revolt joint) ต่างๆ เกิดช่องว่าง (gap) ขึ้น หรืออาจจะเกิดจากการสร้างความสัมพันธ์ระหว่างมุมของเซอร์โวมอเตอร์และมุมที่จุดหมุนบนแผ่นฐาน มีสมการควบคุมที่มีจุดทศนิยมถึง 4 ตำแหน่ง แต่เซอร์โวมอเตอร์นั้นสามารถขยับได้ทีละ 1 องศา อาจจะมีค่าความละเอียดพอที่ไม่มากพอที่จะหมุนแขนของเซอร์โวมอเตอร์ไปยังมุมตามสมการควบคุมที่ต้องการ ดังนั้นแนวทางในการลดความคลาดเคลื่อน อาจจะทำโดยการปรับชุดของก้านแขนหุ่นยนต์ (Link) และข้อต่อ (Joint) ให้มีความเหมาะสมมากยิ่งขึ้นเพื่อให้เกิดช่องว่าง (gap) น้อยที่สุด และอาจจะทำการปรับเปลี่ยนชุดมอเตอร์ที่สามารถอ่านค่าความละเอียดได้มากยิ่งขึ้น เช่น สเต็ปมอเตอร์ ซึ่งจะมีค่าความละเอียดและแม่นยำมากยิ่งขึ้น

#### 4.5 การทดลองค้นหาค่าจากตารางเพื่อควบคุมหุ่นยนต์

ในการทดลองนี้ ได้ทำการหาค่าของพิกัด  $X$ ,  $Y$ ,  $Z$  ที่อยู่บนระนาบของแผ่นปลาย (End Effector) และมุม Orientation ( $\theta_x, \theta_y, \theta_z$ ) ที่เกิดขึ้น จากสมการจลนศาสตร์แบบไปข้างหน้า (Forward Kinematic) และโปรแกรมจะทำการส่งค่าทั้งหมดไปเก็บไว้ในตาราง โดยหน้าตาของผู้ใช้งานจะถูกสร้างขึ้นมา เพื่อใช้ในการป้อนค่ามุม Orientation ( $\theta_x, \theta_y, \theta_z$ ) หลังจากนั้นโปรแกรมจะทำการส่งค่าดังกล่าว ไปเทียบตารางว่าควรปรับการควบคุมเซอร์โวมอเตอร์ให้ไปยังมุมองศาที่ต้องการเป็นมุมใด เป็นการแก้ไขปัญหาที่ซับซ้อนในการหาสมการจลนศาสตร์แบบผกผัน (Inverse Kinematic) พบว่าผลที่ได้จากการคำนวณสมการจลนศาสตร์แบบไปข้างหน้า (Forward Kinematic) มีค่าทั้งหมด 226,981 ค่า โดยที่กำหนดมุมองศาของจุดหมุนบนแผ่นฐานตั้งแต่ 30-90 องศา เนื่องจากจุดเริ่มต้นของหุ่นยนต์นี้ มุมของแขนหุ่นยนต์จะทำมุมกับระนาบที่แผ่นฐานอยู่ 30 องศา โดยเพิ่มค่าของแต่ละมุมไปทีละ 1 องศา หากผู้ใช้งานต้องการทดสอบ โปรแกรมนี้ ต้องเปิดค่าจากตารางแล้วป้อนค่าอินพุตเข้าไปเพื่อให้ได้ค่าเอาต์พุตที่ต้องการออกมา และข้อมูลดังกล่าวนี้ สามารถดูตัวอย่างได้จากภาคผนวก ข

##### 4.5.1 ขอบเขตของมุม Orientation ( $\theta_x, \theta_y, \theta_z$ ) มีดังต่อไปนี้

$$\theta_x = 8.1 \text{ องศา ถึง } 170 \text{ องศา}$$

$$\theta_y = 0.051 \text{ องศา ถึง } 180 \text{ องศา}$$

$$\theta_z = 0.0003 \text{ องศา ถึง } 170 \text{ องศา}$$

## บทที่ 5

### สรุปผลและข้อเสนอแนะ

#### 5.1 สรุปงานวิจัย

งานวิจัยนี้เป็นการออกแบบและสร้างต้นแบบด้วยกลไก Canfield ซึ่งการวิจัยนี้พยายามที่จะสร้างต้นแบบด้วยกลไก Canfield เพื่อศึกษาเกี่ยวกับจลนศาสตร์ของหุ่นยนต์แบบขนานที่สามารถเคลื่อนที่ได้ 6 องศาอิสระ โดยโครงสร้างของหุ่นยนต์จะมีลักษณะเป็นหุ่นยนต์สามก้านแบบขนาน โดยแต่ละแขนจะประกอบไปด้วยสามข้อต่อแบบหมุน (revolt joint) ถูกขับเคลื่อนด้วยเซอร์โวมอเตอร์ทั้งหมดสามตัว โดยจะใช้หลักการทางจลนศาสตร์แบบไปข้างหน้า (Forward Kinematic) เพื่อหาตำแหน่งหรือพิกัด (Position) บนปลายแขนของหุ่นยนต์ และมุมที่พิกัดบนปลายแขนของหุ่นยนต์ทำกับแกน X แกน Y และแกน Z หรือมุม Orientation บนระนาบของแผ่นปลาย ซึ่งผลที่ได้จากการทดลองนี้ทำโดยการป้อนค่าองศาจากมุมที่ 30-90 องศา เนื่องจากมุมที่จุดหมุนบนแผ่นฐานค่าเริ่มต้นอยู่ที่ 30 องศา และเพิ่มค่ามุมของจุดหมุนในแต่ละแขนของทั้งสามแขนไปที่ละ 1 องศา ดังนั้นค่าที่ได้ออกมาทั้งหมดจะเท่ากับ 226,981 ค่า ซึ่งเป็นข้อมูลขนาดใหญ่ และเพื่อแก้ไขปัญหาความยุ่งยากในการหาสมการจลนศาสตร์แบบผกผัน (Inverse Kinematic) จึงทำการส่งข้อมูลขนาดใหญ่นี้ไปเก็บไว้ในรูปแบบของตาราง และสร้างหน้าต่างผู้ใช้งานขึ้นมาเพื่อป้อนค่ามุม Orientation เพื่อส่งค่าดังกล่าวไปยังข้อมูลที่อยู่ในตาราง เพื่อเทียบค่าดูว่าควรปรับองศาของจุดหมุนบนแผ่นฐานไปที่มุมใด ( $\theta_1, \theta_2, \theta_3$ ) แทนการใช้สมการจลนศาสตร์แบบผกผัน (Inverse Kinematic) ต่อจากนั้นได้ทำการทดสอบความแม่นยำของหุ่นยนต์โดยการวัดค่าความคลาดเคลื่อนของพิกัดในแต่ละแกน พบว่า แกน X มีค่าความคลาดเคลื่อนเท่ากับ 10% แกน Y มีค่าความคลาดเคลื่อนเท่ากับ 10% และแกน Z มีค่าความคลาดเคลื่อนเท่ากับ 11%

#### 5.2 ข้อเสนอแนะ

5.2.1 งานวิจัยนี้เป็นงานวิจัยที่ใช้ระบบควบคุมแบบเปิด ดังนั้นจึงอาจมีค่าความคลาดเคลื่อนเกิดขึ้น หากต้องการให้มีความถูกต้องเพิ่มขึ้น สามารถใช้ระบบควบคุมแบบปิด โดยทำ

การติดตั้งเซนเซอร์วัดมุมเพิ่มเข้าไปในระบบ เพื่อป้อนสัญญาณการตรวจสอบมุม Orientation ที่เกิดขึ้นหรือคิด Potentiometer Encoder ไว้ที่เซอร์โวมอเตอร์สำหรับวัดตำแหน่งมุมองศาการหมุน และทำการแก้ไขให้เซอร์โวมอเตอร์หมุนไปยังองศาที่ถูกต้องมากยิ่งขึ้น

5.2.2 การออกแบบและสร้างกลไกแบบ Canfield นี้ มีความยุ่งยากซับซ้อนค่อนข้างมาก การเลือกใช้วัสดุควรมีน้ำหนักเบาและทุกๆข้อต่อควรออกแบบให้มีความแข็งแรง เพราะในขณะดำเนินการวิจัยพบว่า ถ้าเลือกใช้วัสดุที่ไม่แข็งแรงพอจะทำให้โครงสร้างเกิดความเสียหายได้ ซึ่งผู้จัดทำได้มีการออกแบบและสร้างกลไกแบบ Canfield หลายครั้งด้วยกัน เนื่องจากพบปัญหาที่แตกต่างกัน ไปจึงได้ทำการแก้ไขและปรับปรุงให้ดีขึ้นตามลำดับ

5.2.3 เครื่องจำลองหุ่นแบบกลไก Canfield นี้ สามารถนำไปพัฒนาและประยุกต์ใช้เป็น Actuator ในการควบคุมแผงโซลาร์เซลล์เพื่อใช้ในการติดตามแสงอาทิตย์ได้ โดยมีแนวทางคืออาจจะนำเซนเซอร์ที่สามารถวัดความเข้มแสงมาติดไว้บนแผงโซลาร์เซลล์จำนวน 3 ตัว วางตามแนวจุดหมุนของกลไก Canfield จากนั้นนำความเข้มแสงทั้ง 3 จุด มาหาค่าเฉลี่ยที่มีค่าความเข้มของแสงตกกระทบมากที่สุด บนตำแหน่งของแผงโซลาร์เซลล์ ซึ่งอาจจะเป็นจุดของแนวโน้มที่เป็นจุดศูนย์กลางของทั้ง 3 จุด หรือจุดเซนทรอยด์ และประมวลผลโดยใช้ไมโครคอนโทรลเลอร์ เพื่อสั่งงานควบคุมทิศทางการหมุนของมอเตอร์ที่ควบคุมกลไก Canfield ให้ขับเคลื่อนแผงโซลาร์เซลล์ไปยังตำแหน่งที่มีความเข้มแสงมากที่สุดโดยอัตโนมัติ ตลอดแนวการเคลื่อนที่ตั้งแต่ทิศตะวันออกไปยังทิศตะวันตก ซึ่งข้อดีของกลไก Canfield นั้น บนระนาบของแผ่นปลายสามารถที่จะเคลื่อนที่ได้ในหลากหลายทิศทาง อาจจะส่งผลให้สามารถควบคุมแผงโซลาร์เซลล์ให้ติดตามแสงอาทิตย์ในแนวตั้งฉากได้ดีกว่าระบบ 2 แกนที่ใช้กันอย่างแพร่หลายในปัจจุบัน นอกจากนี้ กลไก Canfield ยังสามารถที่จะนำไปประยุกต์ใช้เป็น Platforms ที่นำไปติดตั้งเป็น End effector ไว้ที่ปลายแขนกลหรือหุ่นยนต์ Articulate Arm เพื่อใช้เป็นหุ่นยนต์เชื่อมที่สามารถเข้าถึงได้ในหลากหลายมุมมากยิ่งขึ้นกว่าเดิม และยังสามารถนำไปประยุกต์ใช้งานในอุตสาหกรรมอื่นๆเพื่อก่อให้เกิดประโยชน์สูงสุดต่อไปได้อีกด้วย

## รายการอ้างอิง

ชาญณรงค์ ชูสุข, ต้นแบบหุ่นยนต์แบบสามก้านโยงในอุตสาหกรรม. ปรินญาวิศวกรรมศาสตรมหาบัณฑิต สาขาวิชาวิศวกรรมเครื่องกล คณะวิศวกรรมศาสตร์ มหาวิทยาลัยเทคโนโลยีราชมงคลธัญบุรี, 2559

สุรภัฏ จารัตน์, อนันท์ เกิดสิน, การออกแบบและสร้างชุดสาธิตหุ่นยนต์เคลื่อนที่ 3 แกน. ปรินญาวิทยาศาสตรบัณฑิต สาขาวิชาวิศวกรรมแมคคาทรอนิกส์ ภาควิชาวิศวกรรมเครื่องกล คณะวิศวกรรมศาสตร์ มหาวิทยาลัยเทคโนโลยีพระจอมเกล้าพระนครเหนือ, 2557

ศุภโชค มานิกพันธุ์, การจำลองการทำงานแขนกลอุตสาหกรรมแบบ 6 ข้อต่อ โดยใช้วิธีโครนซ์ช่ายประสามเทียม. ปรินญาวิศวกรรมศาสตรมหาบัณฑิต สาขาวิชาวิศวกรรมคอมพิวเตอร์ และสารสนเทศศาสตร์ บัณฑิตวิทยาลัย มหาวิทยาลัยหอการค้าไทย, 2553

ชวัลรัตน์ ทองปิ่น, การสร้างเครื่องฝึกบินจำลองต้นแบบ. ปรินญาวิศวกรรมศาสตรมหาบัณฑิต สาขาวิชาวิศวกรรมเครื่องกล มหาวิทยาลัยเทคโนโลยีสุรนารี, 2557

อภิสิทธิ์ หล่อนกลาง, การพัฒนาเครื่องฝึกบินจำลองชนิดสามองศาอิสระ. ปรินญาวิศวกรรมศาสตรมหาบัณฑิต สาขาวิชาวิศวกรรมเครื่องกล มหาวิทยาลัยเทคโนโลยีสุรนารี, 2558

Stephen Lee Canfield, Development of the Carpal Wrist; a Symmetric, Parallel-Architecture Robotic Wrist, Virginia, pp.16-25, 1997.

Ouafae HAMDOUN, Fatima Zahra BAGHLI, Larbi EL BAKKALI, Inverse kinematic Modeling of 3RRR Parallel Robot, Morocco, 2015.

Abdul Jalil, M.K., (n.d.). Design and Development of 6-DOF Motion Platform for Vehicle Driving Simulator. Design Department, Faculty of Mechanical Engineering, Universiti Teknologi Malaysia.

Casas, S., and Alcaraz, J.M., Olanda, R., Coma, I., and Fernandez, M. (2014). Towards an Extensible Simulator of Real Motion Platform. Simulation Modelling Practice and Theory, vol.45; June, pp.50-61.

Chiew, Y.S., Abdul Jali, M.K., and Hussein, M. (2008). Kinematic Modeling of Driving Simulator Motion Platform. Proceedings of the Conference on Innovative Technologies in Intelligent Systems and Industrial Applications, Malaysia; July 12-13, pp.30-34.

Dasgupta, B., and Mruthyunjaya, T.S. (1998). A Newton-Euler formulation for the inverse dynamics of the Stewart platform manipulator, Mechanism and Machine Theory, vol.33 (8); November, pp.1135-1152.

Kim, H.S., Cho, Y.M., and Lee, K.I. (2002). Robust nonlinear task space control for a 6 DOF parallel manipulator, Automatica, vol.41 (9); September, pp.1591-1600.

Kroger, T., and Wahl, F.M. (2009). Advances in Robotics Research: Theory, Implementation, Application, Springer; 358 pp.

Rekdalsbakken, W. (2005). Design and Application of a Motion Platform in Three Degrees of Freedom. Proceedings of the 46th Conference of Simulation and Modelling, pp.269-279.

Spong, M.W., and Vidyasagar, M. (1989). Robot Dynamics and Control, Wiley & Son: New York; 352 pp.

Wu, D.S., and Gu, H.B. (2007). Adaptive Sliding Control of Six-DOF Flight Simulator Motion Platform, Chinese Journal of Aeronautics, vol.20 (5); October, pp.425-433.

Maya, M., Castillo, E., Lomeli, A., Gonzalez-Galvan, E., and Cardenas, A. (2013), Workspace and Payload-Capacity of a New Reconfigurable Delta Parallel Robot, International Journal of Advanced Robotic Systems, Vol. 10, No. 56, 1-11.

Rainundo, D., Eddie, R, L., Zambrano, E., "Delta robot controlled by robotic operating system Robot delta controlled con Sistema operative robotic (R.O.S)," International Journal, Vol, 12.1-6, June 2015.

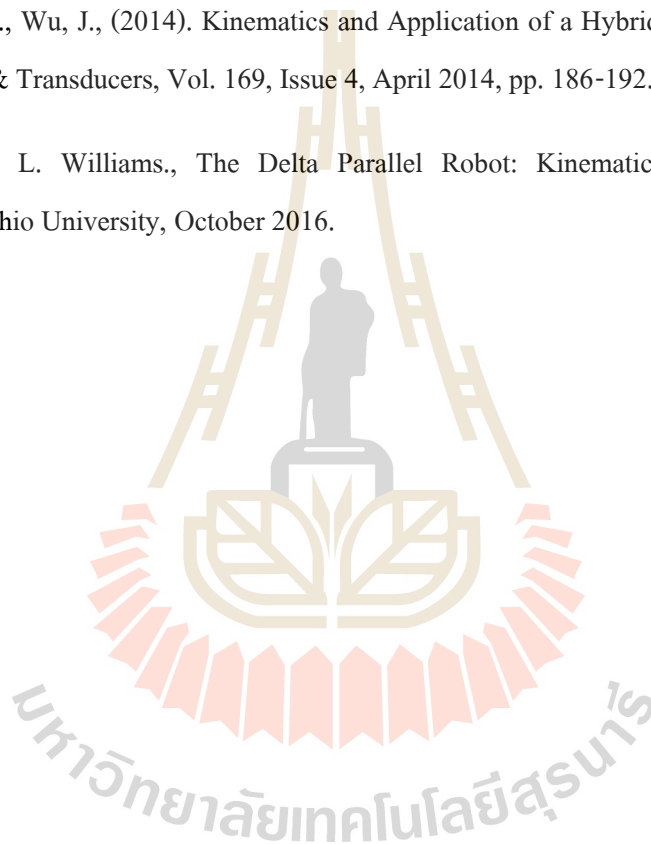
Olsson, A. (2009) Modeling and control of a Delta-3 robot. Master Thesis, Lund University, Department of Automatic Control, Sweden.

Deblasise, D. and Maurine, P. (2005), Effective Geometrical Calibration of a Delta Parallel Robot Used In Neurosurgery, IEEE-RSJ International Conference on Intelligent Robots and Systems, 2005 (IROS 2005), 1313-1381.

Ezekiel G. Merriam, Jonathan E. Jones, and Larry L. Howell, “ Design of 3D-Printed Titanium Compliant Mechanisms ” Proceedings of the 42nd Aerospace Mechanisms Symposium, NASA Goddard Space Flight Center, May 14-16, 2014.

Liu, N., Wu, J., (2014). Kinematics and Application of a Hybrid Industrial Robot-Delta-RST, Sensors & Transducers, Vol. 169, Issue 4, April 2014, pp. 186-192.

Robert L. Williams., The Delta Parallel Robot: Kinematics Solution, Mechanical Engineering, Ohio University, October 2016.





ตัวอย่างตารางบันทึกผลการทดลองที่ 4.5 (1,000 ค่า)

Angle_1	Angle_2	Angle_3	Theta_X	Theta_Y	Theta_Z	Position (X)	Position (Y)	Position (Z)
30	30	30	90	90	0.45	0	0	6.1
30	30	31	90	83	7.1	0	0.77	6.1
30	30	32	90	76	14	0	1.5	5.9
30	30	33	90	69	21	0	2.2	5.6
30	30	34	90	61	29	0	2.8	5
30	30	35	90	53	37	0	3.2	4.3
30	30	36	90	45	45	0	3.5	3.4
30	30	37	90	37	53	0	3.4	2.6
30	30	38	90	30	60	0	3.2	1.9
30	30	39	90	24	66	0	2.9	1.3
30	30	40	90	18	72	0	2.5	0.79
30	30	41	90	12	78	0	2	0.44
30	30	42	90	7.7	82	0	1.6	0.21
30	30	43	90	3.6	86	0	1.1	0.071
30	30	44	90	0.18	90	0	0.72	0.0023
30	30	45	90	2.3	92	0	0.36	-0.014
30	30	46	90	15	75	0	0.029	0.0078
30	30	47	90	170	78	0	-0.26	0.057
30	30	48	90	170	76	0	-0.52	0.13
30	30	49	90	160	74	0	-0.76	0.21
30	30	50	90	160	73	0	-0.96	0.3
30	30	51	90	160	71	0	-1.1	0.4
30	30	52	90	160	69	0	-1.3	0.5
30	30	53	90	160	67	0	-1.5	0.61



Angle_1	Angle_2	Angle_3	Theta_X	Theta_Y	Theta_Z	Position (X)	Position (Y)	Position (Z)
30	30	54	90	160	66	0	-1.6	0.72
30	30	55	90	150	64	0	-1.7	0.82
30	30	56	90	150	63	0	-1.8	0.93
30	30	57	90	150	62	0	-1.9	1
30	30	58	90	150	60	0	-2	1.1
30	30	59	90	150	59	0	-2.1	1.2
30	30	60	90	150	58	0	-2.2	1.3
30	30	61	90	150	57	0	-2.2	1.4
30	30	62	90	150	56	0	-2.3	1.5
30	30	63	90	140	55	0	-2.3	1.6
30	30	64	90	140	54	0	-2.4	1.7
30	30	65	90	140	53	0	-2.4	1.8
30	30	66	90	140	52	0	-2.5	1.9
30	30	67	90	140	51	0	-2.5	2
30	30	68	90	140	50	0	-2.5	2.1
30	30	69	90	140	49	0	-2.6	2.2
30	30	70	90	140	48	0	-2.6	2.3
30	30	71	90	140	48	0	-2.6	2.4
30	30	72	90	140	47	0	-2.6	2.5
30	30	73	90	140	46	0	-2.6	2.6
30	30	74	90	140	45	0	-2.6	2.6
30	30	75	90	130	44	0	-2.7	2.7
30	30	76	90	130	44	0	-2.7	2.8
30	30	77	90	130	43	0	-2.7	2.9
30	30	78	90	130	42	0	-2.7	3
30	30	79	90	130	41	0	-2.7	3

Angle_1	Angle_2	Angle_3	Theta_X	Theta_Y	Theta_Z	Position (X)	Position (Y)	Position (Z)
30	30	80	90	130	41	0	-2.7	3.1
30	30	81	90	130	40	0	-2.7	3.2
30	30	82	90	130	39	0	-2.7	3.3
30	30	83	90	130	39	0	-2.7	3.3
30	30	84	90	130	38	0	-2.7	3.4
30	30	85	90	130	37	0	-2.6	3.5
30	30	86	90	130	36	0	-2.6	3.6
30	30	87	90	130	36	0	-2.6	3.6
30	30	88	90	130	35	0	-2.6	3.7
30	30	89	90	120	34	0	-2.6	3.8
30	30	90	90	120	34	0	-2.6	3.8
30	31	30	93	92	3.5	-0.31	-0.21	6.2
30	31	31	93	86	5	-0.3	0.45	6.2
30	31	32	93	79	11	-0.29	1.2	6.1
30	31	33	92	72	19	-0.26	1.9	5.8
30	31	34	92	64	27	-0.22	2.6	5.3
30	31	35	92	55	35	-0.18	3.2	4.5
30	31	36	92	47	43	-0.13	3.5	3.7
30	31	37	91	39	51	-0.089	3.5	2.8
30	31	38	91	31	59	-0.052	3.3	2
30	31	39	90	24	66	-0.024	2.9	1.3
30	31	40	90	18	72	-0.0047	2.5	0.8
30	31	41	90	12	78	0.0062	2	0.43
30	31	42	90	7.4	83	0.011	1.5	0.19
30	31	43	89	3.2	87	0.011	1	0.057
30	31	44	89	0.81	90	0.0078	0.62	-0.004

Angle_1	Angle_2	Angle_3	Theta_X	Theta_Y	Theta_Z	Position (X)	Position (Y)	Position (Z)
30	31	45	89	2.4	92	0.0026	0.24	-0.0099
30	31	46	92	170	76	-0.004	-0.092	0.024
30	31	47	92	170	78	-0.011	-0.39	0.085
30	31	48	92	170	76	-0.019	-0.65	0.16
30	31	49	92	160	74	-0.027	-0.89	0.26
30	31	50	92	160	72	-0.035	-1.1	0.36
30	31	51	92	160	70	-0.043	-1.3	0.47
30	31	52	92	160	68	-0.051	-1.4	0.58
30	31	53	92	160	67	-0.059	-1.6	0.69
30	31	54	92	150	65	-0.066	-1.7	0.8
30	31	55	92	150	64	-0.073	-1.8	0.91
30	31	56	92	150	62	-0.08	-1.9	1
30	31	57	92	150	61	-0.087	-2	1.1
30	31	58	92	150	60	-0.094	-2.1	1.2
30	31	59	92	150	58	-0.1	-2.2	1.3
30	31	60	92	150	57	-0.11	-2.3	1.5
30	31	61	92	150	56	-0.11	-2.3	1.6
30	31	62	92	150	55	-0.12	-2.4	1.7
30	31	63	92	140	54	-0.12	-2.4	1.8
30	31	64	92	140	53	-0.13	-2.5	1.9
30	31	65	92	140	52	-0.13	-2.5	1.9
30	31	66	92	140	51	-0.14	-2.5	2
30	31	67	92	140	50	-0.15	-2.6	2.1
30	31	68	93	140	49	-0.15	-2.6	2.2
30	31	69	93	140	49	-0.16	-2.6	2.3
30	31	70	93	140	48	-0.16	-2.7	2.4

Angle_1	Angle_2	Angle_3	Theta_X	Theta_Y	Theta_Z	Position (X)	Position (Y)	Position (Z)
30	31	71	93	140	47	-0.16	-2.7	2.5
30	31	72	93	140	46	-0.17	-2.7	2.6
30	31	73	93	140	45	-0.17	-2.7	2.7
30	31	74	93	130	45	-0.18	-2.7	2.8
30	31	75	93	130	44	-0.18	-2.7	2.8
30	31	76	93	130	43	-0.19	-2.7	2.9
30	31	77	93	130	42	-0.19	-2.7	3
30	31	78	93	130	42	-0.19	-2.7	3.1
30	31	79	93	130	41	-0.2	-2.7	3.2
30	31	80	93	130	40	-0.2	-2.7	3.2
30	31	81	93	130	39	-0.21	-2.7	3.3
30	31	82	93	130	39	-0.21	-2.7	3.4
30	31	83	93	130	38	-0.21	-2.7	3.5
30	31	84	93	130	37	-0.22	-2.7	3.5
30	31	85	93	130	37	-0.22	-2.7	3.6
30	31	86	93	130	36	-0.22	-2.7	3.7
30	31	87	93	130	35	-0.23	-2.7	3.8
30	31	88	93	120	35	-0.23	-2.6	3.8
30	31	89	93	120	34	-0.23	-2.6	3.9
30	31	90	93	120	33	-0.24	-2.6	4
30	32	30	96	95	7.4	-0.61	-0.51	6.1
30	32	31	95	89	5.6	-0.6	0.14	6.2
30	32	32	95	82	9.6	-0.58	0.88	6.2
30	32	33	95	74	16	-0.53	1.7	6
30	32	34	94	66	24	-0.46	2.4	5.5
30	32	35	94	58	33	-0.38	3.1	4.8

Angle_1	Angle_2	Angle_3	Theta_X	Theta_Y	Theta_Z	Position (X)	Position (Y)	Position (Z)
30	32	36	93	49	41	-0.28	3.4	3.9
30	32	37	92	40	50	-0.19	3.5	3
30	32	38	92	32	58	-0.11	3.3	2.1
30	32	39	91	25	66	-0.047	3	1.4
30	32	40	90	18	72	-0.0082	2.5	0.8
30	32	41	90	12	78	0.014	2	0.42
30	32	42	89	7	83	0.022	1.4	0.18
30	32	43	89	2.9	87	0.021	0.96	0.043
30	32	44	89	1.7	91	0.013	0.52	-0.0082
30	32	45	90	1.2	91	0.0011	0.13	-0.0024
30	32	46	93	170	79	-0.013	-0.22	0.043
30	32	47	93	170	77	-0.029	-0.52	0.12
30	32	48	93	160	75	-0.045	-0.78	0.21
30	32	49	93	160	73	-0.062	-1	0.31
30	32	50	93	160	71	-0.079	-1.2	0.42
30	32	51	94	160	69	-0.095	-1.4	0.53
30	32	52	94	160	67	-0.11	-1.6	0.65
30	32	53	94	160	66	-0.13	-1.7	0.77
30	32	54	94	150	64	-0.14	-1.8	0.88
30	32	55	94	150	63	-0.15	-1.9	1
30	32	56	94	150	61	-0.17	-2	1.1
30	32	57	94	150	60	-0.18	-2.1	1.2
30	32	58	94	150	59	-0.2	-2.2	1.3
30	32	59	94	150	58	-0.21	-2.3	1.4
30	32	60	94	150	57	-0.22	-2.3	1.5
30	32	61	95	150	56	-0.23	-2.4	1.7

Angle_1	Angle_2	Angle_3	Theta_X	Theta_Y	Theta_Z	Position (X)	Position (Y)	Position (Z)
30	32	62	95	140	55	-0.24	-2.5	1.8
30	32	63	95	140	54	-0.25	-2.5	1.9
30	32	64	95	140	53	-0.26	-2.5	2
30	32	65	95	140	52	-0.27	-2.6	2.1
30	32	66	95	140	51	-0.28	-2.6	2.1
30	32	67	95	140	50	-0.29	-2.6	2.2
30	32	68	95	140	49	-0.3	-2.7	2.3
30	32	69	95	140	48	-0.31	-2.7	2.4
30	32	70	95	140	47	-0.32	-2.7	2.5
30	32	71	95	140	47	-0.33	-2.7	2.6
30	32	72	95	140	46	-0.34	-2.7	2.7
30	32	73	95	130	45	-0.35	-2.7	2.8
30	32	74	95	130	44	-0.36	-2.8	2.9
30	32	75	95	130	43	-0.37	-2.8	2.9
30	32	76	95	130	43	-0.37	-2.8	3
30	32	77	95	130	42	-0.38	-2.8	3.1
30	32	78	95	130	41	-0.39	-2.8	3.2
30	32	79	95	130	41	-0.4	-2.8	3.3
30	32	80	95	130	40	-0.4	-2.8	3.3
30	32	81	95	130	39	-0.41	-2.8	3.4
30	32	82	95	130	39	-0.42	-2.7	3.5
30	32	83	95	130	38	-0.42	-2.7	3.6
30	32	84	95	130	37	-0.43	-2.7	3.6
30	32	85	95	130	37	-0.44	-2.7	3.7
30	32	86	95	130	36	-0.44	-2.7	3.8
30	32	87	95	120	35	-0.45	-2.7	3.8

Angle_1	Angle_2	Angle_3	Theta_X	Theta_Y	Theta_Z	Position (X)	Position (Y)	Position (Z)
30	32	88	96	120	35	-0.46	-2.7	3.9
30	32	89	96	120	34	-0.46	-2.6	4
30	32	90	96	120	33	-0.47	-2.6	4
30	33	30	98	97	11	-0.88	-0.78	6
30	33	31	98	91	8.2	-0.88	-0.16	6.2
30	33	32	98	85	9.3	-0.86	0.57	6.3
30	33	33	97	77	15	-0.8	1.4	6.1
30	33	34	97	69	22	-0.71	2.2	5.7
30	33	35	96	60	31	-0.58	2.9	5
30	33	36	95	51	40	-0.44	3.4	4.1
30	33	37	94	42	49	-0.29	3.5	3.1
30	33	38	92	33	57	-0.16	3.4	2.2
30	33	39	91	25	65	-0.071	3	1.4
30	33	40	90	18	72	-0.01	2.5	0.81
30	33	41	89	12	78	0.022	1.9	0.4
30	33	42	89	6.6	84	0.033	1.4	0.16
30	33	43	88	2.8	88	0.029	0.87	0.031
30	33	44	88	2.5	91	0.015	0.41	-0.01
30	33	45	110	42	54	-0.005	0.011	0.0085
30	33	46	95	170	79	-0.028	-0.34	0.067
30	33	47	95	170	77	-0.053	-0.65	0.15
30	33	48	95	160	75	-0.079	-0.91	0.25
30	33	49	95	160	72	-0.1	-1.1	0.37
30	33	50	95	160	70	-0.13	-1.3	0.48
30	33	51	95	160	68	-0.15	-1.5	0.6
30	33	52	96	160	67	-0.18	-1.7	0.72

Angle_1	Angle_2	Angle_3	Theta_X	Theta_Y	Theta_Z	Position (X)	Position (Y)	Position (Z)
30	33	53	96	150	65	-0.2	-1.8	0.85
30	33	54	96	150	64	-0.22	-1.9	0.97
30	33	55	96	150	62	-0.24	-2	1.1
30	33	56	96	150	61	-0.26	-2.1	1.2
30	33	57	96	150	60	-0.28	-2.2	1.3
30	33	58	96	150	58	-0.3	-2.3	1.4
30	33	59	96	150	57	-0.32	-2.4	1.5
30	33	60	97	150	56	-0.34	-2.4	1.6
30	33	61	97	140	55	-0.35	-2.5	1.7
30	33	62	97	140	54	-0.37	-2.5	1.8
30	33	63	97	140	53	-0.39	-2.6	1.9
30	33	64	97	140	52	-0.4	-2.6	2
30	33	65	97	140	51	-0.42	-2.6	2.1
30	33	66	97	140	50	-0.43	-2.7	2.2
30	33	67	97	140	49	-0.45	-2.7	2.3
30	33	68	97	140	49	-0.46	-2.7	2.4
30	33	69	97	140	48	-0.47	-2.7	2.5
30	33	70	97	140	47	-0.49	-2.7	2.6
30	33	71	97	140	46	-0.5	-2.8	2.7
30	33	72	97	130	45	-0.51	-2.8	2.8
30	33	73	97	130	45	-0.52	-2.8	2.9
30	33	74	98	130	44	-0.54	-2.8	2.9
30	33	75	98	130	43	-0.55	-2.8	3
30	33	76	98	130	43	-0.56	-2.8	3.1
30	33	77	98	130	42	-0.57	-2.8	3.2
30	33	78	98	130	41	-0.58	-2.8	3.3



Angle_1	Angle_2	Angle_3	Theta_X	Theta_Y	Theta_Z	Position (X)	Position (Y)	Position (Z)
30	33	79	98	130	40	-0.59	-2.8	3.3
30	33	80	98	130	40	-0.6	-2.8	3.4
30	33	81	98	130	39	-0.61	-2.8	3.5
30	33	82	98	130	38	-0.62	-2.8	3.6
30	33	83	98	130	38	-0.63	-2.7	3.6
30	33	84	98	130	37	-0.64	-2.7	3.7
30	33	85	98	130	36	-0.65	-2.7	3.8
30	33	86	98	120	36	-0.66	-2.7	3.8
30	33	87	98	120	35	-0.67	-2.7	3.9
30	33	88	98	120	35	-0.68	-2.7	4
30	33	89	98	120	34	-0.68	-2.6	4.1
30	33	90	98	120	33	-0.69	-2.6	4.1
30	34	30	100	100	15	-1.1	-1	5.9
30	34	31	100	94	11	-1.1	-0.45	6.1
30	34	32	100	88	10	-1.1	0.27	6.3
30	34	33	100	80	14	-1.1	1.1	6.2
30	34	34	99	72	20	-0.95	2	5.9
30	34	35	98	62	29	-0.8	2.8	5.2
30	34	36	96	53	38	-0.6	3.3	4.3
30	34	37	95	43	47	-0.4	3.6	3.3
30	34	38	93	34	56	-0.23	3.4	2.3
30	34	39	92	25	65	-0.094	3	1.4
30	34	40	90	18	72	-0.011	2.5	0.81
30	34	41	89	12	79	0.032	1.9	0.39
30	34	42	88	6.3	84	0.043	1.3	0.14
30	34	43	87	2.9	89	0.035	0.78	0.019

Angle_1	Angle_2	Angle_3	Theta_X	Theta_Y	Theta_Z	Position (X)	Position (Y)	Position (Z)
30	34	44	88	3	92	0.013	0.3	-0.0091
30	34	45	98	170	78	-0.016	-0.11	0.023
30	34	46	96	170	79	-0.049	-0.47	0.095
30	34	47	96	160	76	-0.084	-0.77	0.19
30	34	48	96	160	74	-0.12	-1	0.3
30	34	49	97	160	72	-0.15	-1.3	0.42
30	34	50	97	160	70	-0.19	-1.5	0.55
30	34	51	97	160	68	-0.22	-1.6	0.67
30	34	52	97	150	66	-0.25	-1.8	0.8
30	34	53	98	150	64	-0.28	-1.9	0.92
30	34	54	98	150	63	-0.31	-2	1
30	34	55	98	150	62	-0.34	-2.1	1.2
30	34	56	98	150	60	-0.36	-2.2	1.3
30	34	57	98	150	59	-0.39	-2.3	1.4
30	34	58	98	150	58	-0.41	-2.4	1.5
30	34	59	98	150	57	-0.44	-2.4	1.6
30	34	60	99	140	56	-0.46	-2.5	1.7
30	34	61	99	140	55	-0.48	-2.5	1.8
30	34	62	99	140	54	-0.5	-2.6	1.9
30	34	63	99	140	53	-0.52	-2.6	2
30	34	64	99	140	52	-0.54	-2.6	2.1
30	34	65	99	140	51	-0.56	-2.7	2.2
30	34	66	99	140	50	-0.58	-2.7	2.3
30	34	67	99	140	49	-0.6	-2.7	2.4
30	34	68	99	140	48	-0.61	-2.7	2.5
30	34	69	99	140	48	-0.63	-2.8	2.6

Angle_1	Angle_2	Angle_3	Theta_X	Theta_Y	Theta_Z	Position (X)	Position (Y)	Position (Z)
30	34	70	100	140	47	-0.65	-2.8	2.7
30	34	71	100	130	46	-0.66	-2.8	2.8
30	34	72	100	130	45	-0.68	-2.8	2.8
30	34	73	100	130	45	-0.69	-2.8	2.9
30	34	74	100	130	44	-0.71	-2.8	3
30	34	75	100	130	43	-0.72	-2.8	3.1
30	34	76	100	130	42	-0.74	-2.8	3.2
30	34	77	100	130	42	-0.75	-2.8	3.3
30	34	78	100	130	41	-0.77	-2.8	3.3
30	34	79	100	130	40	-0.78	-2.8	3.4
30	34	80	100	130	40	-0.79	-2.8	3.5
30	34	81	100	130	39	-0.8	-2.8	3.6
30	34	82	100	130	38	-0.82	-2.8	3.6
30	34	83	100	130	38	-0.83	-2.7	3.7
30	34	84	100	130	37	-0.84	-2.7	3.8
30	34	85	100	120	37	-0.85	-2.7	3.8
30	34	86	100	120	36	-0.86	-2.7	3.9
30	34	87	100	120	35	-0.87	-2.7	4
30	34	88	100	120	35	-0.89	-2.7	4
30	34	89	100	120	34	-0.9	-2.6	4.1
30	34	90	100	120	34	-0.91	-2.6	4.2
30	35	30	100	100	18	-1.4	-1.3	5.8
30	35	31	100	97	14	-1.4	-0.71	6
30	35	32	100	90	12	-1.4	-0.025	6.2
30	35	33	100	83	14	-1.3	0.8	6.2
30	35	34	100	74	19	-1.2	1.7	6

Angle_1	Angle_2	Angle_3	Theta_X	Theta_Y	Theta_Z	Position (X)	Position (Y)	Position (Z)
30	35	35	100	65	27	-1	2.6	5.4
30	35	36	98	55	36	-0.78	3.2	4.5
30	35	37	96	45	46	-0.52	3.6	3.5
30	35	38	94	35	56	-0.29	3.5	2.4
30	35	39	92	26	64	-0.12	3.1	1.5
30	35	40	90	18	72	-0.0095	2.5	0.8
30	35	41	89	11	79	0.042	1.9	0.37
30	35	42	88	6	85	0.053	1.2	0.12
30	35	43	87	3.3	89	0.038	0.68	0.0094
30	35	44	88	2.7	92	0.0071	0.19	-0.0051
30	35	45	98	170	80	-0.032	-0.23	0.042
30	35	46	97	170	78	-0.076	-0.59	0.13
30	35	47	97	160	75	-0.12	-0.9	0.23
30	35	48	98	160	73	-0.17	-1.2	0.36
30	35	49	98	160	71	-0.21	-1.4	0.48
30	35	50	98	160	69	-0.25	-1.6	0.61
30	35	51	99	160	67	-0.29	-1.7	0.75
30	35	52	99	150	65	-0.33	-1.9	0.87
30	35	53	99	150	64	-0.37	-2	1
30	35	54	100	150	62	-0.4	-2.1	1.1
30	35	55	100	150	61	-0.43	-2.2	1.2
30	35	56	100	150	60	-0.47	-2.3	1.4
30	35	57	100	150	58	-0.5	-2.4	1.5
30	35	58	100	150	57	-0.52	-2.4	1.6
30	35	59	100	140	56	-0.55	-2.5	1.7
30	35	60	100	140	55	-0.58	-2.5	1.8

Angle_1	Angle_2	Angle_3	Theta_X	Theta_Y	Theta_Z	Position (X)	Position (Y)	Position (Z)
30	35	61	100	140	54	-0.61	-2.6	1.9
30	35	62	100	140	53	-0.63	-2.6	2
30	35	63	100	140	52	-0.65	-2.7	2.1
30	35	64	100	140	51	-0.68	-2.7	2.2
30	35	65	100	140	51	-0.7	-2.7	2.3
30	35	66	100	140	50	-0.72	-2.7	2.4
30	35	67	100	140	49	-0.74	-2.8	2.5
30	35	68	100	140	48	-0.76	-2.8	2.6
30	35	69	100	140	47	-0.78	-2.8	2.7
30	35	70	100	130	47	-0.8	-2.8	2.7
30	35	71	100	130	46	-0.82	-2.8	2.8
30	35	72	100	130	45	-0.84	-2.8	2.9
30	35	73	100	130	44	-0.86	-2.8	3
30	35	74	100	130	44	-0.88	-2.8	3.1
30	35	75	100	130	43	-0.89	-2.8	3.2
30	35	76	100	130	42	-0.91	-2.8	3.2
30	35	77	100	130	42	-0.93	-2.8	3.3
30	35	78	100	130	41	-0.94	-2.8	3.4
30	35	79	100	130	40	-0.96	-2.8	3.5
30	35	80	100	130	40	-0.97	-2.8	3.5
30	35	81	100	130	39	-0.99	-2.8	3.6
30	35	82	100	130	39	-1	-2.7	3.7
30	35	83	100	130	38	-1	-2.7	3.7
30	35	84	100	120	37	-1	-2.7	3.8
30	35	85	100	120	37	-1	-2.7	3.9
30	35	86	100	120	36	-1.1	-2.7	3.9

Angle_1	Angle_2	Angle_3	Theta_X	Theta_Y	Theta_Z	Position (X)	Position (Y)	Position (Z)
30	35	87	100	120	36	-1.1	-2.7	4
30	35	88	100	120	35	-1.1	-2.6	4.1
30	35	89	100	120	34	-1.1	-2.6	4.1
30	35	90	100	120	34	-1.1	-2.6	4.2
30	36	30	110	100	21	-1.6	-1.5	5.6
30	36	31	100	99	17	-1.6	-0.95	5.9
30	36	32	100	93	15	-1.6	-0.3	6.1
30	36	33	100	85	15	-1.5	0.51	6.2
30	36	34	100	77	18	-1.4	1.4	6.1
30	36	35	100	67	26	-1.2	2.4	5.6
30	36	36	100	57	35	-0.95	3.1	4.7
30	36	37	97	46	45	-0.64	3.5	3.6
30	36	38	95	36	55	-0.35	3.5	2.5
30	36	39	92	26	64	-0.14	3.1	1.5
30	36	40	90	18	72	-0.0065	2.5	0.8
30	36	41	88	11	79	0.053	1.8	0.34
30	36	42	87	5.8	85	0.062	1.2	0.099
30	36	43	86	3.9	90	0.038	0.57	0.0018
30	36	44	93	3.5	88	-0.0033	0.067	0.0024
30	36	45	98	170	80	-0.054	-0.36	0.064
30	36	46	98	160	77	-0.11	-0.72	0.16
30	36	47	99	160	75	-0.16	-1	0.28
30	36	48	99	160	72	-0.22	-1.3	0.41
30	36	49	100	160	70	-0.27	-1.5	0.55
30	36	50	100	160	68	-0.32	-1.7	0.68
30	36	51	100	150	66	-0.37	-1.8	0.82

Angle_1	Angle_2	Angle_3	Theta_X	Theta_Y	Theta_Z	Position (X)	Position (Y)	Position (Z)
30	36	52	100	150	65	-0.41	-2	0.95
30	36	53	100	150	63	-0.45	-2.1	1.1
30	36	54	100	150	62	-0.49	-2.2	1.2
30	36	55	100	150	60	-0.53	-2.3	1.3
30	36	56	100	150	59	-0.57	-2.3	1.4
30	36	57	100	150	58	-0.6	-2.4	1.6
30	36	58	100	140	57	-0.64	-2.5	1.7
30	36	59	100	140	56	-0.67	-2.5	1.8
30	36	60	100	140	55	-0.7	-2.6	1.9
30	36	61	100	140	54	-0.73	-2.6	2
30	36	62	100	140	53	-0.76	-2.7	2.1
30	36	63	100	140	52	-0.78	-2.7	2.2
30	36	64	100	140	51	-0.81	-2.7	2.3
30	36	65	100	140	50	-0.84	-2.7	2.4
30	36	66	100	140	50	-0.86	-2.8	2.5
30	36	67	100	140	49	-0.89	-2.8	2.5
30	36	68	100	130	48	-0.91	-2.8	2.6
30	36	69	100	130	47	-0.93	-2.8	2.7
30	36	70	100	130	47	-0.95	-2.8	2.8
30	36	71	100	130	46	-0.97	-2.8	2.9
30	36	72	100	130	45	-0.99	-2.8	3
30	36	73	100	130	44	-1	-2.8	3
30	36	74	100	130	44	-1	-2.8	3.1
30	36	75	100	130	43	-1.1	-2.8	3.2
30	36	76	100	130	42	-1.1	-2.8	3.3
30	36	77	100	130	42	-1.1	-2.8	3.3

Angle_1	Angle_2	Angle_3	Theta_X	Theta_Y	Theta_Z	Position (X)	Position (Y)	Position (Z)
30	36	78	100	130	41	-1.1	-2.8	3.4
30	36	79	100	130	41	-1.1	-2.8	3.5
30	36	80	100	130	40	-1.1	-2.8	3.6
30	36	81	100	130	39	-1.2	-2.7	3.6
30	36	82	100	130	39	-1.2	-2.7	3.7
30	36	83	100	120	38	-1.2	-2.7	3.8
30	36	84	100	120	38	-1.2	-2.7	3.8
30	36	85	100	120	37	-1.2	-2.7	3.9
30	36	86	100	120	36	-1.2	-2.7	4
30	36	87	100	120	36	-1.3	-2.6	4
30	36	88	100	120	35	-1.3	-2.6	4.1
30	36	89	100	120	35	-1.3	-2.6	4.2
30	36	90	100	120	34	-1.3	-2.6	4.2
30	37	30	110	110	24	-1.7	-1.6	5.4
30	37	31	110	100	20	-1.8	-1.2	5.7
30	37	32	110	95	17	-1.8	-0.55	6
30	37	33	110	88	16	-1.8	0.23	6.1
30	37	34	100	80	18	-1.7	1.2	6.1
30	37	35	100	70	24	-1.4	2.1	5.7
30	37	36	100	59	33	-1.1	3	4.9
30	37	37	98	48	43	-0.77	3.5	3.8
30	37	38	95	37	54	-0.42	3.5	2.6
30	37	39	93	26	64	-0.16	3.1	1.6
30	37	40	90	18	72	-0.0016	2.5	0.79
30	37	41	88	11	80	0.065	1.8	0.32
30	37	42	86	5.7	86	0.069	1.1	0.08



Angle_1	Angle_2	Angle_3	Theta_X	Theta_Y	Theta_Z	Position (X)	Position (Y)	Position (Z)
30	37	43	86	4.4	90	0.035	0.46	-0.0034
30	37	44	110	160	77	-0.018	-0.053	0.013
30	37	45	99	170	80	-0.081	-0.48	0.09
30	37	46	100	160	77	-0.15	-0.84	0.2
30	37	47	100	160	74	-0.21	-1.1	0.33
30	37	48	100	160	72	-0.28	-1.4	0.47
30	37	49	100	160	69	-0.34	-1.6	0.61
30	37	50	100	150	67	-0.39	-1.8	0.75
30	37	51	100	150	66	-0.45	-1.9	0.89
30	37	52	100	150	64	-0.5	-2	1
30	37	53	100	150	63	-0.55	-2.2	1.1
30	37	54	100	150	61	-0.59	-2.2	1.3
30	37	55	100	150	60	-0.63	-2.3	1.4
30	37	56	100	150	59	-0.67	-2.4	1.5
30	37	57	100	140	58	-0.71	-2.5	1.6
30	37	58	100	140	57	-0.75	-2.5	1.7
30	37	59	100	140	56	-0.78	-2.6	1.8
30	37	60	100	140	55	-0.82	-2.6	1.9
30	37	61	100	140	54	-0.85	-2.6	2
30	37	62	100	140	53	-0.88	-2.7	2.1
30	37	63	100	140	52	-0.91	-2.7	2.2
30	37	64	100	140	51	-0.94	-2.7	2.3
30	37	65	100	140	50	-0.97	-2.7	2.4
30	37	66	100	140	49	-1	-2.8	2.5
30	37	67	110	130	49	-1	-2.8	2.6
30	37	68	110	130	48	-1	-2.8	2.7

Angle_1	Angle_2	Angle_3	Theta_X	Theta_Y	Theta_Z	Position (X)	Position (Y)	Position (Z)
30	37	69	110	130	47	-1.1	-2.8	2.8
30	37	70	110	130	47	-1.1	-2.8	2.8
30	37	71	110	130	46	-1.1	-2.8	2.9
30	37	72	110	130	45	-1.1	-2.8	3
30	37	73	110	130	45	-1.2	-2.8	3.1
30	37	74	110	130	44	-1.2	-2.8	3.2
30	37	75	110	130	43	-1.2	-2.8	3.2
30	37	76	110	130	43	-1.2	-2.8	3.3
30	37	77	110	130	42	-1.2	-2.8	3.4
30	37	78	110	130	41	-1.3	-2.8	3.5
30	37	79	110	130	41	-1.3	-2.8	3.5
30	37	80	110	130	40	-1.3	-2.7	3.6
30	37	81	110	130	40	-1.3	-2.7	3.7
30	37	82	110	120	39	-1.3	-2.7	3.7
30	37	83	110	120	39	-1.4	-2.7	3.8
30	37	84	110	120	38	-1.4	-2.7	3.9
30	37	85	110	120	37	-1.4	-2.7	3.9
30	37	86	110	120	37	-1.4	-2.6	4
30	37	87	110	120	36	-1.4	-2.6	4
30	37	88	110	120	36	-1.4	-2.6	4.1
30	37	89	110	120	35	-1.5	-2.6	4.2
30	37	90	110	120	35	-1.5	-2.5	4.2
30	38	30	110	110	26	-1.9	-1.8	5.2
30	38	31	110	100	23	-1.9	-1.3	5.6
30	38	32	110	97	20	-2	-0.78	5.9
30	38	33	110	90	18	-1.9	-0.039	6.1

Angle_1	Angle_2	Angle_3	Theta_X	Theta_Y	Theta_Z	Position (X)	Position (Y)	Position (Z)
30	38	34	110	82	19	-1.9	0.88	6.1
30	38	35	110	72	24	-1.7	1.9	5.8
30	38	36	100	61	32	-1.3	2.9	5.1
30	38	37	100	49	42	-0.9	3.5	4
30	38	38	96	38	53	-0.49	3.6	2.7
30	38	39	93	27	63	-0.18	3.1	1.6
30	38	40	90	18	72	0.0052	2.5	0.78
30	38	41	87	10	80	0.077	1.7	0.3
30	38	42	86	5.7	86	0.074	0.97	0.062
30	38	43	85	4.7	91	0.028	0.35	-0.0056
30	38	44	100	160	81	-0.039	-0.18	0.028
30	38	45	100	160	79	-0.11	-0.6	0.12
30	38	46	100	160	76	-0.19	-0.95	0.24
30	38	47	100	160	73	-0.27	-1.2	0.38
30	38	48	100	160	71	-0.34	-1.5	0.53
30	38	49	100	150	69	-0.41	-1.7	0.67
30	38	50	100	150	67	-0.47	-1.8	0.82
30	38	51	100	150	65	-0.53	-2	0.95
30	38	52	100	150	64	-0.58	-2.1	1.1
30	38	53	100	150	62	-0.64	-2.2	1.2
30	38	54	100	150	61	-0.69	-2.3	1.3
30	38	55	100	150	60	-0.73	-2.4	1.5
30	38	56	100	140	58	-0.78	-2.4	1.6
30	38	57	110	140	57	-0.82	-2.5	1.7
30	38	58	110	140	56	-0.86	-2.5	1.8
30	38	59	110	140	55	-0.9	-2.6	1.9

Angle_1	Angle_2	Angle_3	Theta_X	Theta_Y	Theta_Z	Position (X)	Position (Y)	Position (Z)
30	38	60	110	140	54	-0.93	-2.6	2
30	38	61	110	140	53	-0.97	-2.7	2.1
30	38	62	110	140	53	-1	-2.7	2.2
30	38	63	110	140	52	-1	-2.7	2.3
30	38	64	110	140	51	-1.1	-2.7	2.4
30	38	65	110	140	50	-1.1	-2.7	2.5
30	38	66	110	130	49	-1.1	-2.8	2.6
30	38	67	110	130	49	-1.2	-2.8	2.6
30	38	68	110	130	48	-1.2	-2.8	2.7
30	38	69	110	130	47	-1.2	-2.8	2.8
30	38	70	110	130	47	-1.2	-2.8	2.9
30	38	71	110	130	46	-1.3	-2.8	3
30	38	72	110	130	45	-1.3	-2.8	3
30	38	73	110	130	45	-1.3	-2.8	3.1
30	38	74	110	130	44	-1.3	-2.8	3.2
30	38	75	110	130	43	-1.3	-2.8	3.3
30	38	76	110	130	43	-1.4	-2.8	3.3
30	38	77	110	130	42	-1.4	-2.8	3.4
30	38	78	110	130	42	-1.4	-2.7	3.5
30	38	79	110	130	41	-1.4	-2.7	3.5
30	38	80	110	120	40	-1.5	-2.7	3.6
30	38	81	110	120	40	-1.5	-2.7	3.7
30	38	82	110	120	39	-1.5	-2.7	3.7
30	38	83	110	120	39	-1.5	-2.7	3.8
30	38	84	110	120	38	-1.5	-2.6	3.9
30	38	85	110	120	38	-1.5	-2.6	3.9

Angle_1	Angle_2	Angle_3	Theta_X	Theta_Y	Theta_Z	Position (X)	Position (Y)	Position (Z)
30	38	86	110	120	37	-1.6	-2.6	4
30	38	87	110	120	37	-1.6	-2.6	4
30	38	88	110	120	36	-1.6	-2.6	4.1
30	38	89	110	120	36	-1.6	-2.5	4.2
30	38	90	110	120	35	-1.6	-2.5	4.2
30	39	30	110	110	29	-2	-1.9	5
30	39	31	110	100	25	-2.1	-1.5	5.4
30	39	32	110	99	22	-2.1	-0.99	5.7
30	39	33	110	93	20	-2.1	-0.28	6
30	39	34	110	84	19	-2	0.62	6.1
30	39	35	110	75	23	-1.8	1.7	5.9
30	39	36	100	63	31	-1.5	2.7	5.2
30	39	37	100	51	41	-1	3.4	4.1
30	39	38	97	39	52	-0.56	3.6	2.8
30	39	39	93	27	63	-0.19	3.2	1.6
30	39	40	90	17	73	0.014	2.4	0.76
30	39	41	87	9.9	81	0.088	1.6	0.27
30	39	42	85	5.8	87	0.076	0.87	0.045
30	39	43	86	4.4	91	0.017	0.23	-0.0048
30	39	44	100	170	81	-0.064	-0.3	0.047
30	39	45	100	160	78	-0.15	-0.72	0.15
30	39	46	100	160	75	-0.24	-1.1	0.29
30	39	47	100	160	73	-0.32	-1.3	0.44
30	39	48	100	160	70	-0.4	-1.6	0.59
30	39	49	100	150	68	-0.48	-1.8	0.74
30	39	50	100	150	66	-0.55	-1.9	0.88

Angle_1	Angle_2	Angle_3	Theta_X	Theta_Y	Theta_Z	Position (X)	Position (Y)	Position (Z)
30	39	51	100	150	65	-0.61	-2.1	1
30	39	52	110	150	63	-0.67	-2.2	1.2
30	39	53	110	150	62	-0.73	-2.3	1.3
30	39	54	110	150	60	-0.78	-2.3	1.4
30	39	55	110	140	59	-0.83	-2.4	1.5
30	39	56	110	140	58	-0.88	-2.5	1.6
30	39	57	110	140	57	-0.92	-2.5	1.8
30	39	58	110	140	56	-0.96	-2.6	1.9
30	39	59	110	140	55	-1	-2.6	2
30	39	60	110	140	54	-1	-2.6	2.1
30	39	61	110	140	53	-1.1	-2.7	2.2
30	39	62	110	140	52	-1.1	-2.7	2.2
30	39	63	110	140	52	-1.1	-2.7	2.3
30	39	64	110	140	51	-1.2	-2.7	2.4
30	39	65	110	130	50	-1.2	-2.7	2.5
30	39	66	110	130	49	-1.2	-2.8	2.6
30	39	67	110	130	49	-1.3	-2.8	2.7
30	39	68	110	130	48	-1.3	-2.8	2.8
30	39	69	110	130	47	-1.3	-2.8	2.8
30	39	70	110	130	47	-1.4	-2.8	2.9
30	39	71	110	130	46	-1.4	-2.8	3
30	39	72	110	130	45	-1.4	-2.8	3.1
30	39	73	110	130	45	-1.4	-2.8	3.1
30	39	74	110	130	44	-1.5	-2.8	3.2
30	39	75	110	130	44	-1.5	-2.7	3.3
30	39	76	110	130	43	-1.5	-2.7	3.3

Angle_1	Angle_2	Angle_3	Theta_X	Theta_Y	Theta_Z	Position (X)	Position (Y)	Position (Z)
30	39	77	110	130	42	-1.5	-2.7	3.4
30	39	78	110	130	42	-1.5	-2.7	3.5
30	39	79	110	120	41	-1.6	-2.7	3.5
30	39	80	110	120	41	-1.6	-2.7	3.6
30	39	81	110	120	40	-1.6	-2.7	3.7
30	39	82	110	120	40	-1.6	-2.7	3.7
30	39	83	110	120	39	-1.6	-2.6	3.8
30	39	84	110	120	39	-1.7	-2.6	3.9
30	39	85	110	120	38	-1.7	-2.6	3.9
30	39	86	110	120	38	-1.7	-2.6	4
30	39	87	110	120	37	-1.7	-2.5	4
30	39	88	110	120	37	-1.7	-2.5	4.1
30	39	89	110	120	36	-1.8	-2.5	4.2
30	39	90	110	120	36	-1.8	-2.5	4.2
30	40	30	110	110	31	-2.1	-2	4.8
30	40	31	110	110	28	-2.2	-1.6	5.2
30	40	32	110	100	25	-2.2	-1.2	5.5
30	40	33	110	95	22	-2.3	-0.51	5.8
30	40	34	110	87	20	-2.2	0.36	6
30	40	35	110	77	23	-2	1.4	5.9
30	40	36	110	66	30	-1.7	2.5	5.3
30	40	37	100	53	40	-1.2	3.4	4.3
30	40	38	98	39	52	-0.62	3.6	2.9
30	40	39	93	27	63	-0.21	3.2	1.6
30	40	40	89	17	73	0.025	2.4	0.74
30	40	41	86	9.6	81	0.099	1.5	0.24

Angle_1	Angle_2	Angle_3	Theta_X	Theta_Y	Theta_Z	Position (X)	Position (Y)	Position (Z)
30	40	42	84	6.1	88	0.075	0.76	0.03
30	40	43	89	0.72	90	0.0013	0.11	-0.00045
30	40	44	100	160	81	-0.094	-0.42	0.069
30	40	45	100	160	78	-0.19	-0.84	0.19
30	40	46	100	160	74	-0.29	-1.2	0.34
30	40	47	100	160	72	-0.39	-1.4	0.49
30	40	48	100	150	70	-0.47	-1.7	0.65
30	40	49	110	150	67	-0.55	-1.8	0.8
30	40	50	110	150	66	-0.63	-2	0.94
30	40	51	110	150	64	-0.7	-2.1	1.1
30	40	52	110	150	63	-0.76	-2.2	1.2
30	40	53	110	150	61	-0.82	-2.3	1.3
30	40	54	110	140	60	-0.87	-2.4	1.5
30	40	55	110	140	59	-0.93	-2.4	1.6
30	40	56	110	140	58	-0.98	-2.5	1.7
30	40	57	110	140	57	-1	-2.6	1.8
30	40	58	110	140	56	-1.1	-2.6	1.9
30	40	59	110	140	55	-1.1	-2.6	2
30	40	60	110	140	54	-1.1	-2.7	2.1
30	40	61	110	140	53	-1.2	-2.7	2.2
30	40	62	110	140	52	-1.2	-2.7	2.3
30	40	63	110	140	52	-1.3	-2.7	2.4
30	40	64	110	130	51	-1.3	-2.7	2.5
30	40	65	110	130	50	-1.3	-2.7	2.5
30	40	66	110	130	49	-1.4	-2.7	2.6
30	40	67	110	130	49	-1.4	-2.8	2.7



Angle_1	Angle_2	Angle_3	Theta_X	Theta_Y	Theta_Z	Position (X)	Position (Y)	Position (Z)
30	40	68	110	130	48	-1.4	-2.8	2.8
30	40	69	110	130	47	-1.4	-2.8	2.9
30	40	70	110	130	47	-1.5	-2.8	2.9
30	40	71	110	130	46	-1.5	-2.8	3
30	40	72	110	130	46	-1.5	-2.7	3.1
30	40	73	110	130	45	-1.6	-2.7	3.2
30	40	74	110	130	44	-1.6	-2.7	3.2
30	40	75	110	130	44	-1.6	-2.7	3.3
30	40	76	110	130	43	-1.6	-2.7	3.4
30	40	77	110	130	43	-1.6	-2.7	3.4
30	40	78	110	120	42	-1.7	-2.7	3.5
30	40	79	110	120	42	-1.7	-2.7	3.6
30	40	80	110	120	41	-1.7	-2.7	3.6
30	40	81	110	120	41	-1.7	-2.6	3.7
30	40	82	110	120	40	-1.8	-2.6	3.7
30	40	83	110	120	40	-1.8	-2.6	3.8
30	40	84	110	120	39	-1.8	-2.6	3.9
30	40	85	110	120	39	-1.8	-2.6	3.9
30	40	86	110	120	38	-1.8	-2.5	4
30	40	87	110	120	38	-1.8	-2.5	4
30	40	88	110	120	37	-1.9	-2.5	4.1
30	40	89	110	120	37	-1.9	-2.5	4.1
30	40	90	110	120	36	-1.9	-2.4	4.2
30	41	30	110	110	33	-2.2	-2.1	4.7
30	41	31	110	110	30	-2.3	-1.8	5
30	41	32	110	100	27	-2.3	-1.3	5.4

Angle_1	Angle_2	Angle_3	Theta_X	Theta_Y	Theta_Z	Position (X)	Position (Y)	Position (Z)
30	41	33	110	97	24	-2.4	-0.71	5.7
30	41	34	110	89	22	-2.4	0.13	5.9
30	41	35	110	79	23	-2.2	1.2	5.9
30	41	36	110	68	29	-1.8	2.4	5.4
30	41	37	100	54	39	-1.3	3.3	4.4
30	41	38	98	40	51	-0.69	3.6	3
30	41	39	93	28	63	-0.22	3.2	1.6
30	41	40	89	17	73	0.037	2.4	0.72
30	41	41	86	9.3	82	0.11	1.5	0.21
30	41	42	84	6.4	88	0.071	0.65	0.018
30	41	43	140	120	72	-0.019	-0.012	0.0075
30	41	44	100	160	80	-0.13	-0.54	0.095
30	41	45	100	160	77	-0.24	-0.95	0.23
30	41	46	100	160	74	-0.35	-1.3	0.39
30	41	47	110	160	71	-0.45	-1.5	0.55
30	41	48	110	150	69	-0.54	-1.7	0.71
30	41	49	110	150	67	-0.63	-1.9	0.86
30	41	50	110	150	65	-0.71	-2.1	1
30	41	51	110	150	64	-0.78	-2.2	1.1
30	41	52	110	150	62	-0.85	-2.3	1.3
30	41	53	110	140	61	-0.91	-2.3	1.4
30	41	54	110	140	60	-0.96	-2.4	1.5
30	41	55	110	140	58	-1	-2.5	1.6
30	41	56	110	140	57	-1.1	-2.5	1.8
30	41	57	110	140	56	-1.1	-2.6	1.9
30	41	58	110	140	56	-1.2	-2.6	2

Angle_1	Angle_2	Angle_3	Theta_X	Theta_Y	Theta_Z	Position (X)	Position (Y)	Position (Z)
30	41	59	110	140	55	-1.2	-2.6	2.1
30	41	60	110	140	54	-1.2	-2.7	2.1
30	41	61	110	140	53	-1.3	-2.7	2.2
30	41	62	110	140	52	-1.3	-2.7	2.3
30	41	63	110	130	51	-1.4	-2.7	2.4
30	41	64	110	130	51	-1.4	-2.7	2.5
30	41	65	110	130	50	-1.4	-2.7	2.6
30	41	66	110	130	49	-1.5	-2.7	2.7
30	41	67	110	130	49	-1.5	-2.7	2.7
30	41	68	110	130	48	-1.5	-2.7	2.8
30	41	69	110	130	47	-1.6	-2.7	2.9
30	41	70	110	130	47	-1.6	-2.7	3
30	41	71	110	130	46	-1.6	-2.7	3
30	41	72	110	130	46	-1.6	-2.7	3.1
30	41	73	110	130	45	-1.7	-2.7	3.2
30	41	74	110	130	45	-1.7	-2.7	3.2
30	41	75	110	130	44	-1.7	-2.7	3.3
30	41	76	110	130	44	-1.7	-2.7	3.4
30	41	77	110	120	43	-1.8	-2.7	3.4
30	41	78	110	120	42	-1.8	-2.7	3.5
30	41	79	110	120	42	-1.8	-2.6	3.6
30	41	80	110	120	41	-1.8	-2.6	3.6
30	41	81	110	120	41	-1.8	-2.6	3.7
30	41	82	110	120	40	-1.9	-2.6	3.7
30	41	83	110	120	40	-1.9	-2.6	3.8
30	41	84	110	120	40	-1.9	-2.5	3.9

Angle_1	Angle_2	Angle_3	Theta_X	Theta_Y	Theta_Z	Position (X)	Position (Y)	Position (Z)
30	41	85	110	120	39	-1.9	-2.5	3.9
30	41	86	110	120	39	-1.9	-2.5	4
30	41	87	110	120	38	-2	-2.5	4
30	41	88	110	120	38	-2	-2.4	4.1
30	41	89	110	120	37	-2	-2.4	4.1
30	41	90	110	120	37	-2	-2.4	4.2
30	42	30	110	110	35	-2.2	-2.1	4.5
30	42	31	110	110	32	-2.3	-1.9	4.8
30	42	32	110	100	29	-2.4	-1.5	5.2
30	42	33	110	98	25	-2.5	-0.89	5.5
30	42	34	110	91	23	-2.5	-0.094	5.8
30	42	35	110	81	23	-2.3	0.96	5.9
30	42	36	110	70	28	-2	2.2	5.5
30	42	37	100	56	38	-1.4	3.2	4.5
30	42	38	99	41	50	-0.76	3.6	3.1
30	42	39	94	28	63	-0.23	3.2	1.7
30	42	40	89	16	74	0.051	2.3	0.69
30	42	41	85	9	82	0.12	1.4	0.18
30	42	42	83	6.8	89	0.064	0.54	0.0081
30	42	43	110	160	82	-0.044	-0.13	0.019
30	42	44	100	160	80	-0.17	-0.66	0.12
30	42	45	100	160	76	-0.29	-1.1	0.27
30	42	46	110	160	73	-0.41	-1.4	0.44
30	42	47	110	150	71	-0.52	-1.6	0.6
30	42	48	110	150	68	-0.61	-1.8	0.76
30	42	49	110	150	66	-0.7	-2	0.92

Angle_1	Angle_2	Angle_3	Theta_X	Theta_Y	Theta_Z	Position (X)	Position (Y)	Position (Z)
30	42	50	110	150	65	-0.79	-2.1	1.1
30	42	51	110	150	63	-0.86	-2.2	1.2
30	42	52	110	140	62	-0.93	-2.3	1.3
30	42	53	110	140	60	-0.99	-2.4	1.5
30	42	54	110	140	59	-1.1	-2.4	1.6
30	42	55	110	140	58	-1.1	-2.5	1.7
30	42	56	110	140	57	-1.2	-2.5	1.8
30	42	57	110	140	56	-1.2	-2.6	1.9
30	42	58	110	140	55	-1.3	-2.6	2
30	42	59	110	140	54	-1.3	-2.6	2.1
30	42	60	110	140	54	-1.3	-2.7	2.2
30	42	61	110	140	53	-1.4	-2.7	2.3
30	42	62	110	130	52	-1.4	-2.7	2.4
30	42	63	110	130	51	-1.5	-2.7	2.4
30	42	64	110	130	51	-1.5	-2.7	2.5
30	42	65	110	130	50	-1.5	-2.7	2.6
30	42	66	110	130	49	-1.6	-2.7	2.7
30	42	67	110	130	49	-1.6	-2.7	2.8
30	42	68	110	130	48	-1.6	-2.7	2.8
30	42	69	110	130	48	-1.7	-2.7	2.9
30	42	70	110	130	47	-1.7	-2.7	3
30	42	71	110	130	46	-1.7	-2.7	3
30	42	72	110	130	46	-1.7	-2.7	3.1
30	42	73	110	130	45	-1.8	-2.7	3.2
30	42	74	110	130	45	-1.8	-2.7	3.2
30	42	75	110	130	44	-1.8	-2.7	3.3

Angle_1	Angle_2	Angle_3	Theta_X	Theta_Y	Theta_Z	Position (X)	Position (Y)	Position (Z)
30	42	76	110	120	44	-1.8	-2.7	3.4
30	42	77	110	120	43	-1.9	-2.6	3.4
30	42	78	110	120	43	-1.9	-2.6	3.5
30	42	79	110	120	42	-1.9	-2.6	3.6
30	42	80	110	120	42	-1.9	-2.6	3.6
30	42	81	110	120	41	-2	-2.6	3.7
30	42	82	110	120	41	-2	-2.6	3.7
30	42	83	110	120	40	-2	-2.5	3.8
30	42	84	110	120	40	-2	-2.5	3.8
30	42	85	110	120	40	-2	-2.5	3.9
30	42	86	110	120	39	-2.1	-2.5	3.9
30	42	87	110	120	39	-2.1	-2.4	4
30	42	88	110	120	38	-2.1	-2.4	4.1
30	42	89	110	120	38	-2.1	-2.4	4.1
30	42	90	110	120	37	-2.1	-2.4	4.2
30	43	30	120	110	36	-2.3	-2.2	4.3
30	43	31	120	110	33	-2.4	-1.9	4.7
30	43	32	120	110	30	-2.5	-1.6	5
30	43	33	120	100	27	-2.6	-1.1	5.4
30	43	34	110	93	25	-2.6	-0.3	5.7
30	43	35	110	83	24	-2.5	0.74	5.8
30	43	36	110	71	28	-2.1	2	5.6
30	43	37	110	57	37	-1.5	3.1	4.6
30	43	38	100	42	50	-0.82	3.6	3.1
30	43	39	94	28	63	-0.23	3.2	1.7
30	43	40	88	16	74	0.066	2.3	0.66

Angle_1	Angle_2	Angle_3	Theta_X	Theta_Y	Theta_Z	Position (X)	Position (Y)	Position (Z)
30	43	41	85	8.8	83	0.12	1.3	0.16
30	43	42	83	7	90	0.052	0.42	0.0013
30	43	43	110	160	83	-0.073	-0.25	0.034
30	43	44	110	160	79	-0.21	-0.77	0.16
30	43	45	110	160	75	-0.35	-1.2	0.32
30	43	46	110	160	72	-0.47	-1.5	0.49
30	43	47	110	150	70	-0.58	-1.7	0.66
30	43	48	110	150	68	-0.69	-1.9	0.82
30	43	49	110	150	66	-0.78	-2	0.98
30	43	50	110	150	64	-0.86	-2.2	1.1
30	43	51	110	150	63	-0.94	-2.3	1.3
30	43	52	110	140	61	-1	-2.3	1.4
30	43	53	110	140	60	-1.1	-2.4	1.5
30	43	54	110	140	59	-1.1	-2.5	1.6
30	43	55	110	140	58	-1.2	-2.5	1.7
30	43	56	110	140	57	-1.2	-2.5	1.8
30	43	57	110	140	56	-1.3	-2.6	1.9
30	43	58	110	140	55	-1.3	-2.6	2
30	43	59	110	140	54	-1.4	-2.6	2.1
30	43	60	110	140	54	-1.4	-2.7	2.2
30	43	61	110	130	53	-1.5	-2.7	2.3
30	43	62	110	130	52	-1.5	-2.7	2.4
30	43	63	110	130	51	-1.5	-2.7	2.5
30	43	64	110	130	51	-1.6	-2.7	2.5
30	43	65	110	130	50	-1.6	-2.7	2.6
30	43	66	110	130	50	-1.6	-2.7	2.7

Angle_1	Angle_2	Angle_3	Theta_X	Theta_Y	Theta_Z	Position (X)	Position (Y)	Position (Z)
30	43	67	110	130	49	-1.7	-2.7	2.8
30	43	68	110	130	48	-1.7	-2.7	2.8
30	43	69	110	130	48	-1.7	-2.7	2.9
30	43	70	110	130	47	-1.8	-2.7	3
30	43	71	110	130	47	-1.8	-2.7	3
30	43	72	110	130	46	-1.8	-2.7	3.1
30	43	73	110	130	46	-1.9	-2.7	3.2
30	43	74	110	130	45	-1.9	-2.7	3.2
30	43	75	110	120	45	-1.9	-2.6	3.3
30	43	76	110	120	44	-1.9	-2.6	3.4
30	43	77	110	120	44	-2	-2.6	3.4
30	43	78	110	120	43	-2	-2.6	3.5
30	43	79	110	120	43	-2	-2.6	3.5
30	43	80	110	120	42	-2	-2.6	3.6
30	43	81	110	120	42	-2	-2.5	3.7
30	43	82	110	120	41	-2.1	-2.5	3.7
30	43	83	110	120	41	-2.1	-2.5	3.8
30	43	84	110	120	40	-2.1	-2.5	3.8
30	43	85	110	120	40	-2.1	-2.5	3.9
30	43	86	110	120	40	-2.1	-2.4	3.9
30	43	87	110	120	39	-2.2	-2.4	4
30	43	88	120	120	39	-2.2	-2.4	4
30	43	89	120	120	38	-2.2	-2.3	4.1
30	43	90	120	120	38	-2.2	-2.3	4.1
30	44	30	120	120	38	-2.3	-2.2	4.2
30	44	31	120	110	35	-2.4	-2	4.5



Angle_1	Angle_2	Angle_3	Theta_X	Theta_Y	Theta_Z	Position (X)	Position (Y)	Position (Z)
30	44	32	120	110	32	-2.6	-1.7	4.9
30	44	33	120	100	29	-2.6	-1.2	5.2
30	44	34	120	94	26	-2.7	-0.48	5.6
30	44	35	110	85	25	-2.6	0.53	5.8
30	44	36	110	73	27	-2.3	1.8	5.6
30	44	37	110	59	36	-1.7	3	4.7
30	44	38	100	43	49	-0.88	3.6	3.2
30	44	39	94	28	63	-0.23	3.2	1.7
30	44	40	88	16	74	0.083	2.2	0.62
30	44	41	84	8.7	84	0.13	1.2	0.13
30	44	42	83	6.8	90	0.036	0.3	-0.0022
30	44	43	110	160	82	-0.11	-0.37	0.053
30	44	44	110	160	78	-0.26	-0.88	0.19
30	44	45	110	160	75	-0.4	-1.3	0.36
30	44	46	110	150	72	-0.53	-1.5	0.54
30	44	47	110	150	69	-0.65	-1.8	0.71
30	44	48	110	150	67	-0.76	-1.9	0.88
30	44	49	110	150	65	-0.85	-2.1	1
30	44	50	110	150	64	-0.94	-2.2	1.2
30	44	51	110	140	62	-1	-2.3	1.3
30	44	52	110	140	61	-1.1	-2.4	1.4
30	44	53	110	140	60	-1.2	-2.4	1.6
30	44	54	110	140	59	-1.2	-2.5	1.7
30	44	55	110	140	58	-1.3	-2.5	1.8
30	44	56	110	140	57	-1.3	-2.6	1.9
30	44	57	110	140	56	-1.4	-2.6	2

Angle_1	Angle_2	Angle_3	Theta_X	Theta_Y	Theta_Z	Position (X)	Position (Y)	Position (Z)
30	44	58	110	140	55	-1.4	-2.6	2.1
30	44	59	110	140	54	-1.5	-2.6	2.2
30	44	60	110	130	54	-1.5	-2.6	2.2
30	44	61	110	130	53	-1.6	-2.7	2.3
30	44	62	110	130	52	-1.6	-2.7	2.4
30	44	63	110	130	51	-1.6	-2.7	2.5
30	44	64	110	130	51	-1.7	-2.7	2.6
30	44	65	110	130	50	-1.7	-2.7	2.6
30	44	66	110	130	50	-1.7	-2.7	2.7
30	44	67	110	130	49	-1.8	-2.7	2.8
30	44	68	110	130	48	-1.8	-2.7	2.9
30	44	69	110	130	48	-1.8	-2.7	2.9
30	44	70	110	130	47	-1.9	-2.7	3
30	44	71	110	130	47	-1.9	-2.7	3.1
30	44	72	120	130	46	-1.9	-2.6	3.1
30	44	73	120	130	46	-1.9	-2.6	3.2
30	44	74	120	120	45	-2	-2.6	3.2
30	44	75	120	120	45	-2	-2.6	3.3
30	44	76	120	120	44	-2	-2.6	3.4
30	44	77	120	120	44	-2	-2.6	3.4
30	44	78	120	120	43	-2.1	-2.6	3.5
30	44	79	120	120	43	-2.1	-2.5	3.5
30	44	80	120	120	42	-2.1	-2.5	3.6
30	44	81	120	120	42	-2.1	-2.5	3.6
30	44	82	120	120	42	-2.2	-2.5	3.7
30	44	83	120	120	41	-2.2	-2.5	3.8

Angle_1	Angle_2	Angle_3	Theta_X	Theta_Y	Theta_Z	Position (X)	Position (Y)	Position (Z)
30	44	84	120	120	41	-2.2	-2.4	3.8
30	44	85	120	120	40	-2.2	-2.4	3.9
30	44	86	120	120	40	-2.2	-2.4	3.9
30	44	87	120	120	40	-2.3	-2.4	4
30	44	88	120	120	39	-2.3	-2.3	4
30	44	89	120	120	39	-2.3	-2.3	4.1
30	44	90	120	120	38	-2.3	-2.3	4.1
30	45	30	120	120	39	-2.4	-2.3	4.1
30	45	31	120	110	37	-2.5	-2.1	4.4
30	45	32	120	110	34	-2.6	-1.8	4.7
30	45	33	120	100	31	-2.7	-1.3	5.1
30	45	34	120	96	27	-2.8	-0.65	5.5
30	45	35	120	87	25	-2.7	0.33	5.7
30	45	36	110	75	27	-2.4	1.6	5.6
30	45	37	110	60	36	-1.8	2.9	4.8
30	45	38	100	44	49	-0.93	3.6	3.3
30	45	39	94	28	63	-0.23	3.2	1.7
30	45	40	87	15	75	0.1	2.2	0.58
30	45	41	83	8.7	85	0.13	1.1	0.1
30	45	42	85	5.1	91	0.016	0.18	-0.0021
30	45	43	110	160	82	-0.14	-0.49	0.076
30	45	44	110	160	77	-0.31	-0.98	0.23
30	45	45	110	160	74	-0.46	-1.3	0.41
30	45	46	110	150	71	-0.6	-1.6	0.59
30	45	47	110	150	69	-0.72	-1.8	0.77
30	45	48	110	150	67	-0.83	-2	0.93

Angle_1	Angle_2	Angle_3	Theta_X	Theta_Y	Theta_Z	Position (X)	Position (Y)	Position (Z)
30	45	49	110	150	65	-0.93	-2.1	1.1
30	45	50	110	140	63	-1	-2.2	1.2
30	45	51	110	140	62	-1.1	-2.3	1.4
30	45	52	110	140	61	-1.2	-2.4	1.5
30	45	53	110	140	60	-1.2	-2.4	1.6
30	45	54	110	140	59	-1.3	-2.5	1.7
30	45	55	110	140	58	-1.3	-2.5	1.8
30	45	56	110	140	57	-1.4	-2.6	1.9
30	45	57	110	140	56	-1.5	-2.6	2
30	45	58	110	140	55	-1.5	-2.6	2.1
30	45	59	110	130	54	-1.5	-2.6	2.2
30	45	60	110	130	54	-1.6	-2.6	2.3
30	45	61	110	130	53	-1.6	-2.6	2.4
30	45	62	110	130	52	-1.7	-2.7	2.4
30	45	63	120	130	52	-1.7	-2.7	2.5
30	45	64	120	130	51	-1.7	-2.7	2.6
30	45	65	120	130	50	-1.8	-2.7	2.7
30	45	66	120	130	50	-1.8	-2.7	2.7
30	45	67	120	130	49	-1.8	-2.7	2.8
30	45	68	120	130	49	-1.9	-2.7	2.9
30	45	69	120	130	48	-1.9	-2.6	2.9
30	45	70	120	130	48	-1.9	-2.6	3
30	45	71	120	130	47	-2	-2.6	3.1
30	45	72	120	130	47	-2	-2.6	3.1
30	45	73	120	120	46	-2	-2.6	3.2
30	45	74	120	120	46	-2	-2.6	3.2

Angle_1	Angle_2	Angle_3	Theta_X	Theta_Y	Theta_Z	Position (X)	Position (Y)	Position (Z)
30	45	75	120	120	45	-2.1	-2.6	3.3
30	45	76	120	120	45	-2.1	-2.6	3.4
30	45	77	120	120	44	-2.1	-2.5	3.4
30	45	78	120	120	44	-2.1	-2.5	3.5
30	45	79	120	120	43	-2.2	-2.5	3.5
30	45	80	120	120	43	-2.2	-2.5	3.6
30	45	81	120	120	42	-2.2	-2.5	3.6
30	45	82	120	120	42	-2.2	-2.5	3.7
30	45	83	120	120	42	-2.3	-2.4	3.7
30	45	84	120	120	41	-2.3	-2.4	3.8
30	45	85	120	120	41	-2.3	-2.4	3.8
30	45	86	120	120	40	-2.3	-2.4	3.9
30	45	87	120	120	40	-2.3	-2.3	3.9
30	45	88	120	120	40	-2.4	-2.3	4
30	45	89	120	120	39	-2.4	-2.3	4
30	45	90	120	120	39	-2.4	-2.3	4.1
30	46	30	120	120	40	-2.4	-2.3	3.9
30	46	31	120	110	38	-2.5	-2.1	4.2
30	46	32	120	110	35	-2.6	-1.8	4.6
30	46	33	120	100	32	-2.7	-1.4	5
30	46	34	120	98	29	-2.8	-0.8	5.3
30	46	35	120	89	26	-2.8	0.15	5.6
30	46	36	110	77	27	-2.5	1.4	5.6
30	46	37	110	62	35	-1.9	2.8	4.9
30	46	38	100	44	48	-0.98	3.6	3.3
30	46	39	93	28	63	-0.22	3.2	1.7

Angle_1	Angle_2	Angle_3	Theta_X	Theta_Y	Theta_Z	Position (X)	Position (Y)	Position (Z)
30	46	40	87	15	76	0.12	2.1	0.54
30	46	41	82	8.9	85	0.13	0.97	0.08
30	46	42	97	7.3	89	-0.0079	0.063	0.0015
30	46	43	110	160	81	-0.19	-0.6	0.1
30	46	44	110	160	77	-0.36	-1.1	0.27
30	46	45	110	150	73	-0.52	-1.4	0.46
30	46	46	110	150	71	-0.66	-1.7	0.64
30	46	47	110	150	68	-0.79	-1.9	0.82
30	46	48	110	150	66	-0.9	-2	0.98
30	46	49	110	150	65	-1	-2.2	1.1
30	46	50	110	140	63	-1.1	-2.3	1.3
30	46	51	110	140	62	-1.2	-2.3	1.4
30	46	52	110	140	60	-1.2	-2.4	1.5



ภาคผนวก ข

โปรแกรมการควบคุมหุ่นยนต์กลไกแบบ Canfield

มหาวิทยาลัยเทคโนโลยีสุรนารี

## โปรแกรม MATLAB คำนวณสมการจลนศาสตร์แบบไปข้างหน้า

```

%forward kinematic
clear all
clc
% Constant Parameter

% vector u for 3 points
kx1=0.4993; ky1=-0.8664; kz1=0;
kx2=0.4993; ky2=0.8664; kz2=0;
kx3=-1; ky3=0; kz3=0;

% vector q for 3 points
q1=[0.8664;0.4993;0];
q2=[-0.8664;0.4993;0];
q3=[0;-1;0];

% Link Length
L=6.125;

% Points
b1=[-5.5;-2.25;0];
b2=[5.5;-2.25;0];
b3=[0;4.8;0];

% Counter
i=1;

for thetal=30*pi/180:1*pi/180:90*pi/180
    for theta2=30*pi/180:1*pi/180:90*pi/180
        for theta3=30*pi/180:1*pi/180:90*pi/180
            %Transformation Matrixs
            %actuator1
            a11=kx1^2*(1-cos(thetal))+cos(thetal);
            a12=kx1*ky1*(1-cos(thetal))+kz1*sin(thetal);
            a13=kx1*kz1*(1-cos(thetal))-ky1*sin(thetal);
            a21=kx1*ky1*(1-cos(thetal))-kz1*sin(thetal);
            a22=ky1^2*(1-cos(thetal))+cos(thetal);
            a23=ky1*kz1*(1-cos(thetal))+kx1*sin(thetal);
            a31=kx1*kz1*(1-cos(thetal))-ky1*sin(thetal);
            a32=ky1*kz1*(1-cos(thetal))+kx1*sin(thetal);
            a33=kz1^2*(1-cos(thetal))+cos(thetal);
            %actuator2
            b11=kx2^2*(1-cos(theta2))+cos(theta2);
            b12=kx2*ky2*(1-cos(theta2))+kz2*sin(theta2);
            b13=kx2*kz2*(1-cos(theta2))-ky2*sin(theta2);
            b21=kx2*ky2*(1-cos(theta2))-kz2*sin(theta2);
            b22=ky2^2*(1-cos(theta2))+cos(theta2);
            b23=ky2*kz2*(1-cos(theta2))+kx2*sin(theta2);
            b31=kx2*kz2*(1-cos(theta2))-ky2*sin(theta2);
            b32=ky2*kz2*(1-cos(theta2))+kx2*sin(theta2);
            b33=kz2^2*(1-cos(theta2))+cos(theta2);
            %actuator3
            c11=kx3^2*(1-cos(theta3))+cos(theta3);
            c12=kx3*ky3*(1-cos(theta3))+kz3*sin(theta3);
            c13=kx3*kz3*(1-cos(theta3))-ky3*sin(theta3);

```



```

c21=kx3*ky3*(1-cos(theta3))-kz3*sin(theta3);
c22=ky3^2*(1-cos(theta3))+cos(theta3);
c23=ky3*kz3*(1-cos(theta3))+kx3*sin(theta3);
c31=kx3*kz3*(1-cos(theta3))-ky3*sin(theta3);
c32=ky3*kz3*(1-cos(theta3))+kx3*sin(theta3);
c33=kz3^2*(1-cos(theta3))+cos(theta3);

r1=[a11,a12,a13;a21,a22,a23;a31,a32,a33];
r2=[b11,b12,b13;b21,b22,b23;b31,b32,b33];
r3=[c11,c12,c13;c21,c22,c23;c31,c32,c33];
% Midplane Normal Vector
m1=r1*q1*L+b1;
m2=r2*q2*L+b2;
m3=r3*q3*L+b3;
M=cross(m2-m1,m3-m2);
Nm=M/norm(M);
% Delta (Distance)
y1=dot(Nm,m1-b1);
y2=dot(Nm,m2-b2);
y3=dot(Nm,m3-b3);
% D and Center of Plane
d1=b1+2*y1*Nm;
d2=b2+2*y2*Nm;
d3=b3+2*y3*Nm;
c=(d1+d2+d3)/3;

c(1);
c(2);
c(3);
A=sqrt(c(1)^2+c(2)^2+c(3)^2);
theta_x=acos(c(1)/A)*180/pi;
theta_y=acos(c(2)/A)*180/pi;
theta_z=acos(c(3)/A)*180/pi;

work(i,1)=c(1);
work(i,2)=c(2);
work(i,3)=c(3);
theta_rec(i,1)=theta1;
theta_rec(i,2)=theta2;
theta_rec(i,3)=theta3;
theta_xyz(i,1)=theta_x;
theta_xyz(i,2)=theta_y;
theta_xyz(i,3)=theta_z;
i=i+1;
end
end
end
plot3(work(:,1),work(:,2),work(:,3),'.');
xlabel('X');
ylabel('Y');
zlabel('Z');
[c(1),c(2),c(3)] = meshgrid(c(1),c(2),c(3))
figure(2)
plot(work(:,1),work(:,3),'.')
grid on
figure(3)
plot(work(:,2),work(:,3),'.')

```

```
grid on
figure(4)
plot(work(:,1),work(:,2),'.')
grid on
final_rec=[theta_xyz work theta_rec*180/pi];
dlmwrite('canxxxx.txt', final_rec, 'delimiter', '\t','precision',2)
```

โปรแกรมที่ใช้เรียกค่าจากตาราง

```
M = dlmread('canxxxx.txt');
xd=101;
yd=64;
zd=26;
x=[xd yd zd]

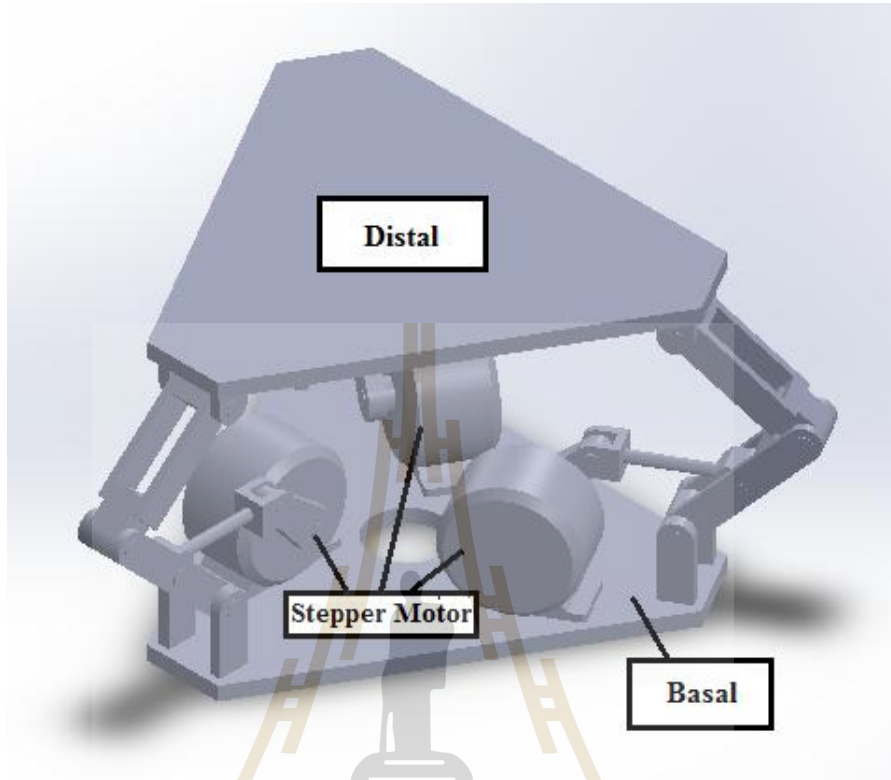
min=10000;

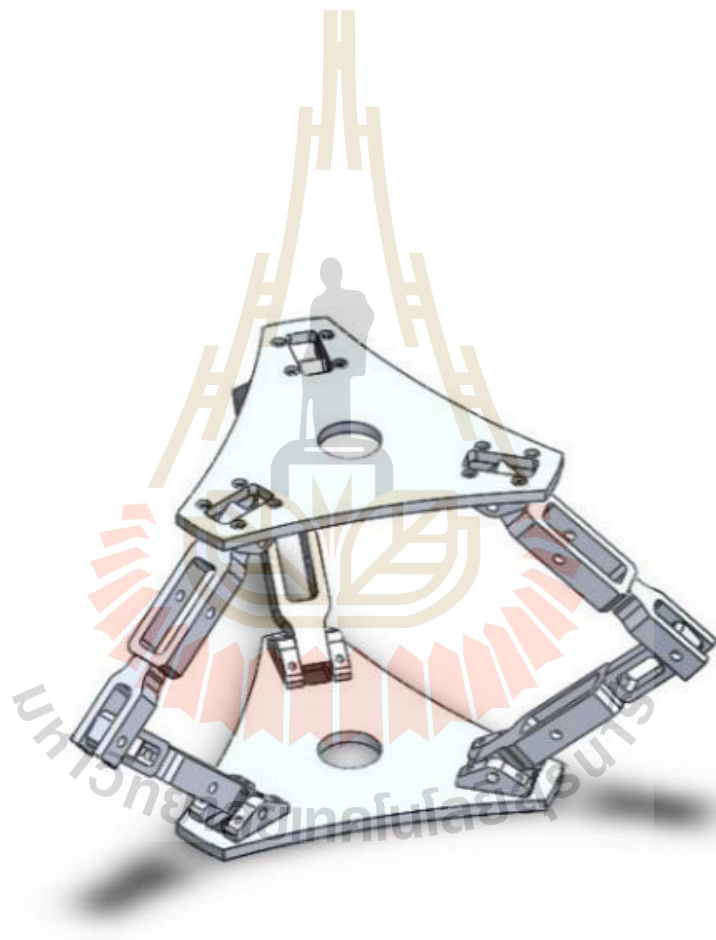
for i=1:1331
    delta = M(i,1:3)-x;
    error=delta(1)^2+delta(2)^2+delta(3)^2
    if error<min
        min=error;
        angle=i;
    end
end
angle
M(angle,7:9)
```

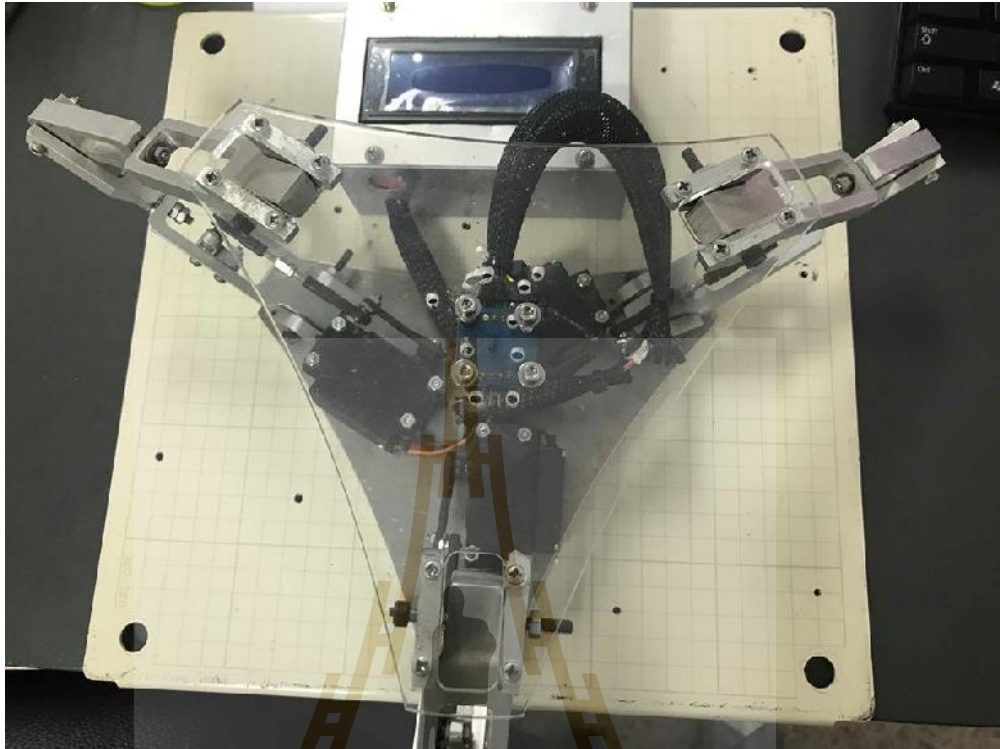


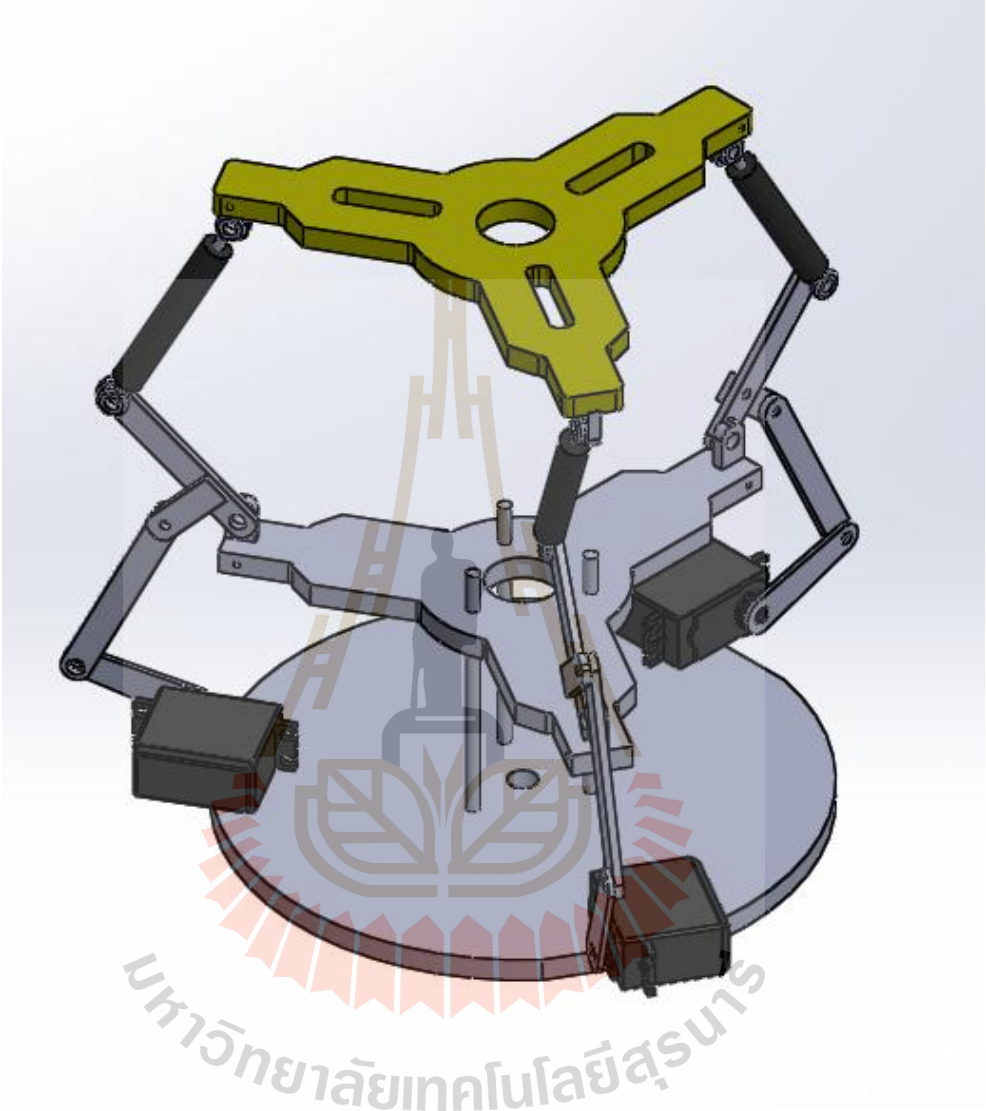
ภาคผนวก ค

ภาพชิ้นงานในอดีตถึงปัจจุบัน

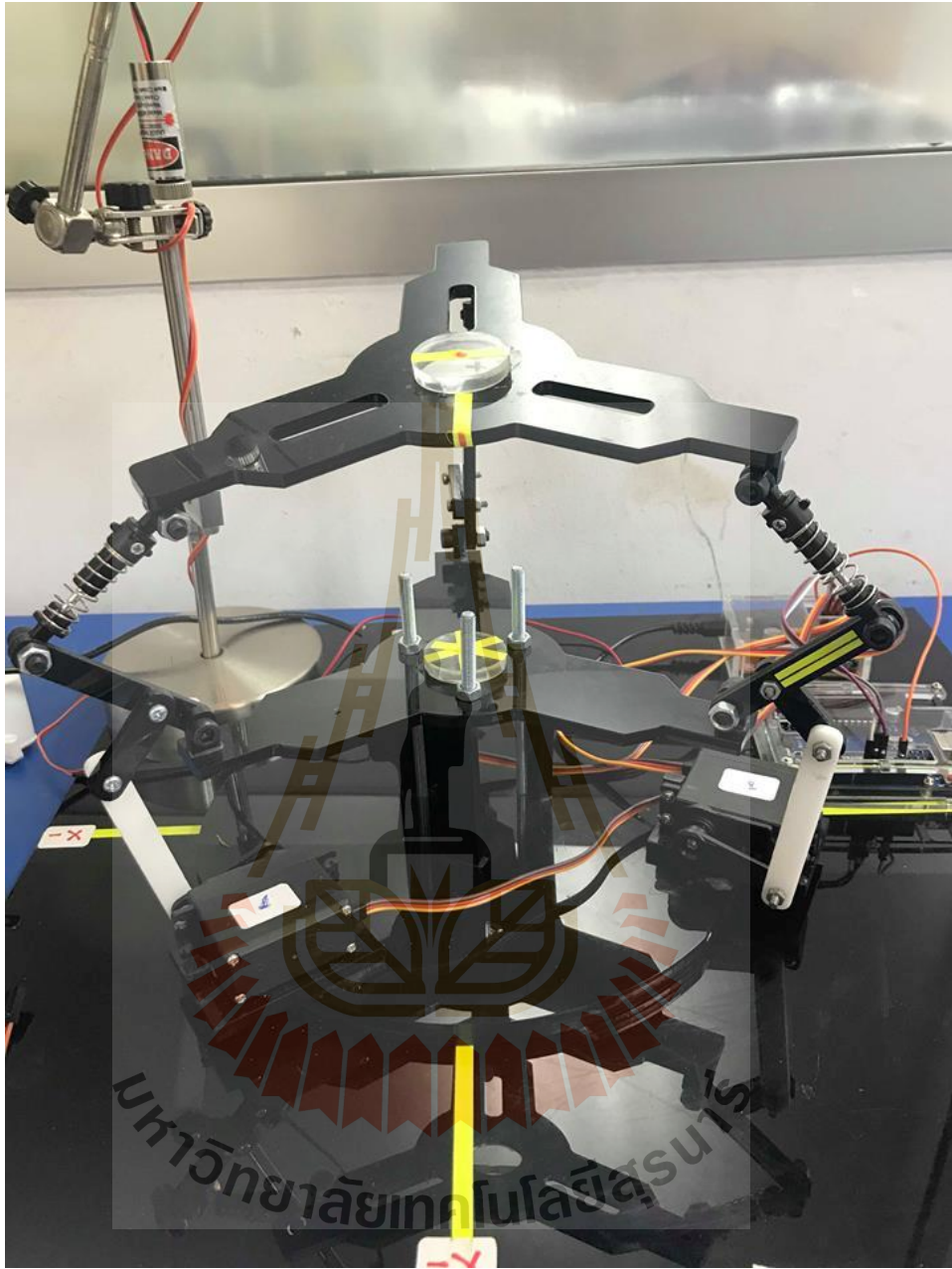






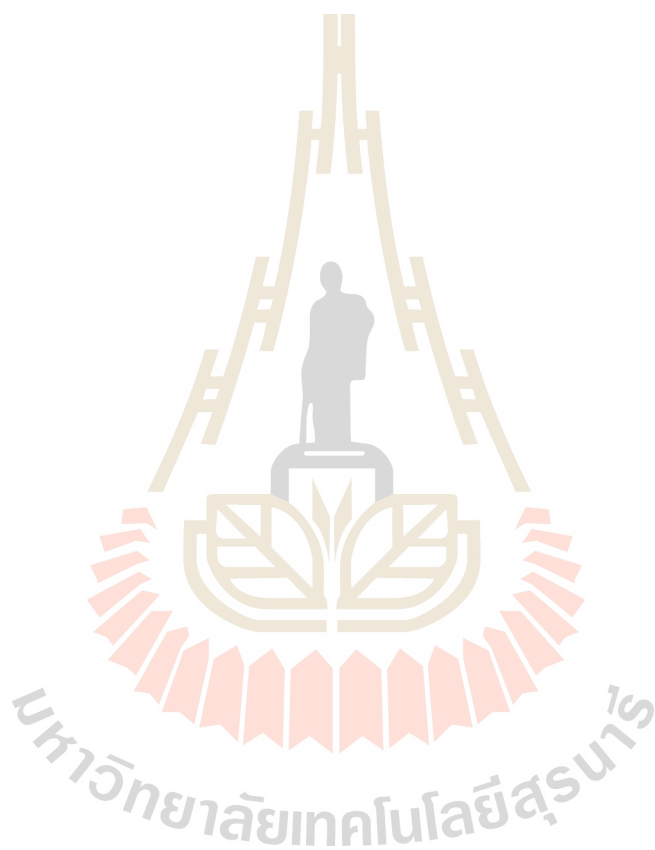


มหาวิทยาลัยเทคโนโลยีสุรนารี





ออกแบบให้มีสปริงเพื่อความยืดหยุ่นในการรับน้ำหนักจากแผ่นบน ส่งผลให้ค่าความคลาดเคลื่อนของหุ่นยนต์มีไม่มากเท่ากับสองแบบแรก จึงใช้การออกแบบสร้างหุ่นยนต์นี้เพื่อใช้ในการทดลอง





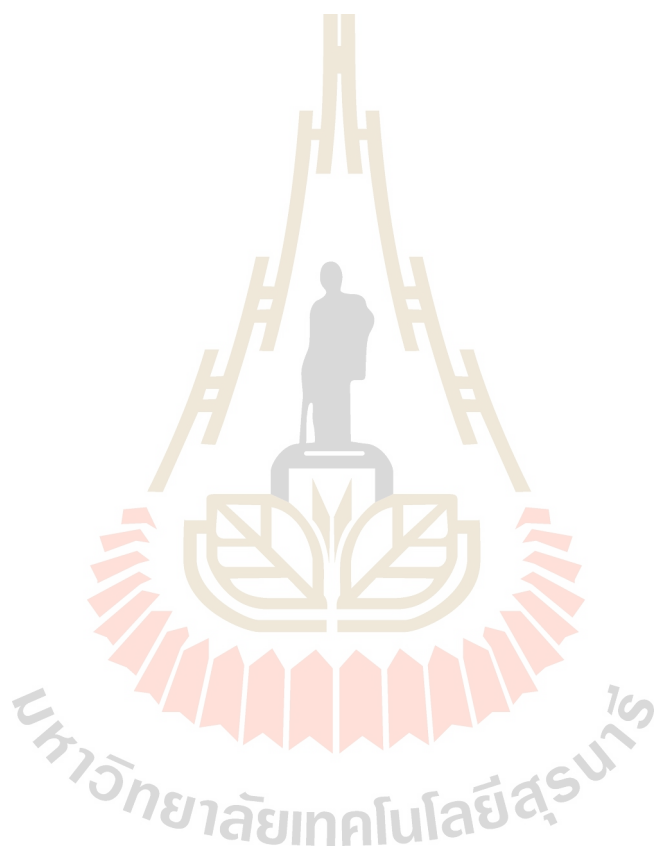
ภาคผนวก ง

บทความทางด้านวิชาการที่ได้รับการตีพิมพ์เผยแพร่ในระหว่างศึกษา

มหาวิทยาลัยเทคโนโลยีสุรนารี

รายชื่อบทความที่ได้รับการตีพิมพ์เผยแพร่ในระหว่างศึกษา

Pornpassanan Chaiyasitpru, Kontorn Chamniprasart (2017) **Design and Prototyping of Canfield Mechanism for Photovoltaic Application** The 11<sup>th</sup> South East Asian Technical University Consortium Symposium 13-14 March 2017 Ho Chi Minh City, Vietnam.



## DESIGN AND PROTOTYPING OF CANFIELD MECHANISM FOR PHOTOVOLTAIC APPLICATION

Pornpassanan Chaiyasitpru <sup>(1)</sup>, Kontorn Chamniprasart <sup>(1)</sup>  
<sup>(1)</sup> Suranaree University of Technology, Thailand  
 Email: kontorn@sut.ac.th

### ABSTRACT

Solar energy is now a very good choice for alternative energy. A Photovoltaic (PV) panels can be installed on ground in solar farms. They can also be installed on the top of roofs. However, the PV cells best produce the electrical energy when they perpendicularly expose to the sun light. This study attempts to prototype the solar tracking mechanism for PV panels. This paper presents the design and prototyping of three degree of freedom Canfield Mechanism for the PV panels. The mechanism is based on a parallel robot which is called Canfield robot. The system consists of three-linkage robot arms. Each linkage has three revolute and two twist joints driven by three stepper motors. Both forward and inverse kinematic analyses are used to find an optimum workspace, positions, orientation of the robot, and optimum three angles of the robot arm. The phototransistors are mounted on the solar panels as light sensors that adjust the exposed position to the sun. This study provides a precise solar tracking system with the error range of 2 degree. As the results of this study the workspace of Canfield Mechanism is a hemispherical. The coordinates  $x$ ,  $y$ ,  $z$ , and the three angles of robot arm can also be identified.

**KEYWORDS:** *Canfield Mechanism, kinematic analysis, parallel robot, Photovoltaic*

### 1. INTRODUCTION

Currently, Energy is vital to human life, it is used to facilitate human life. It also affects economy and society all over the world. Solar energy is an alternative, energy which has been used widely. This energy is clean and safe for operation. A PV panel consists of a flat surface on which numerous p-n junctions are placed, connected together through electrically conducting strips. Kit solar

cells convert solar energy into electrical energy. We can use this kind of energy immediately or store it in battery for using later. The conversion principle of solar light into electricity, called Photovoltaic or PV. Solar panels will provide high electricity when the sun is perpendicular to the solar cells.[1]

The Canfield Joint is an innovative joint that offers hemispherical pointing control. Invented by Dr. Stephen Canfield of the Tennessee Tech University, it has three independently driven arms arranged in a triangle to connect the platform of the joint with its base. Each arm includes three hinges and two twist joints, and by controlling each of the arms independently it is possible to orient the platform within a hemisphere. It is an inherently 3-DOF joint. It requires three motors to operate.[2]

A stepper motor is an electrical device which converts electrical pulses into mechanical movements. The shaft of a stepper motor rotates in step increments when electrical command pulses are applied to it in the suitable sequence. The rotation speed of the motor shaft is directly related to the frequency of the input pulse and the length of rotation is directly related to the number of pulses input used. [3]

Microcontrollers are used in a product control and automatic devices, such as control systems, automotive, medical devices, remote controls, office equipment, appliances, power tools, toys and other embedded by reducing the size and costs compared to designs that use a separate microprocessor, memory and input / output devices, microcontrollers make it economical to digitally control even more devices and processes.[4]

The purpose of this research is intended to solve such problems by designing and creating Canfield mechanism. This paper presents the design and prototyping of three degree of freedom Canfield Mechanism for the PV panels.

## 2. EXPERIMENT

Canfield Mechanism is parallel-architecture robotic wrist, is mechanism that can explain the mechanism is a parallel robot. There are three degrees of freedom. A base plate and end plate is an equilateral triangle. The system consists of three-linkage robot arms. Each linkage has three revolute and two twist joints driven by three stepper motors. Both forward and inverse kinematic analyzes are used to find an optimum workspace, positions, orientation of the robot, and optimum three angles of the robot arm. The MATLAB software is used to solve for the workspace of robot what is the distal coordinates frame that robot can move. The motion of the robot can do a variety similar to the delta robot. The advantage is width for workspace but canfield robot strength than delta robot. The phototransistors are mounted on the solar panels as light sensors that adjust the exposed position to the sun. This study provides a precise solar tracking system. This research is another technique to create a system to track the sun automatically.

### 2.1 Experiment apparatus

#### 2.1.2 Stepper motor

This research choose the stepper motor for driven because it still running accuracy and higher torque than other motor.

#### 2.1.3 Microcontroller

This research choose Arduino Mega 2560 use as a mechanism to control the stepper motor. The advantage is low cost, input/output that much, east and simply

#### 2.1.5 Photovoltaic

This research choose model TPS103-30W-MONO because it is rented for maximum benefit.

### 2.2 Technique

#### 2.2.1 Design for Canfield

The robot under study is the 3-RUR parallel robot with three degrees of freedom and has been studied by many researchers. It is the assembly of two equilateral triangles (the base, moving platform) by three identical RUR legs where R is a revolute passive joint and U a passive universal joint.

Canfield prototype is designed with Solidwork software. It is equipped with Geometry triangle and two plates are connected by a three-links. Two plates are Basal and Distal as shown in Fig 2. Each link has universal joint of intermediate to animate more diverse direction. The revolute of the basal and distal plate are located by three motors that are used to drive a three-links to move.

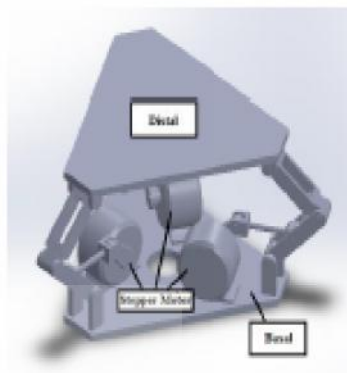


Fig 2. Model of Canfield

### 2.2.2 Governing Equation:

#### 2.2.2.1 Kinematics of Parallel Robotic Wrist

From the kinematic diagram as shown in Fig 2, the geometry of the basal and distal plates are equilateral triangle consists of the revolute of the basal and distal plates which are located by vectors  $b_i$  and  $d_i$  ( $i=1..3$ ), respectively. The orientation of each basal revolute are denoted by unit vector  $\hat{u}_i$  ( $i=1..3$ ). The midpoint of each branch are points  $m_i$  ( $i=1..3$ ). Shows Fig 2 a mid-plane of the wrist which is defined using midpoints of the three branches. This mid-plane forms symmetric plane for the particular wrist geometry. Fig 3 illustrates the centroid of the basal plate,  $c_B$  is the system origin. The geometric center of the wrist is  $c_W$ . This position is unique in that the distance from  $c_W$  to either  $c_B$  or  $c_D$  which is equal to the plunge distance,  $p_d$ .

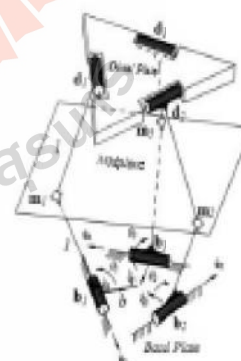


Fig 3 Kinematic Diagram of Proposed Wrist

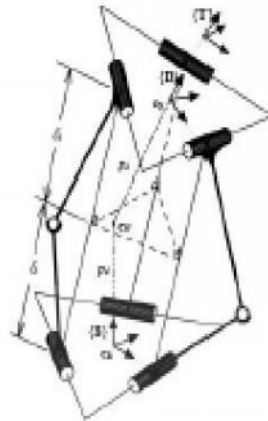


Fig 4 Wrist Reference Frames

#### 2.2.2.2 Forward kinematic

The forward kinematic problem for this manipulator can be defined using the basal revolute angles  $(\theta_1, \theta_2, \theta_3)$  and a roll angle  $(\theta_r)$ . The forward kinematic is used to find the position and orientation of the tool coordinate frame. The mid-point of each branch are found as follows:

$$m_i = R_{[u_i, \theta_i]}(\hat{q}_i) + b_i \quad i=1...3 \quad (1)$$

Where  $R_{[u_i, \theta_i]}$  is a rotation about axis  $\hat{u}_i$  and  $\hat{q}_i$  is unit vector perpendicular to  $\hat{u}_i$ . The plane coefficients,  $A_m, B_m, C_m$  of mid-plane can be derived

$$[A_m, B_m, C_m]^T = (m_2 - m_1) \times (m_3 - m_1) \quad (2)$$

Where the mid-plane is defined as:

$$\hat{N}_m = \frac{[A_m, B_m, C_m]^T}{\sqrt{A_m^2 + B_m^2 + C_m^2}} \quad (3)$$

The perpendicular distance from each point  $b_1, b_2, b_3$  are given by

$$\delta_i = \hat{N}_m \cdot m_i - b_i \quad i=1...3 \quad (4)$$

The distal revolute can be found as follows:

$$d_i = b_i + 2\delta_i \hat{N}_m \quad i=1...3 \quad (5)$$

The position of the origin of the distal and tool coordinate frames is

$$c_D = c_T = (d_1 + d_2 + d_3)/3 \quad (6)$$

The z-axis of the distal frame is identified from the vector cross-product as follows:

$$\hat{z}_D = \frac{(d_2 - d_1) \times (d_3 - d_1)}{\|(d_2 - d_1) \times (d_3 - d_1)\|} \quad (7)$$

The x-axis and y-axis of the distal revolute positions are expressed as

$$\hat{x}_D = \frac{d_1 - c_T}{\|d_1 - c_T\|} \quad (8)$$

$$\hat{y}_D = -\hat{z}_D \times \hat{x}_D \quad (9)$$

A rotation matrix characterizing the relative rotation between  $\{B\}$  and  $\{D\}$  is expressed as

$${}^B_R = [\hat{x}_D, \hat{y}_D, \hat{z}_D] \quad (10)$$

In case of including the last roll axis, the rotation matrix is

$${}^B_R = {}^B_R R_z(\theta_r) \quad (11)$$

### 3. ANALYSIS

#### 3.1 Mathematical model:

The Canfield robot under study is the 3-RUR parallel robot with three degrees of freedom and has been studied by many researchers. It is the assembly of two equilateral triangles (the base, moving platform) by three identical RUR legs where R is a revolute passive joint and u a passive universal joint.

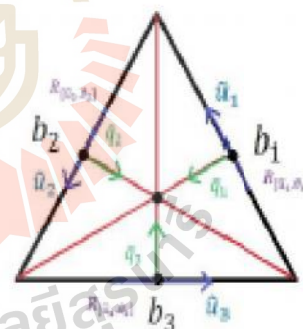


Fig. 5 Canfield Robot Fixed Base Details

The sample of Canfield robot motion formulated by using the forward kinematic equation as shown in Fig.5 The revolute of the basal and distal plates are denoted by vectors  $b_1 = \{-2.5, -1.5, 0\}^T$ ,  $b_2 = \{2.5, -1.5, 0\}^T$ ,  $b_3 = \{0, 3, 0\}^T$ . The orientation of each basal revolute are denoted by unit vector  $\hat{u}_1 = \{0.5, -0.86, 0\}^T$ ,  $\hat{u}_2 = \{0.5, 0.86, 0\}^T$ ,  $\hat{u}_3 = \{-1, 0, 0\}^T$ . Unit vector perpendicular to  $\hat{u}_i$  is  $\hat{q}_1 = \{0.86, 0.5, 0\}^T$ ,  $\hat{q}_2 = \{-0.86, -0.5, 0\}^T$ ,  $\hat{q}_3 = \{1, 0, 0\}^T$ . The  $R_{[u_i, \theta_i]}$  is a rotation about axis  $\hat{u}_i$  which is given by

$$R_{0,4,2} = \begin{bmatrix} a_2^2 \cos \theta_2 + C_2 & a_2 a_3 \cos \theta_2 - a_3 \sin \theta_2 & a_2 a_3 \cos \theta_2 + C_2 \\ a_2 a_3 \cos \theta_2 + C_2 & a_2^2 \cos \theta_2 + C_2 & a_2 a_3 \cos \theta_2 - a_3 \sin \theta_2 \\ a_2 a_3 \cos \theta_2 - a_3 \sin \theta_2 & a_2 a_3 \cos \theta_2 + C_2 & a_2^2 \cos \theta_2 + C_2 \end{bmatrix} \quad (15)$$

The result of the calculation found that the position of the origin of the distal and tool coordinate frame is equal to  $(0,0.516,17.185)^T$  when the input set of basal revolute angles  $(\theta_1, \theta_2, \theta_3)$  equal  $60^\circ$  degree.

### 3.2 Workspace of Canfield Mechanism

Using MATLAB to solve the forward kinematic equation, the 3-D workspace of Canfield Mechanism can be obtained by varying revolute angle  $(\theta_1, \theta_2, \theta_3)$  from  $0-90$  degree as shown in Fig. 6.

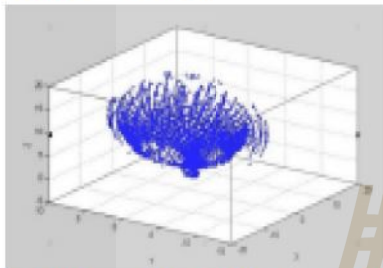


Fig.6 Workspace of Canfield Mechanism in 3-D

The revolute angles  $(\theta_1, \theta_2, \theta_3)$  are prescribed from  $0-90$  degree, we found that the  $x,y,z$  coordinates of distal and tool frame can move in workspace which is a hemispherical in 3-D as shown Fig.6 There is also workspace in 2-D are presented in Fig.7, Fig.8, and Fig.9 respectively.

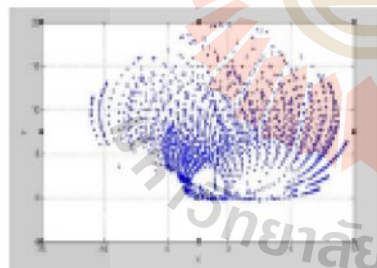


Fig.7 Workspace of Canfield Mechanism in 2-D (x,y)

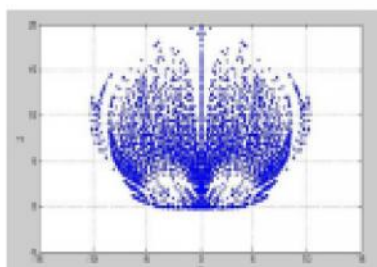


Fig.8 Workspace of Canfield Mechanism in 2-D (x,z)

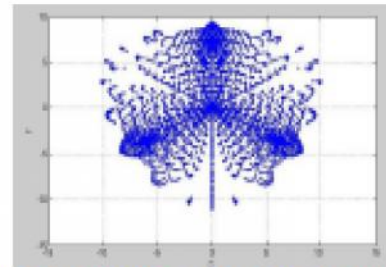


Fig.9 Workspace of Canfield Mechanism in 2-D (x,y)

The article about Inverse kinematic Modeling of 3RRR Parallel Robot presents a kinematic study of 3 RRR parallel robot which is fundamentally a closed-loop kinematic chain mechanism in which the end-effector is connected to the base by several independent kinematic chains. The workspace analysis is the characteristics for a class of 3-DOF. Using numerical simulations to solve the kinematic equation. [5] The result shown in Fig.10

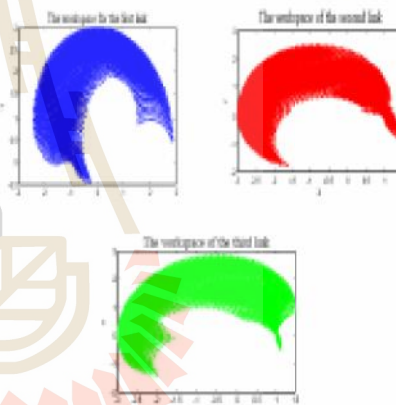


Fig.10 the workspace of each link of the manipulator

We found that Canfield robot (3RUR parallel robot) has a wide range of motion than the 3RRR parallel robot because it can move in 3-D at the  $x,y,z$  coordinates, while 3RRR can move only 2-D at the  $x,y$  coordinates. The boundary of the workspace of Canfield robot diverse than the 3RRR parallel robot.

### 4. CONCLUSION

This paper have presented the design and prototyping of Canfield Mechanism for Photovoltaic using SolidWorks software that will produce this desired and robot can be drive by three stepper motors.

Mathematical model is formulated from forward kinematics equations using MATLAB software. This research found that MATLAB software is able to found the final coordinate of robot. The robot can moves along with the workspace of Canfield Mechanism in 3-D. It can

move in a variety of directions suitable for many applications. In second part is the prototyping of the Canfield robot for tracking solar will be conducted as the future work.

#### 5. REFERENCES

- [1]. Tiberiu Tudorache, Liviu Kreindler, Design of a Solar Tracker System for PV Power Plants, University Politehnica of Bucharest, Romania Vol. 7, No. 1, pp. 266-268, 2010.
- [2]. Stephen Lee Canfield, Development of the Carpal Wrist, a Symmetric, Parallel-Architecture Robotic Wrist, Virginia, pp.16-25, 1997.
- [3]. Kausik Chakraborty, Nisarga Chand, Bappaditya Roy, Design and Development Stepper Motor Position Control System Using Atmel 85c51 Microcontroller, International Journal of Emerging Research in Management & Technology, India, Vol. 2, pp. 44-48, 2013.
- [4]. Mahmoud Gouami, Mohammed Ouali, Brahim Fermini, Mohamed Meghatia, Kinematic Modelling and Simulation of a 2-R Robot Using Solidworks and Verification by MATLAB/Simulink, International Journal of Advanced Robotic Systems, Vol. 9: pp. 245, 2012
- [5]. Ouafae HAMDOUN, Fatima Zahra BAGHLI, Larbi EL BARKALI, Inverse kinematic Modeling of 3RRR Parallel Robot, Morocco, 2013

#### 6. NOMENCLATURE

- $C_i$  :  $\text{Cos}(\theta_i)$
- $S_i$  :  $\text{Sin}(\theta_i)$
- $V\theta_i$  :  $(1 - \theta_i)$
- $l$  : length of each link [cm]

#### PHOTOS AND INFORMATION



Pornpassanan Chaiyakitpru received the Received the B.E. (2012) degree in Aeronautical Engineering from Suranaree University of Technology



Kontorn Champrasart Received the B.S. (1980) degree in Mechanical Engineering from (First Class Honor) from Royal Thai Air Force Academy, Thailand, M.Sc. (1987) degree in Mechanical Engineering from University of Pittsburgh, and Ph.D. (1992) degree in Mechanical Engineering from University of Pittsburgh, USA.



## ประวัติผู้เขียน

นางสาวมุกกรวิวัฒน์ ชัยสิทธิ์ปัฐ เกิดเมื่อวันที่ 8 พฤษภาคม 2532 ที่ อำเภอเมือง จังหวัด นครราชสีมา เริ่มการศึกษาระดับประถมศึกษาปีที่ 1 – 6 ที่โรงเรียนเมืองนครราชสีมา อำเภอเมือง จังหวัดนครราชสีมา ระดับมัธยมศึกษาปีที่ 1–6 ที่โรงเรียนสุนารีวิทยา อำเภอเมือง จ.นครราชสีมา และสำเร็จการศึกษาวิศวกรรมศาสตรบัณฑิต สาขาวิชาวิศวกรรมอากาศยาน สำนักวิชา วิศวกรรมศาสตร์ มหาวิทยาลัยเทคโนโลยีสุรนารี อำเภอเมือง จังหวัดนครราชสีมา เมื่อ พ.ศ. 2556 และในปี พ.ศ. 2558 ได้ศึกษาต่อระดับวิศวกรรมศาสตรมหาบัณฑิต สาขาวิชาวิศวกรรมเมคคาทรอนิกส์ ขณะศึกษาได้เป็นผู้สอนรายวิชาปฏิบัติการของสาขาวิชาวิศวกรรมเครื่องกลและสาขาวิชา วิศวกรรมการผลิต และสาขาวิชาวิศวกรรมเมคคาทรอนิกส์ จำนวน 12 รายวิชา ได้แก่

1. ปฏิบัติการวิศวกรรมเครื่องกล 1
2. ปฏิบัติการวิศวกรรมอากาศยาน 1-3
3. ปฏิบัติการระบบควบคุมและอัตโนมัติ
4. ปฏิบัติการวิศวกรรมเมคคาทรอนิกส์ 1
5. ปฏิบัติการวิศวกรรมเมคคาทรอนิกส์ 2
6. ปฏิบัติการวิศวกรรมเมคคาทรอนิกส์ 3
7. ปฏิบัติการฟิสิกส์สำหรับวิศวกร 1-2
8. ปฏิบัติการระบบอัตโนมัติอุตสาหกรรม

ระหว่างศึกษาระดับปริญญาโท ได้นำเสนอผลงานวิชาการ เรื่อง Design and Prototyping of Canfield Mechanism for Photovoltaic Application ในการประชุมนานาชาติ South East Asian Technical University Consortium (SEATUC) Symposium 2017 ณ เมืองโฮจิมิน ประเทศเวียดนาม